



Surcoût de l'authentification et du consensus dans la sécurité des réseaux sans fil véhiculaires

Jonathan Petit

13 Juillet 2011

Thèse dirigée par Zoubir Mammeri

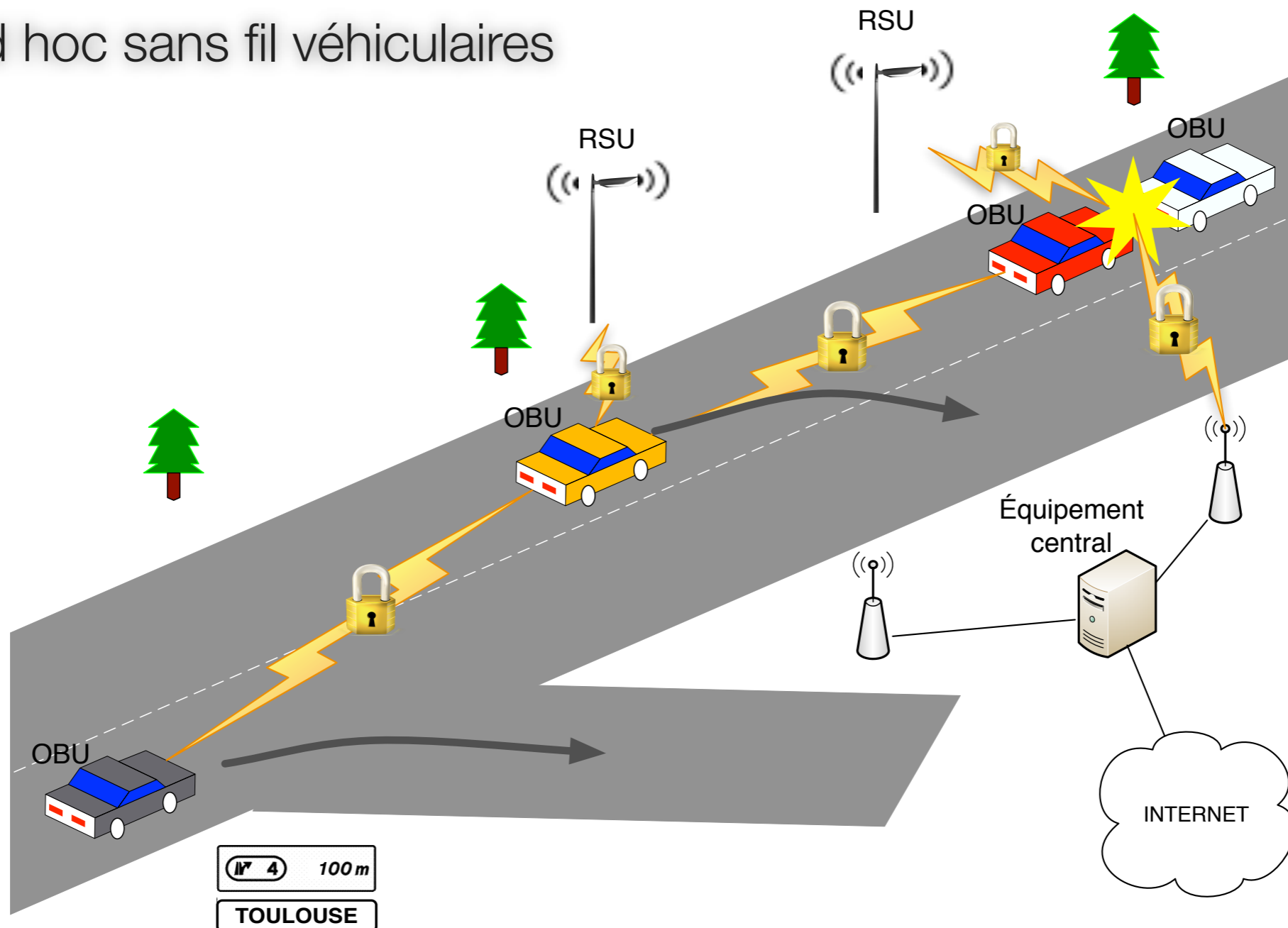


Architecture
Systèmes
Temps
Réel
Embarqués



Contexte

Réseaux ad hoc sans fil véhiculaires



Sans
VANET



3



Sans
VANET



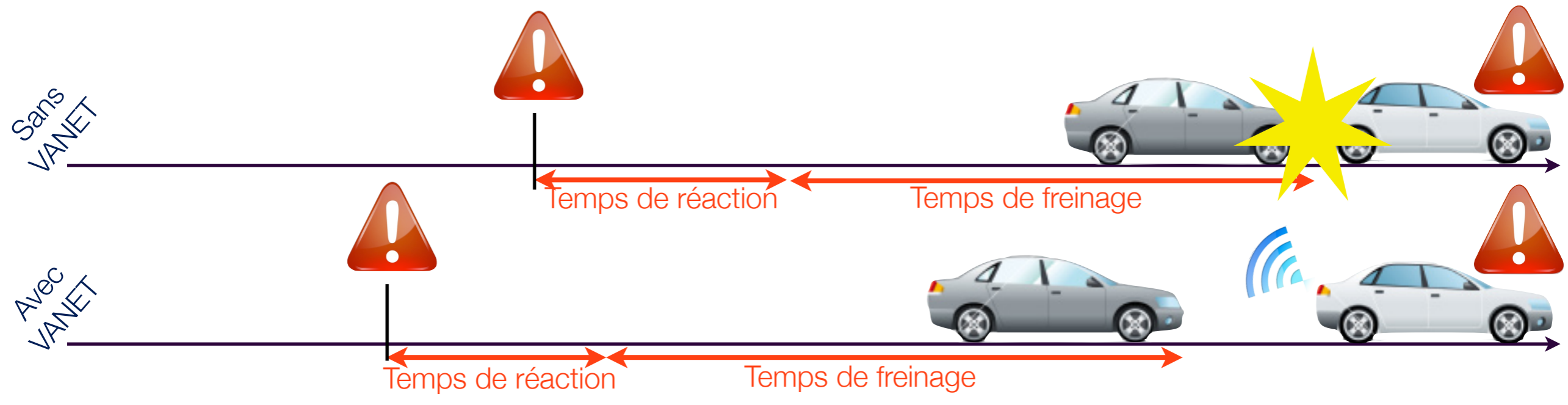
Sans
VANET

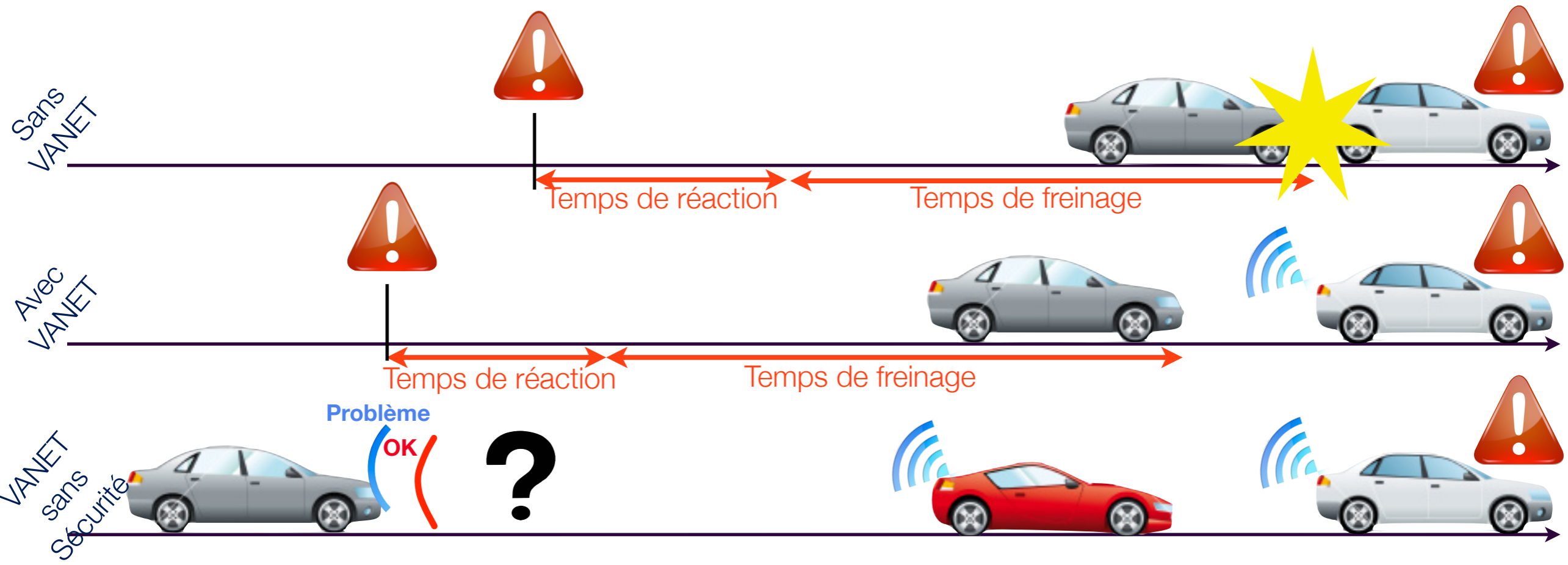


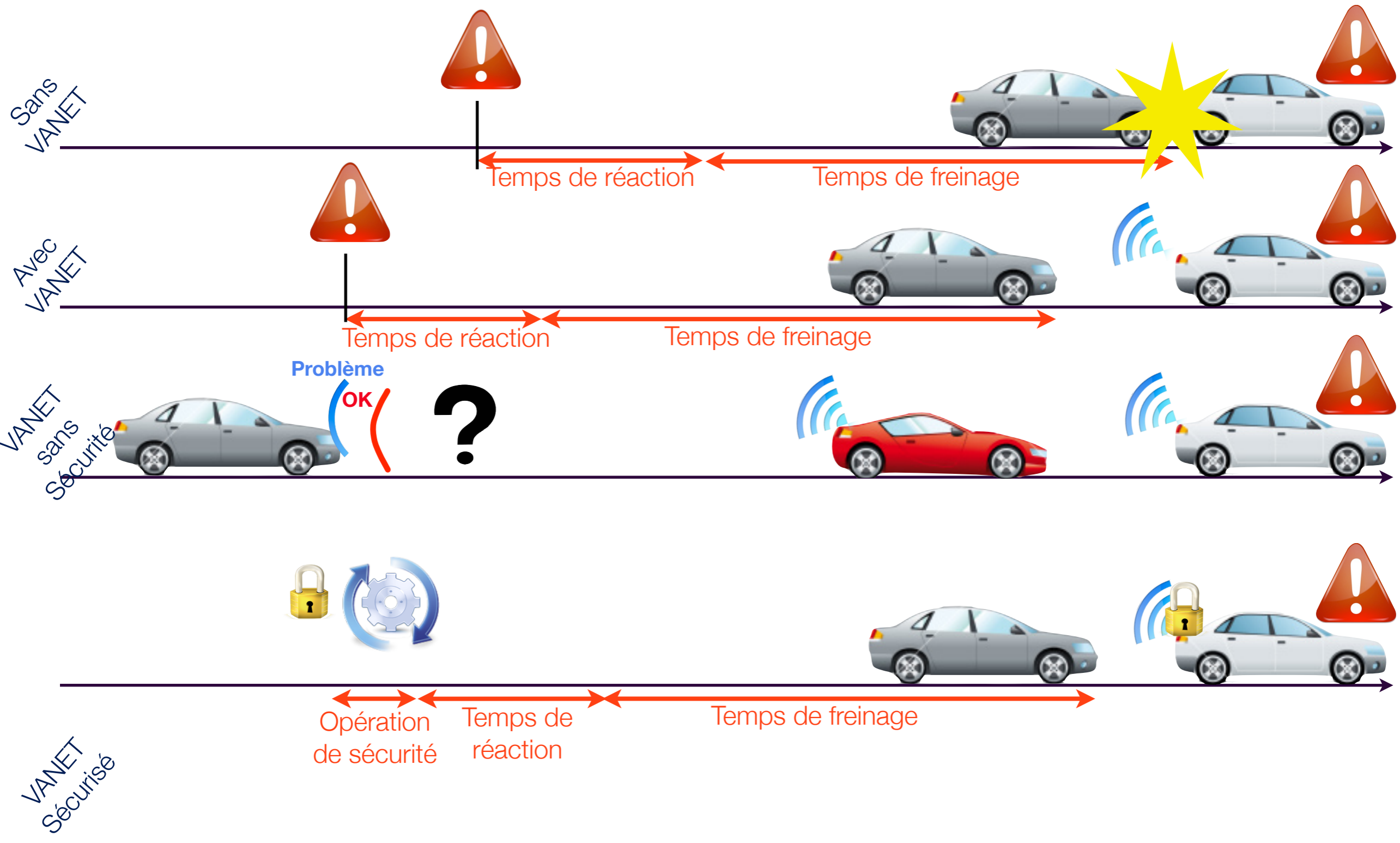
Temps de réaction

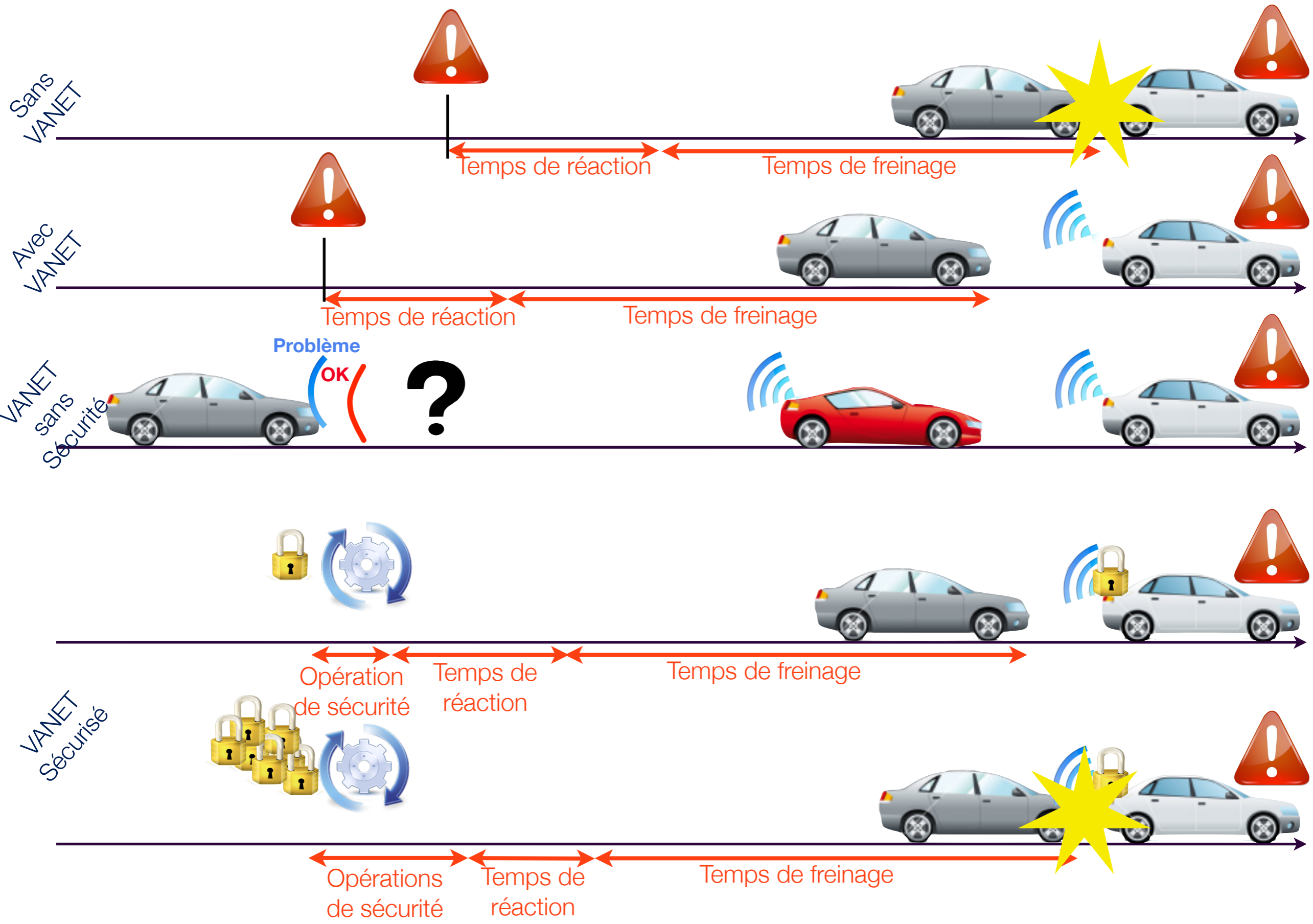
Temps de freinage

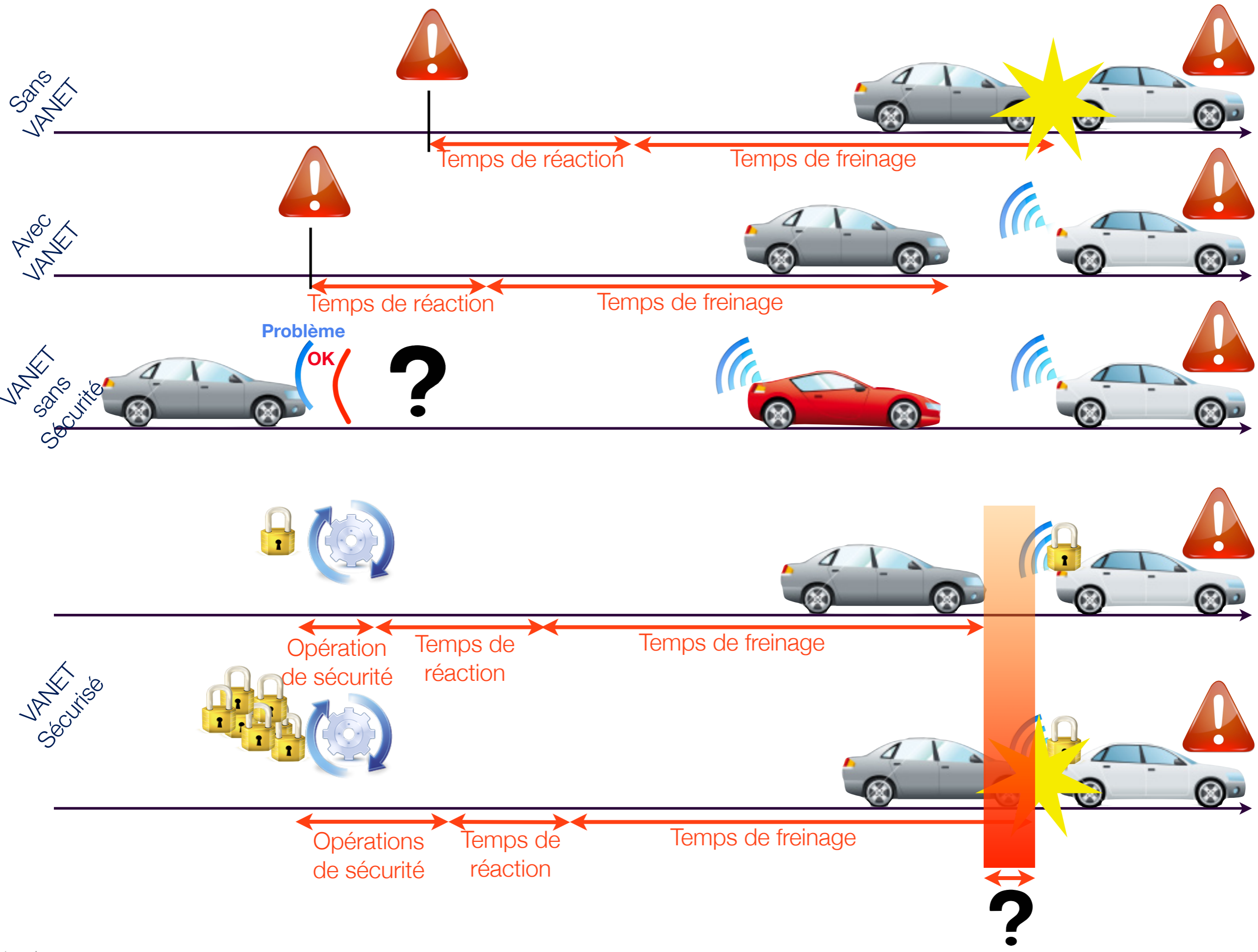












Applications

- ❏ Sécurité du trafic routier
- ❏ Optimisation du trafic routier
- ❏ Divertissement



Applications

- ❏ Sécurité du trafic routier
- ❏ Optimisation du trafic routier
- ❏ Divertissement



Paradigme du surcoût

- Authentification
- Consensus
- Disponibilité
- Non-répudiation
- ...



Paradigme du surcoût

 Authentification

$D_{Authentification}$

+

 Consensus

$D_{Consensus}$

+

 Disponibilité

$D_{Disponibilité}$

+

 Non-répudiation

$D_{Non-répudiation}$

+

 ...

...

Paradigme du surcoût

Authentification

$D_{Authentification}$

+

Consensus

$D_{Consensus}$

+

Disponibilité

$D_{Disponibilité}$

+

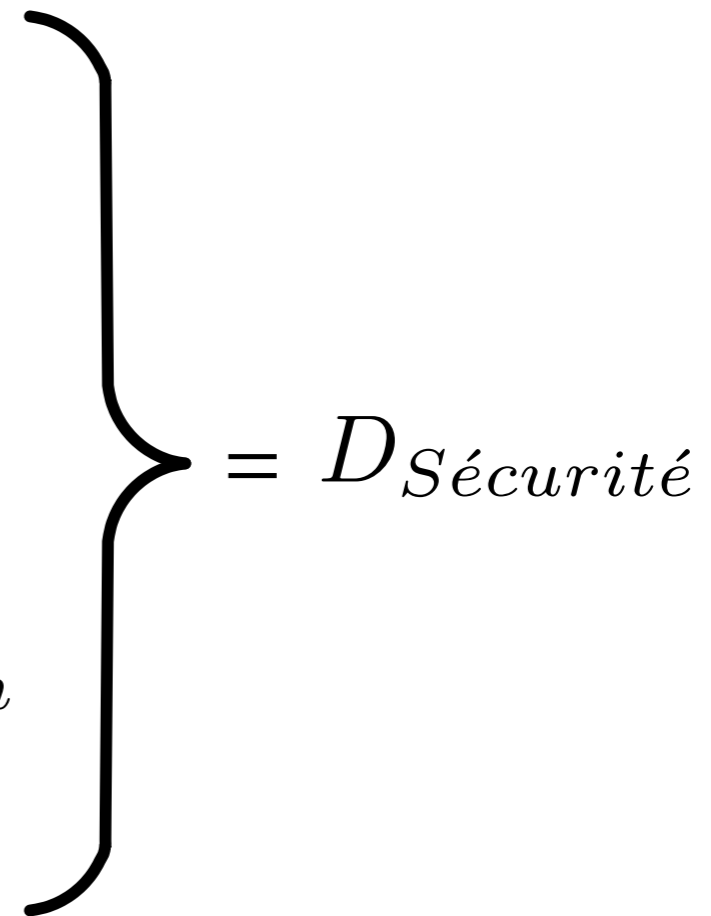
Non-répudiation

$D_{Non-répudiation}$

+

...

...



Paradigme du surcoût

 Authentication

 Consensus

 Disponibilité

 Non-répudiation

 ...

$D_{Authentication}$

+

$D_{Consensus}$

+

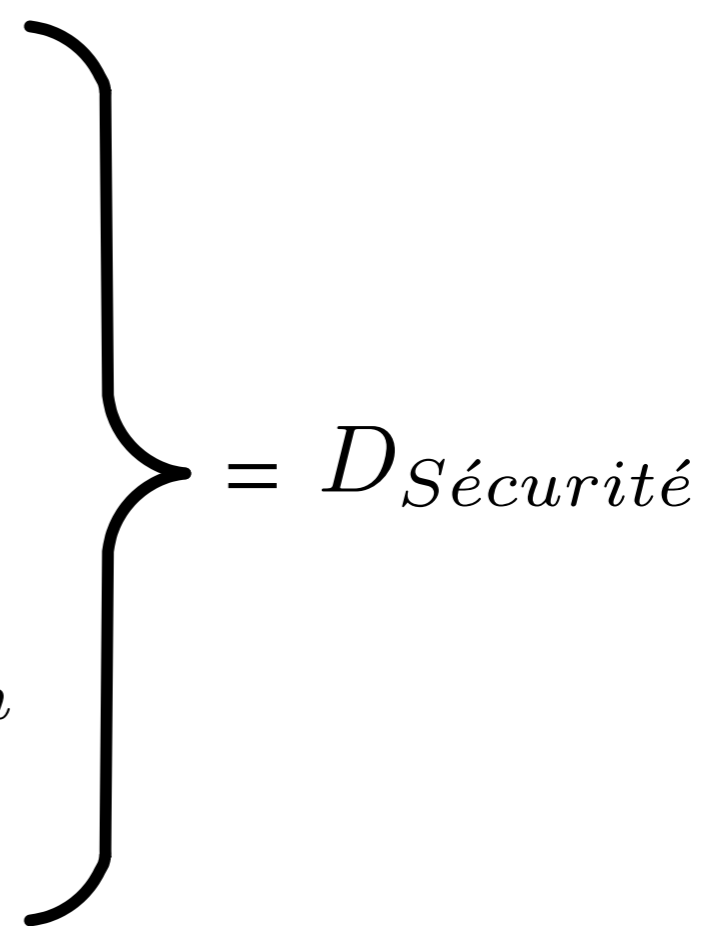
$D_{Disponibilité}$

+

$D_{Non-répudiation}$

+

...



Paradigme du surcoût

 Authentification

 Consensus

 Disponibilité

 Non-répudiation

 ...

$$\begin{array}{r}
 D_{Authentification} \\
 + \\
 D_{Consensus} \\
 + \\
 D_{Disponibilité} \\
 + \\
 D_{Non-répudiation} \\
 + \\
 \dots
 \end{array}
 \left. \vphantom{\begin{array}{r} D_{Authentification} \\ + \\ D_{Consensus} \\ + \\ D_{Disponibilité} \\ + \\ D_{Non-répudiation} \\ + \\ \dots \end{array}} \right\} = D_{Sécurité}$$



Surcoût de l'authentification

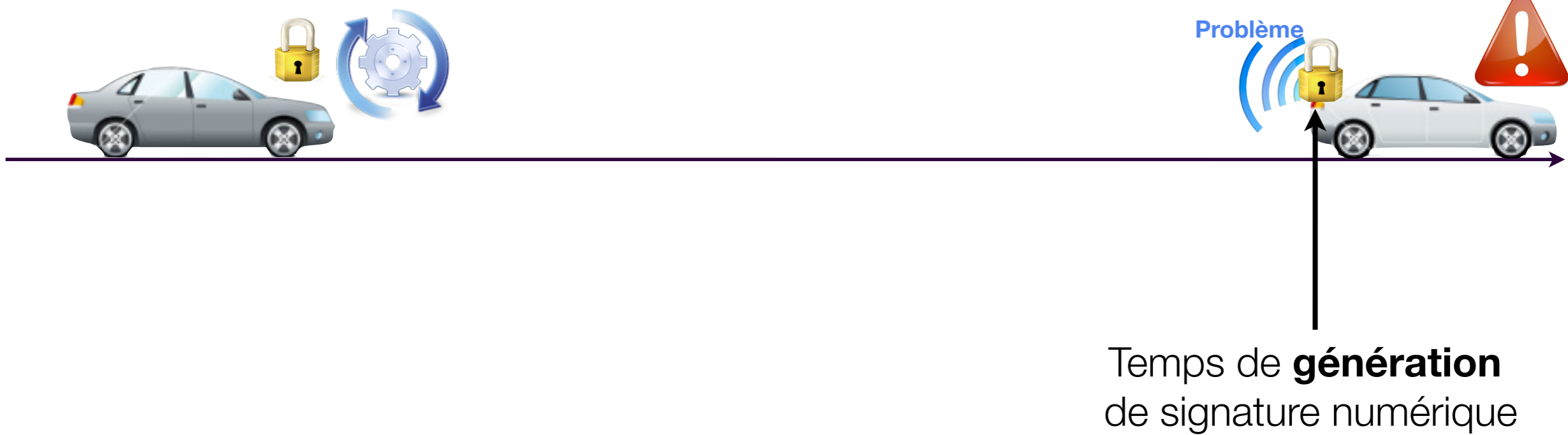
Surcoût de l'authentification



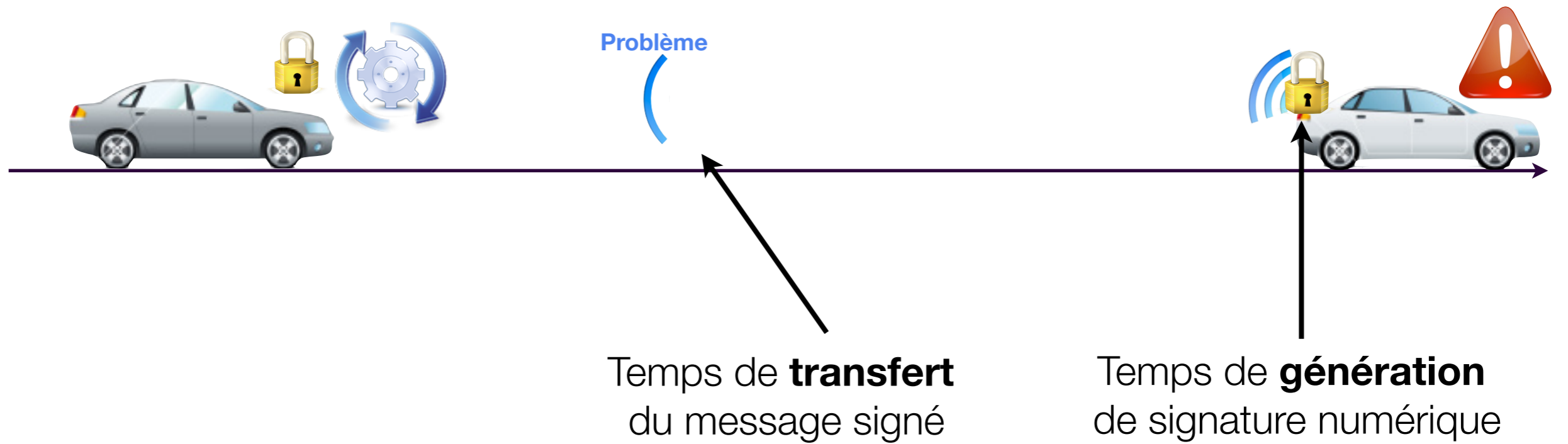
Surcoût de l'authentification



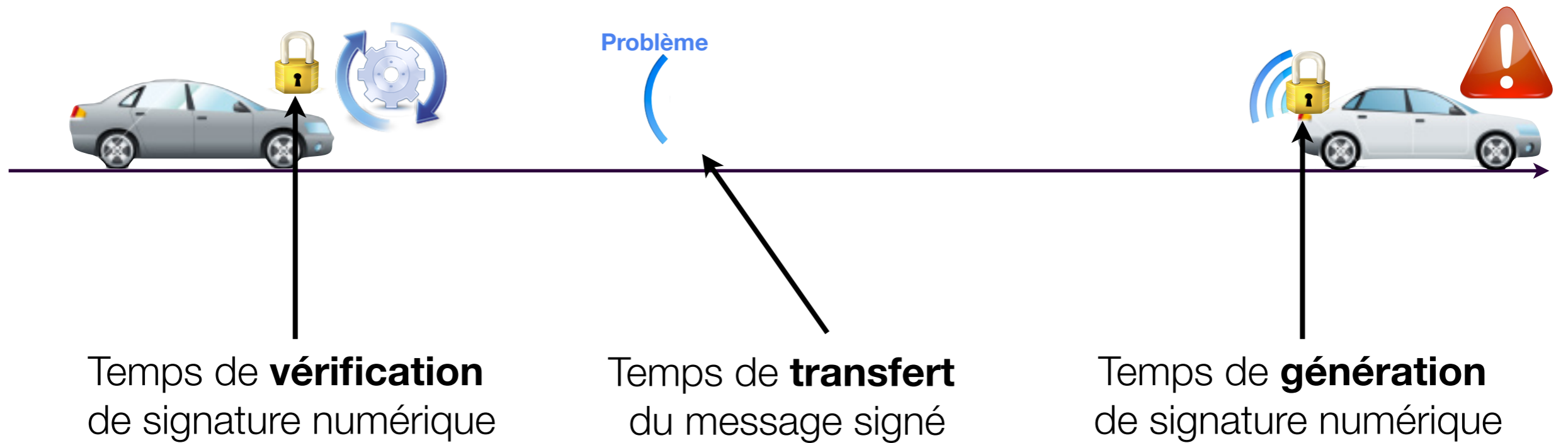
Surcoût de l'authentification



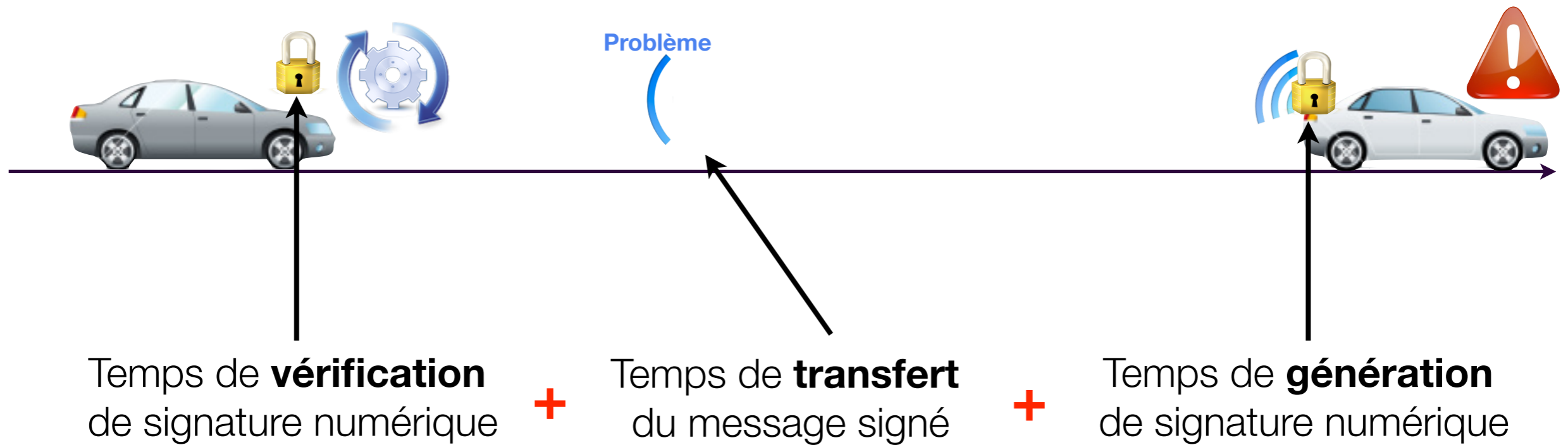
Surcoût de l'authentification



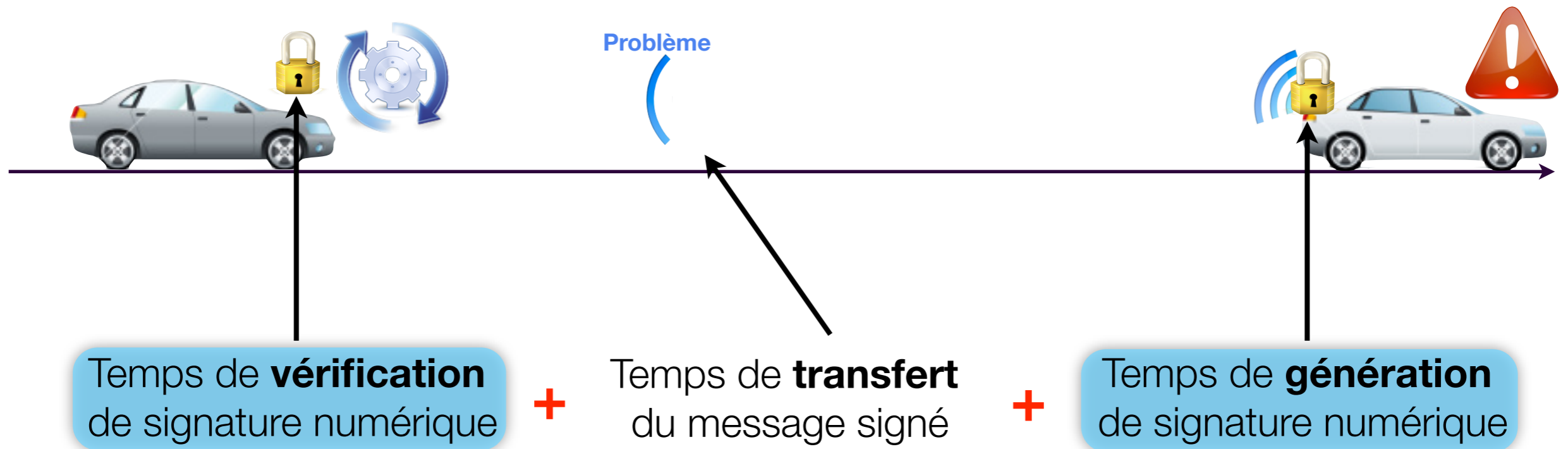
Surcoût de l'authentification



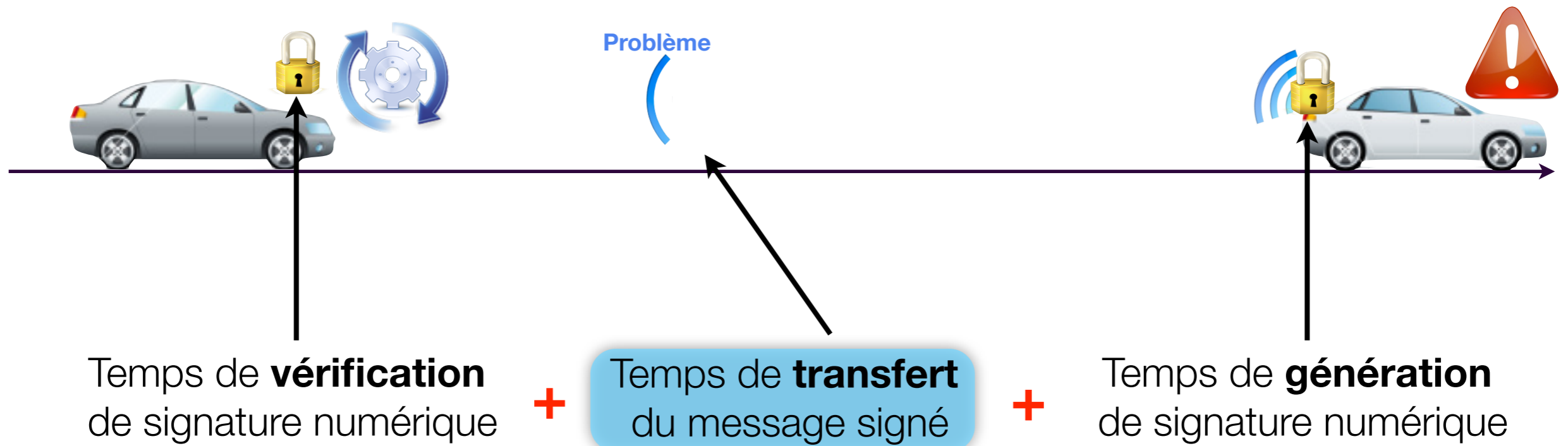
Surcoût de l'authentification



Surcoût de l'authentification



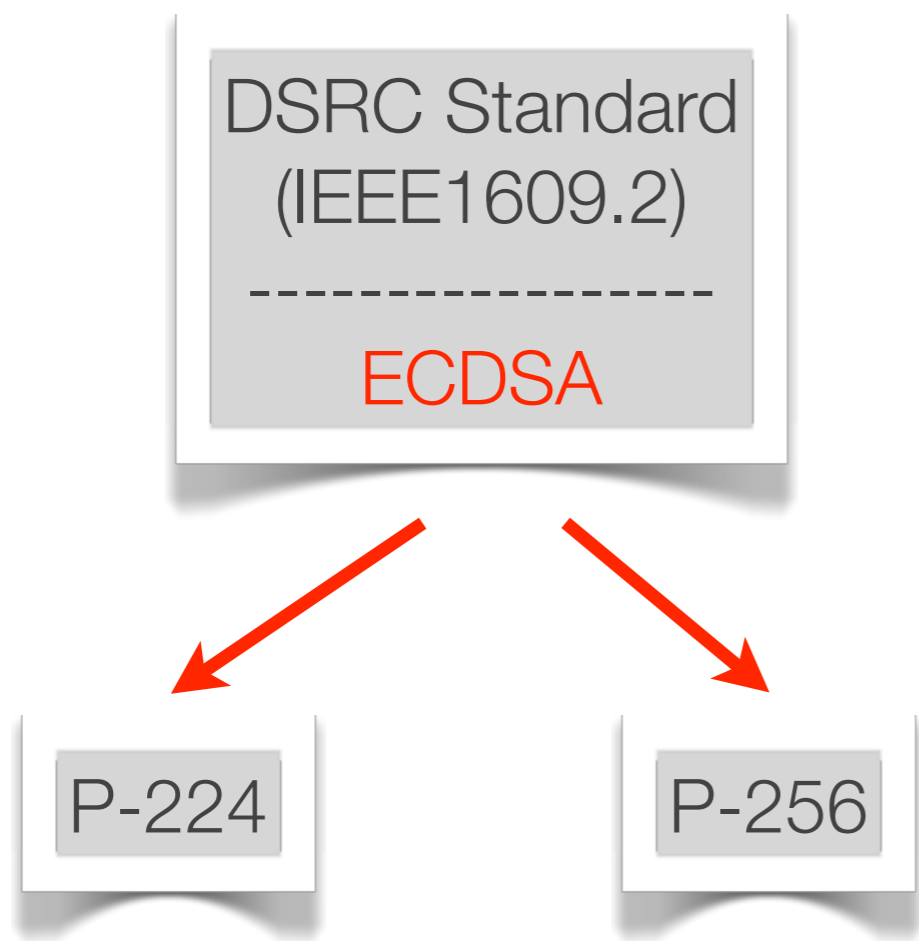
Surcoût de l'authentification



Algorithme d'authentification



Algorithme d'authentification

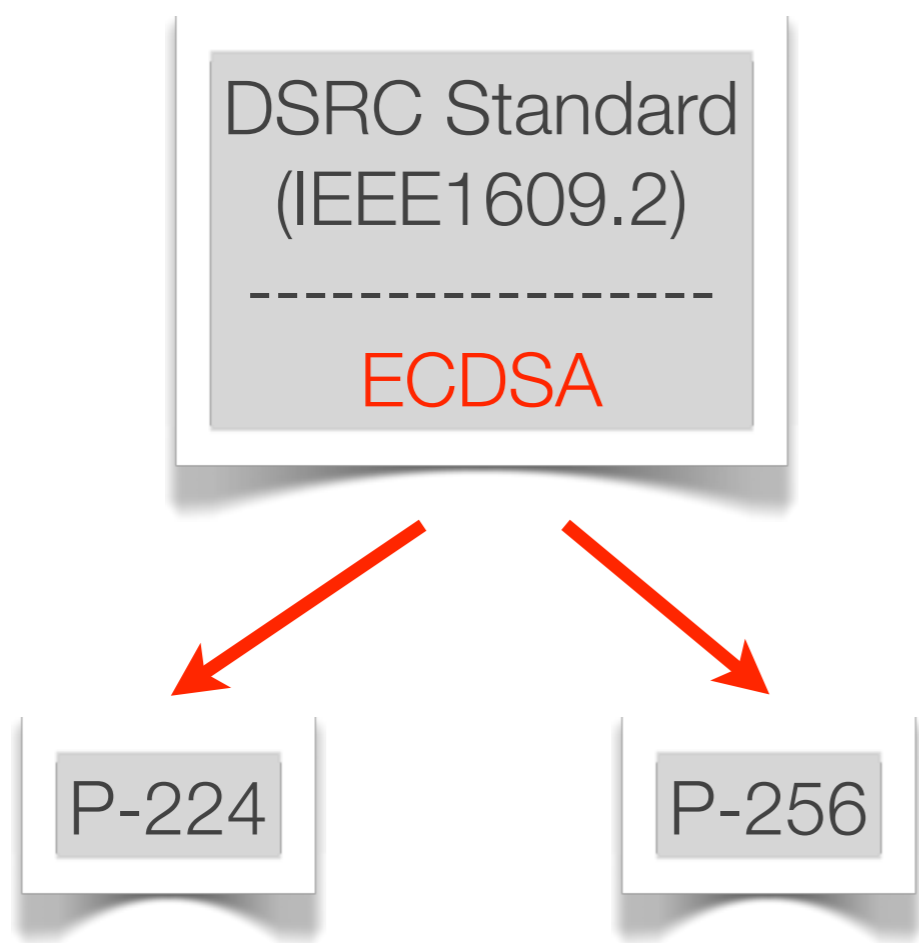


- a. Key generation*
1. Obtain a set of elliptic curve domain parameters
 q denotes the size of the underlying field F_q , which can be a large prime or a prime to a power
 $a, b \in F_q$: parameters of elliptic curve E
 $G \in E$: point on E
 n : order of G (n prime greater than 2^{160})
 $h = \frac{ord(E)}{ord(G)}$, where $ord(X)$ denotes the order of X
 2. Select a random number $d \in [1, n - 1]$ as private key
 3. Compute the public key $Q = d \times G$
 (E, Q, G, n) are public.

- b. Signature generation*
input: message m and (d, Q)
1. Select a random number $k \in [1, n - 1]$
 2. Compute $k \times G = (x_1, y_1)$ and $r = x_1 \bmod n$
if $r = 0$ goto 1
 3. Compute $s = k^{-1}(e + d \times r) \bmod n$ with $e = H(m)$
if $s = 0$ goto 1
 4. The signature of m is (r, s) .

- c. Signature verification*
input: $(r, s), m, Q$
1. Verify $r, s \in [1, n - 1]$
 2. Compute $w = s^{-1} \bmod n$
 3. Compute $u_1 = e \times w \bmod n$ and $u_2 = r \times w \bmod n$ with $e = H(m)$
 4. Compute $X_1 = u_1 \times G + u_2 \times Q$ and $V = X_1 \bmod n$
 5. If $V = r$ then signature accepted.

Algorithme d'authentification



- a. Key generation*
1. Obtain a set of elliptic curve domain parameters
 q denotes the size of the underlying field F_q , which can be a large prime or a prime to a power
 $a, b \in F_q$: parameters of elliptic curve E
 $G \in E$: point on E
 n : order of G (n prime greater than 2^{160})
 $h = \frac{ord(E)}{ord(G)}$, where $ord(X)$ denotes the order of X
 2. Select a random number $d \in [1, n - 1]$ as private key
 3. Compute the public key $Q = d \times G$
 (E, Q, G, n) are public.

$O(n) + O(M*n)$

- b. Signature generation*
input: message m and (d, Q)
1. Select a random number $k \in [1, n - 1]$
 2. Compute $k \times G = (x_1, y_1)$ and $r = x_1 \bmod n$
if $r = 0$ goto 1
 3. Compute $s = k^{-1}(e + d \times r) \bmod n$ with $e = H(m)$
if $s = 0$ goto 1
 4. The signature of m is (r, s) .

- c. Signature verification*
input: $(r, s), m, Q$
1. Verify $r, s \in [1, n - 1]$
 2. Compute $w = s^{-1} \bmod n$
 3. Compute $u_1 = e \times w \bmod n$ and $u_2 = r \times w \bmod n$ with $e = H(m)$
 4. Compute $X_1 = u_1 \times G + u_2 \times Q$ and $V = X_1 \bmod n$
 5. If $V = r$ then signature accepted.

Temps de calcul d'ECDSA

$$T_{\text{Surcoût_ECDSA}}(M) = T_{\text{sign}}(M) + T_{\text{tx}}(M) + T_{\text{vérif}}(M)$$



Temps de calcul d'ECDSA

$$T_{Surcoût_ECDSA}(M) = T_{sign}(M) + T_{tx}(M) + T_{vérif}(M)$$

Pentium D 3,4GHz, 1Go RAM

Taille de la clé (bit)	T_{MUL} (μs)	T_{INV} (μs)	T_{kP} (μs)	T_{HASH} (μs)
224	1.23	18.91	2468.71	8.47
256	1.39	22.01	3297.23	10.09

Taille de la clé (bit)	T_{sign} (ms)	$T_{vérif}$ (ms)
224	2.50	4.97
256	3.33	6.63



Temps de calcul d'ECDSA

$$T_{Surcoût_ECDSA}(M) = T_{sign}(M) + T_{tx}(M) + T_{vérif}(M)$$

Pentium D 3,4GHz, 1Go RAM

Taille de la clé (bit)	T_{MUL} (µs)	T_{INV} (µs)	T_{kP} (µs)	T_{HASH} (µs)
224	1.23	18.91	2468.71	8.47
256	1.39	22.01	3297.23	10.09

Taille de la clé (bit)	T_{sign} (ms)	$T_{vérif}$ (ms)
224	2.50	4.97
256	3.33	6.63

9.96 ms =



Temps de calcul d'ECDSA

$$T_{Surcoût_ECDSA}(M) = T_{sign}(M) + T_{tx}(M) + T_{vérif}(M)$$

Pentium D 3,4GHz, 1Go RAM



Taille de la clé (bit)	T_{MUL} (μs)	T_{INV} (μs)	T_{kP} (μs)	T_{HASH} (μs)
224	1.23	18.91	2468.71	8.47
256	1.39	22.01	3297.23	10.09

Taille de la clé (bit)	T_{sign} (ms)	$T_{vérif}$ (ms)
224	2.50	4.97
256	3.33	6.63

9.96 ms =



Temps de transfert

$$T_{\text{Surcoût_ECDSA}}(M) = T_{\text{sign}}(M) + T_{\text{tx}}(M) + T_{\text{vérif}}(M)$$



Temps de transfert

$$T_{Surcoût_ECDSA}(M) = T_{sign}(M) + T_{tx}(M) + T_{vérif}(M)$$

$$T_{tx} = \frac{W-1}{2} [\sigma P_e + T_s P_s + T_c P_c] + (1-\pi)^{n-1} (1-e) T_s + (1 - (1-\pi)^{n-1} (1-e)) T_c$$

T_s, T_c : Durée de transmission réussie, de collision

W : Taille de la fenêtre de contention

σ : Intervalle de temps

P_e, P_s, P_c : Probabilité de canal libre, de transmission réussie, de collision

n : Nombre de véhicules

e : Probabilité de corruption par le bruit

π : Probabilité de transmission dans un intervalle de temps

Vinel A., Andreev S., Koucheryavy Y., Staehle D., "Estimation of a Successful Beacon Reception Probability in Vehicular Ad-hoc Networks", *ACM International Conference on Wireless Communications and Mobile Computing: Connecting the World Wirelessly (IWCMC)*, pp. 416-420, Leipzig, Germany, June 2009.



Temps de transfert

$$T_{Surcoût_ECDSA}(M) = T_{sign}(M) + T_{tx}(M) + T_{vérif}(M)$$

$$T_{tx} = \frac{W-1}{2} [\sigma P_e + T_s P_s + T_c P_c] + (1-\pi)^{n-1} (1-e) T_s + (1 - (1-\pi)^{n-1} (1-e)) T_c$$

T_s, T_c : Durée de transmission réussie, de collision

W : Taille de la fenêtre de contention

σ : Intervalle de temps

P_e, P_s, P_c : Probabilité de canal libre, de transmission réussie, de collision

n : Nombre de vehicules

e : Probabilité de corruption par le bruit

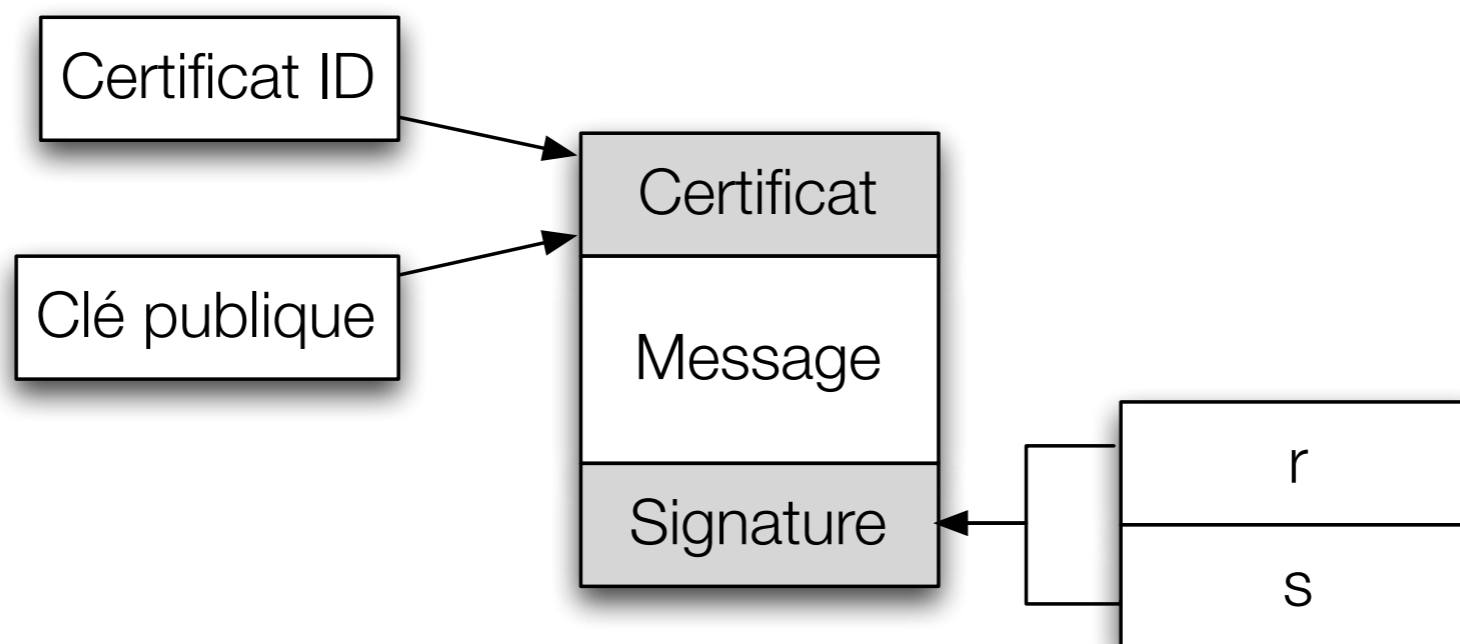
π : Probabilité de transmission dans un intervalle de temps

Vinel A., Andreev S., Koucheryavy Y., Staehle D., "Estimation of a Successful Beacon Reception Probability in Vehicular Ad-hoc Networks", *ACM International Conference on Wireless Communications and Mobile Computing: Connecting the World Wirelessly (IWCMC)*, pp. 416-420, Leipzig, Germany, June 2009.



Surcoût taille de paquet

Calcul du surcoût : $S_{ov} = S_{cert} + S_{sign}$



Surcoût taille de paquet

Calcul du surcoût : $S_{ov} = S_{cert} + S_{sign}$

🍷 Taille de la signature

$$S_{sign} = \frac{S_{sigmess}}{8} \times 2 = \frac{S_{sigmess}}{4}$$

Taille	Champs		
1	Version de protocole = 1		
1	Type		
1	Information du signataire	Type (certificat ou condensé)	
125		Certificat	
67	Message non signé		
28	Signature	Signature ECDSA	r
28			s



Surcoût taille de paquet

Calcul du surcoût : $S_{ov} = S_{cert} + S_{sign} = \frac{S_{pu}}{8} + 1 + \frac{S_{sigcert}}{4} + \frac{S_{sigmess}}{4}$

🍯 Taille de la signature

$$S_{sign} = \frac{S_{sigmess}}{8} \times 2 = \frac{S_{sigmess}}{4}$$

🍯 Taille du certificat

$$S_{cert} = \left(\frac{S_{pu}}{8} + 1 \right) + \left(\frac{S_{sigcert}}{8} \times 2 \right) = \left(\frac{S_{pu}}{8} + 1 \right) + \left(\frac{S_{sigcert}}{4} \right)$$

Taille	Champs		
1	Version du certificat = 1		
8	Certificat non signé	ID du signataire	
21			
1		Clé(s) publique (s) certifiée(s)	Taille du champ "Clé publique"
1	Algorithme utilisé		
29	Clé publique		
32	Signature	Signature ECDSA	r
32			s



Temps de transfert

$$T_{\text{Surcoût_ECDSA}}(M) = T_{\text{sign}}(M) + T_{\text{tx}}(M) + T_{\text{vérif}}(M)$$



Temps de transfert

$$T_{Surcoût_ECDSA}(M) = T_{sign}(M) + T_{tx}(M) + T_{vérif}(M)$$

$$T_{tx} = \frac{W-1}{2} [\sigma P_e + T_s P_s + T_c P_c] + (1-\pi)^{n-1} (1-e) T_s + (1 - (1-\pi)^{n-1} (1-e)) T_c$$



Temps de transfert

$$T_{Surcoût_ECDSA}(M) = T_{sign}(M) + T_{tx}(M) + T_{vérif}(M)$$

$$T_{tx}(S_{ov}) = \frac{W-1}{2} \left[\sigma P_e + \left(T_h + \frac{S_{ov} \times 8}{D_R} + DIFS + \delta \right) P_s + \left(T_h + \frac{S_{ov} \times 8}{D_R} + EIFS + \delta \right) P_c \right]$$

$$+ (1 - \pi)^{n-1} (1 - e) \left(T_h + \frac{S_{ov} \times 8}{D_R} + DIFS + \delta \right)$$

$$+ (1 - (1 - \pi)^{n-1} (1 - e)) \left(T_h + \frac{S_{ov} \times 8}{D_R} + EIFS + \delta \right)$$



Temps de transfert

$$T_{Surcoût_ECDSA}(M) = T_{sign}(M) + T_{tx}(M) + T_{vérif}(M)$$

$$T_{tx}(S_{ov}) = \frac{W-1}{2} \left[\sigma P_e + \left(T_h + \frac{S_{ov} \times 8}{D_R} + DIFS + \delta \right) P_s + \left(T_h + \frac{S_{ov} \times 8}{D_R} + EIFS + \delta \right) P_c \right]$$

$$+ (1 - \pi)^{n-1} (1 - e) \left(T_h + \frac{S_{ov} \times 8}{D_R} + DIFS + \delta \right)$$

$$+ (1 - (1 - \pi)^{n-1} (1 - e)) \left(T_h + \frac{S_{ov} \times 8}{D_R} + EIFS + \delta \right)$$



Temps de transfert

$$T_{Surcoût_ECDSA}(M) = T_{sign}(M) + T_{tx}(M) + T_{vérif}(M)$$

$$T_{tx}(S_{ov}) = \frac{W-1}{2} \left[\sigma P_e + \left(T_h + \frac{S_{ov} \times 8}{D_R} + DIFS + \delta \right) P_s + \left(T_h + \frac{S_{ov} \times 8}{D_R} + EIFS + \delta \right) P_c \right]$$

$$+ (1 - \pi)^{n-1} (1 - e) \left(T_h + \frac{S_{ov} \times 8}{D_R} + DIFS + \delta \right)$$

$$+ (1 - (1 - \pi)^{n-1} (1 - e)) \left(T_h + \frac{S_{ov} \times 8}{D_R} + EIFS + \delta \right)$$



Surcoût global de l'authentification

$$T_{Surcoût_ECDSA}(M) = T_{sign}(M) + T_{tx}(M) + T_{vérif}(M)$$

$$T_{ov}(M) = T_{sign}(M) + T_{tx}(S_{ov}) + T_{verif}(M)$$

$$= (6n + 2)T_{MUL} + T_{INV} + 5nT_{SQR} + T_{HASH}$$

$$+ \frac{W - 1}{2} \left[\sigma P_e + \left(T_h + \frac{S_{pu} + 2 \times (S_{sigcert} + S_{sigmess}) + 8}{D_R} + DIFS + \delta \right) P_s \right]$$

$$+ \left(T_h + \frac{S_{pu} + 2 \times (S_{sigcert} + S_{sigmess}) + 8}{D_R} + EIFS + \delta \right) P_c$$

$$+ (1 - \pi)^{n-1} (1 - e) \left(T_h + \frac{S_{pu} + 2 \times (S_{sigcert} + S_{sigmess}) + 8}{D_R} + DIFS + \delta \right)$$

$$+ (1 - (1 - \pi)^{n-1} (1 - e)) \left(T_h + \frac{S_{pu} + 2 \times (S_{sigcert} + S_{sigmess}) + 8}{D_R} + EIFS + \delta \right)$$

$$+ (12n + 2)T_{MUL} + T_{INV} + 10nT_{SQR} + T_{HASH}$$



Surcoût global de l'authentification

$$T_{Surcoût_ECDSA}(M) = T_{sign}(M) + T_{tx}(M) + T_{vérif}(M)$$

$$T_{ov}(M) = T_{sign}(M) + T_{tx}(S_{ov}) + T_{verif}(M)$$

$$= (6n + 2)T_{MUL} + T_{INV} + 5nT_{SQR} + T_{HASH}$$

$$+ \frac{W - 1}{2} \left[\sigma P_e + \left(T_h + \frac{S_{pu} + 2 \times (S_{sigcert} + S_{sigmess}) + 8}{D_R} + DIFS + \delta \right) P_s \right]$$

$$+ \left(T_h + \frac{S_{pu} + 2 \times (S_{sigcert} + S_{sigmess}) + 8}{D_R} + EIFS + \delta \right) P_c$$

$$+ (1 - \pi)^{n-1} (1 - e) \left(T_h + \frac{S_{pu} + 2 \times (S_{sigcert} + S_{sigmess}) + 8}{D_R} + DIFS + \delta \right)$$

$$+ (1 - (1 - \pi)^{n-1} (1 - e)) \left(T_h + \frac{S_{pu} + 2 \times (S_{sigcert} + S_{sigmess}) + 8}{D_R} + EIFS + \delta \right)$$

$$+ (12n + 2)T_{MUL} + T_{INV} + 10nT_{SQR} + T_{HASH}$$



Surcoût global de l'authentification

$$T_{Surcoût_ECDSA}(M) = T_{sign}(M) + T_{tx}(M) + T_{vérif}(M)$$

$$T_{ov}(M) = T_{sign}(M) + T_{tx}(S_{ov}) + T_{verif}(M)$$

$$= (6n + 2)T_{MUL} + T_{INV} + 5nT_{SQR} + T_{HASH}$$

$$+ \frac{W - 1}{2} \left[\sigma P_e + \left(T_h + \frac{S_{pu} + 2 \times (S_{sigcert} + S_{sigmess}) + 8}{D_R} + DIFS + \delta \right) P_s \right]$$

$$+ \left(T_h + \frac{S_{pu} + 2 \times (S_{sigcert} + S_{sigmess}) + 8}{D_R} + EIFS + \delta \right) P_c$$

$$+ (1 - \pi)^{n-1} (1 - e) \left(T_h + \frac{S_{pu} + 2 \times (S_{sigcert} + S_{sigmess}) + 8}{D_R} + DIFS + \delta \right)$$

$$+ (1 - (1 - \pi)^{n-1} (1 - e)) \left(T_h + \frac{S_{pu} + 2 \times (S_{sigcert} + S_{sigmess}) + 8}{D_R} + EIFS + \delta \right)$$

$$+ (12n + 2)T_{MUL} + T_{INV} + 10nT_{SQR} + T_{HASH}$$



Surcoût global de l'authentification

$$T_{Surcoût_ECDSA}(M) = T_{sign}(M) + T_{tx}(M) + T_{vérif}(M)$$

$$T_{ov}(M) = T_{sign}(M) + T_{tx}(S_{ov}) + T_{vérif}(M)$$

$$= (6n + 2)T_{MUL} + T_{INV} + 5nT_{SQR} + T_{HASH}$$

$$+ \frac{W - 1}{2} \left[\sigma P_e + \left(T_h + \frac{S_{pu} + 2 \times (S_{sigcert} + S_{sigmess}) + 8}{D_R} + DIFS + \delta \right) P_s \right]$$

$$+ \left(T_h + \frac{S_{pu} + 2 \times (S_{sigcert} + S_{sigmess}) + 8}{D_R} + EIFS + \delta \right) P_c$$

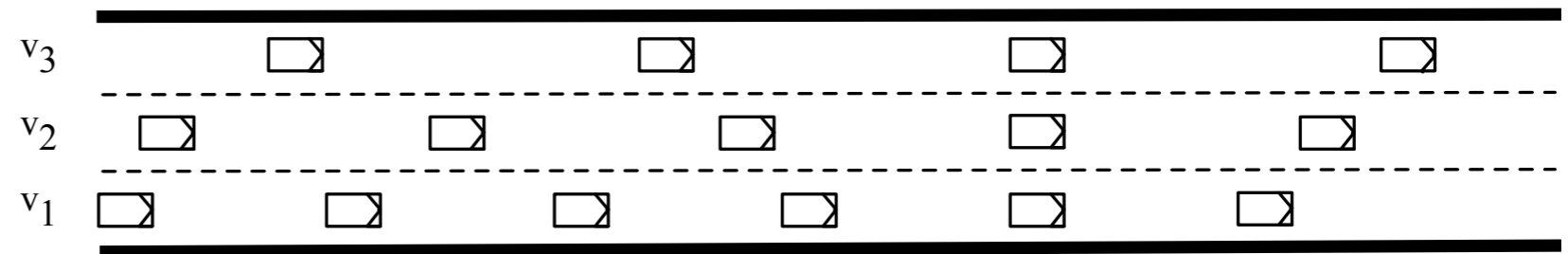
$$+ (1 - \pi)^{n-1} (1 - e) \left(T_h + \frac{S_{pu} + 2 \times (S_{sigcert} + S_{sigmess}) + 8}{D_R} + DIFS + \delta \right)$$

$$+ (1 - (1 - \pi)^{n-1} (1 - e)) \left(T_h + \frac{S_{pu} + 2 \times (S_{sigcert} + S_{sigmess}) + 8}{D_R} + EIFS + \delta \right)$$

$$+ (12n + 2)T_{MUL} + T_{INV} + 10nT_{SQR} + T_{HASH}$$



Simulation



🔸 NS-2

🔸 Couche PHY et MAC : 802.11p

🔸 Modèle de propagation : Nakagami $m=3$

🔸 Autoroute, 5 km, 3 voies ($v_1=27.7$ m/s, $v_2=30.5$ m/s, $v_3=36.1$ m/s)

🔸 Fréquence d'envoi : 10 paquets/s

🔸 Portée de communication : 300 m

Simulation

🔸 NS-2

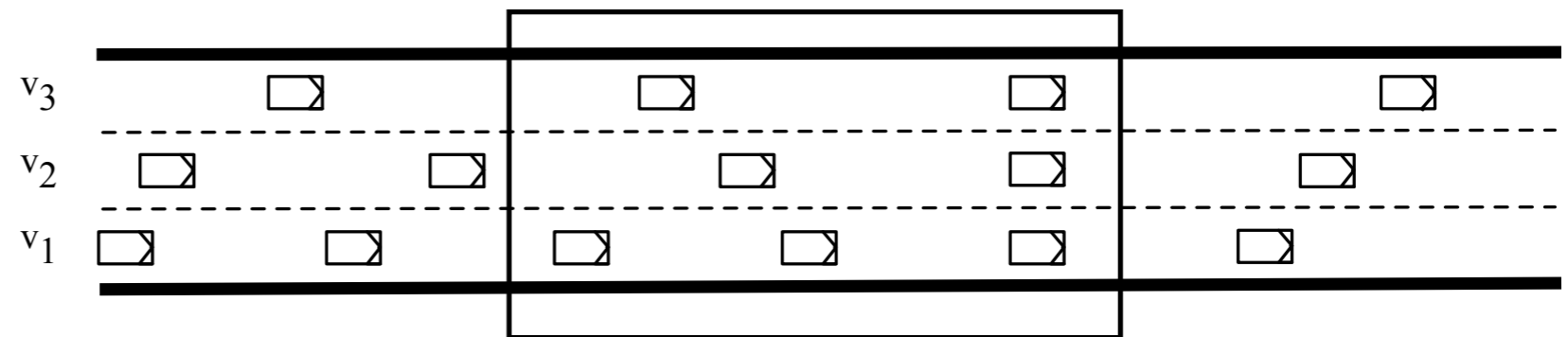
🔸 Couche PHY et MAC : 802.11p

🔸 Modèle de propagation : Nakagami $m=3$

🔸 Autoroute, 5 km, 3 voies ($v_1=27.7$ m/s, $v_2=30.5$ m/s, $v_3=36.1$ m/s)

🔸 Fréquence d'envoi : 10 paquets/s

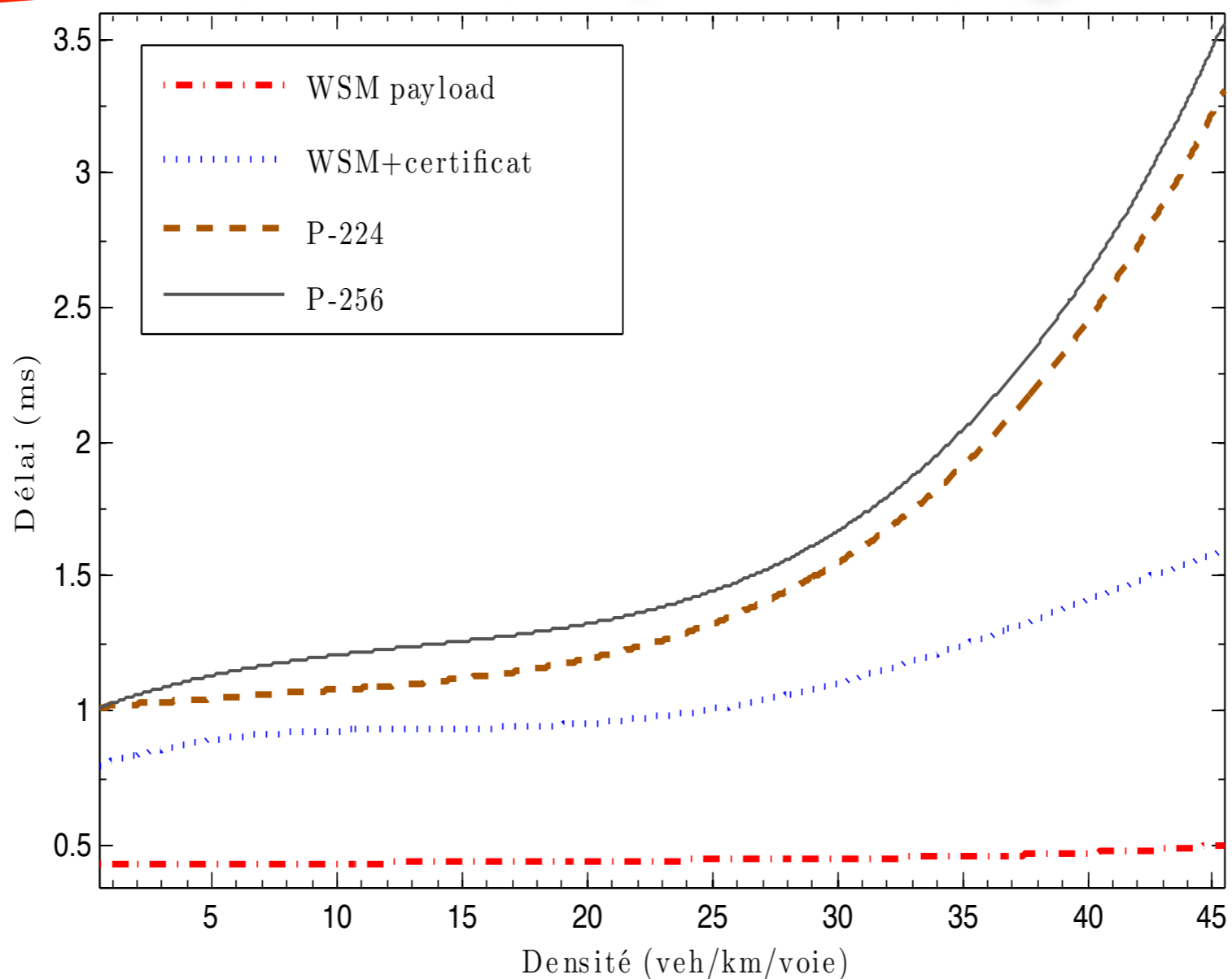
🔸 Portée de communication : 300 m



Résultats de simulation (1/4)

Délai de transfert

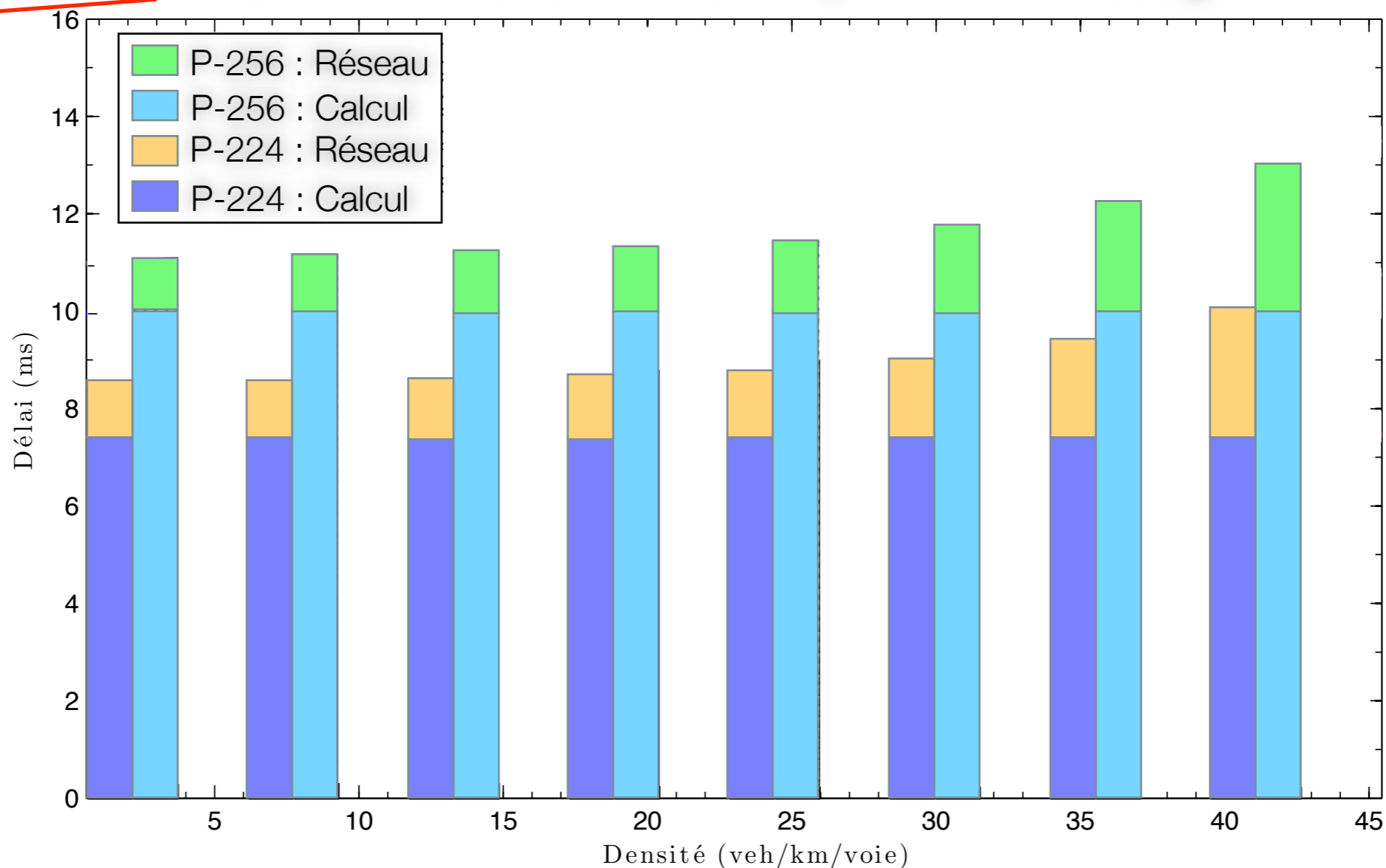
Surcoût réseau pour un message



Résultats de simulation (2/4)

Délai de transfert

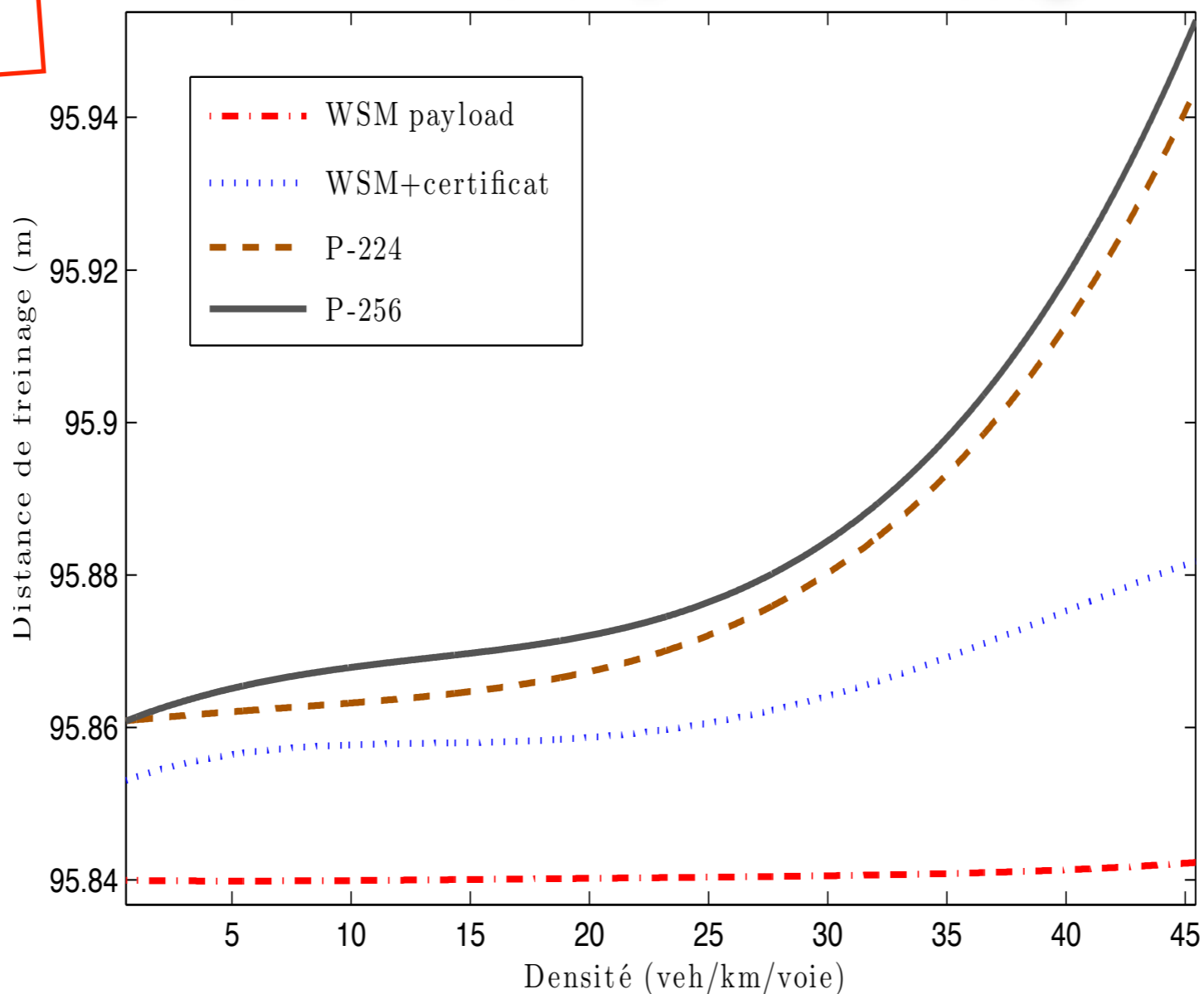
Surcoût réseau et calcul pour un message



Résultats de simulation (3/4)

Distance de freinage

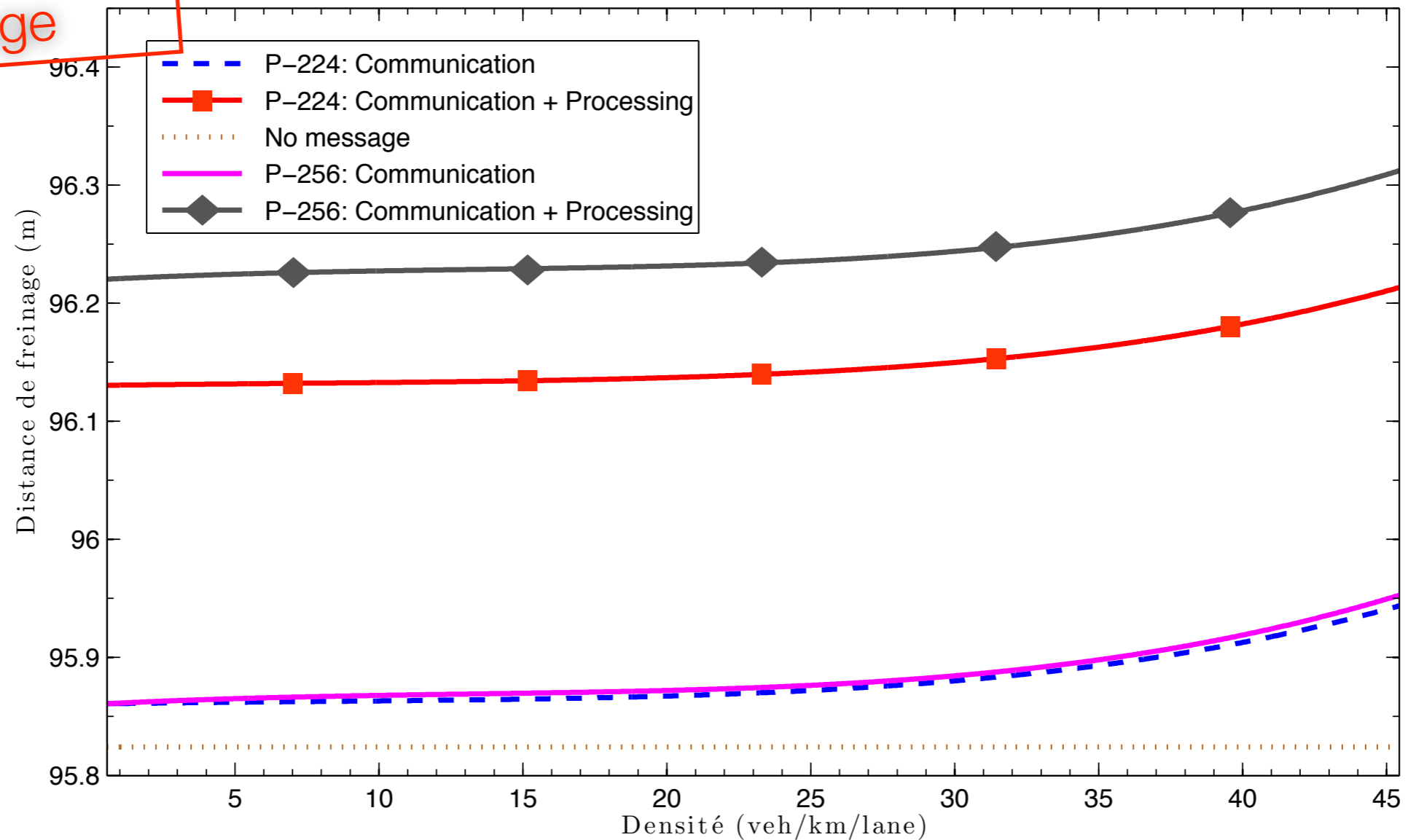
Surcoût réseau pour un message

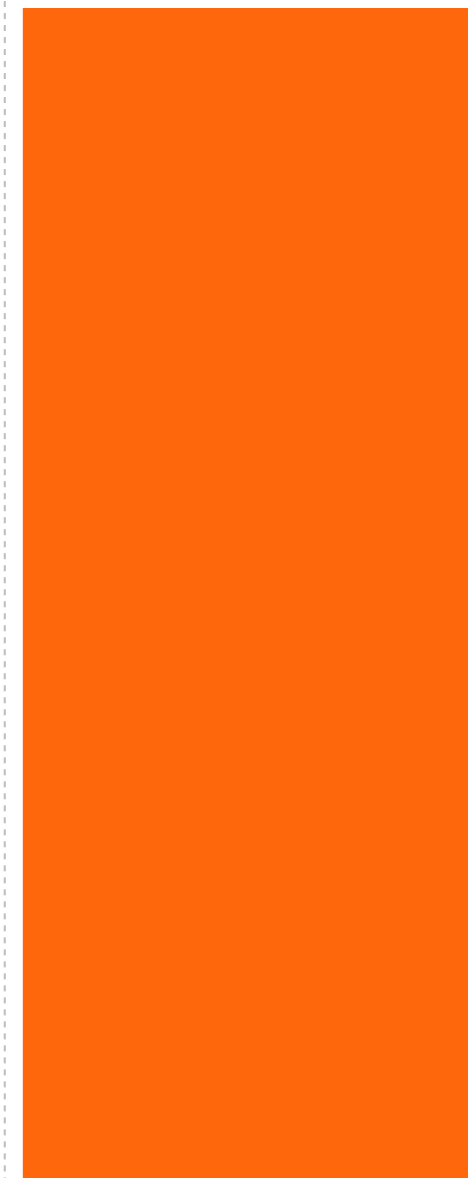
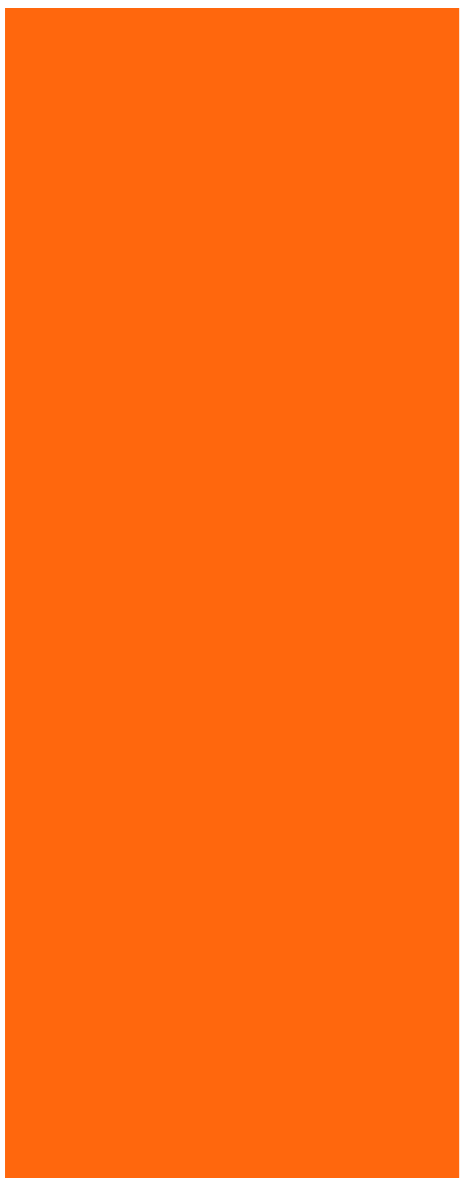


Résultats de simulation (4/4)

Distance de freinage

Surcoût réseau et calcul pour un message





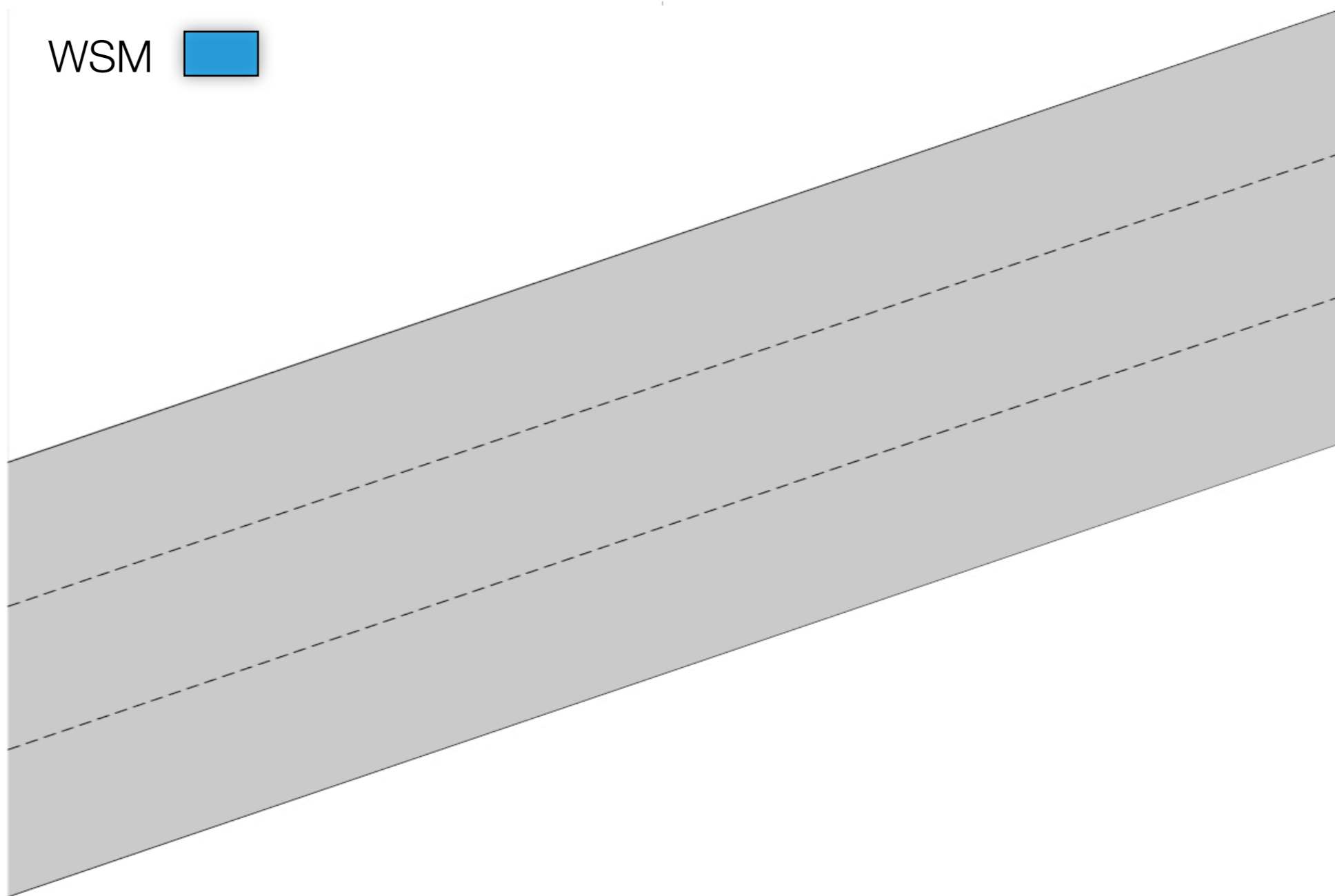
Surcoût du consensus



Problématique

But:
Augmenter la
confiance

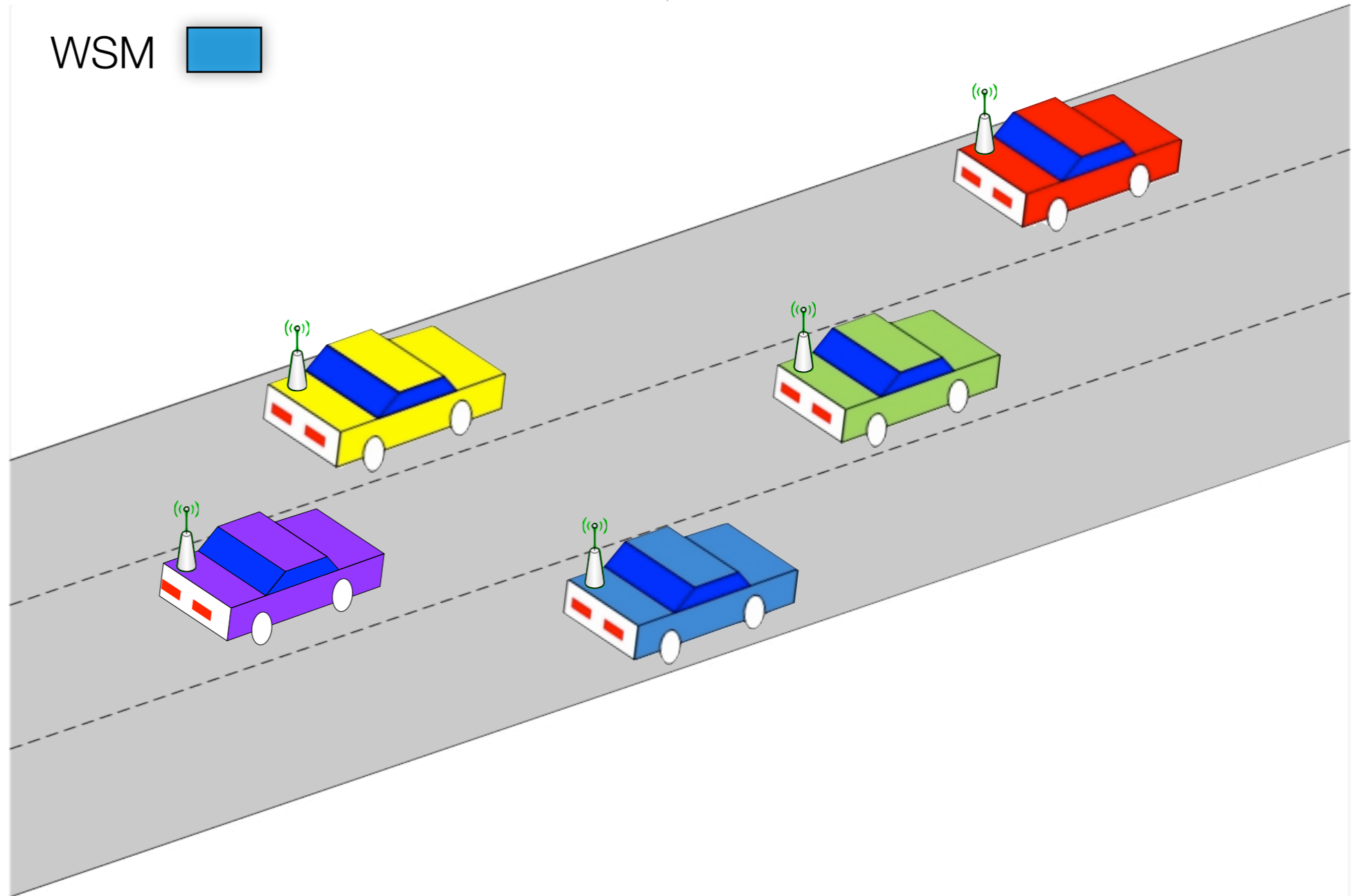
WSM 



Problématique

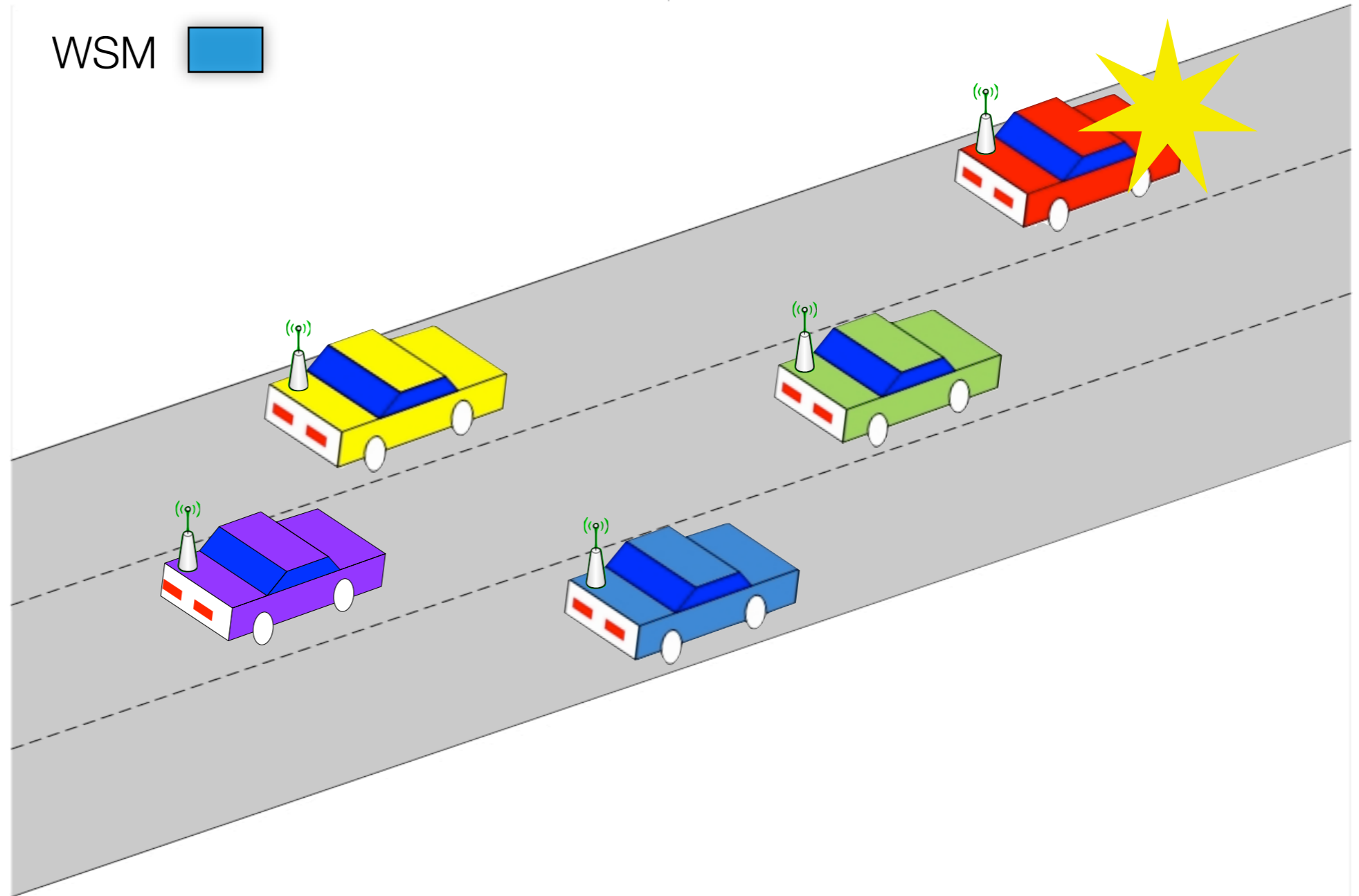
But:
Augmenter la
confiance

WSM 



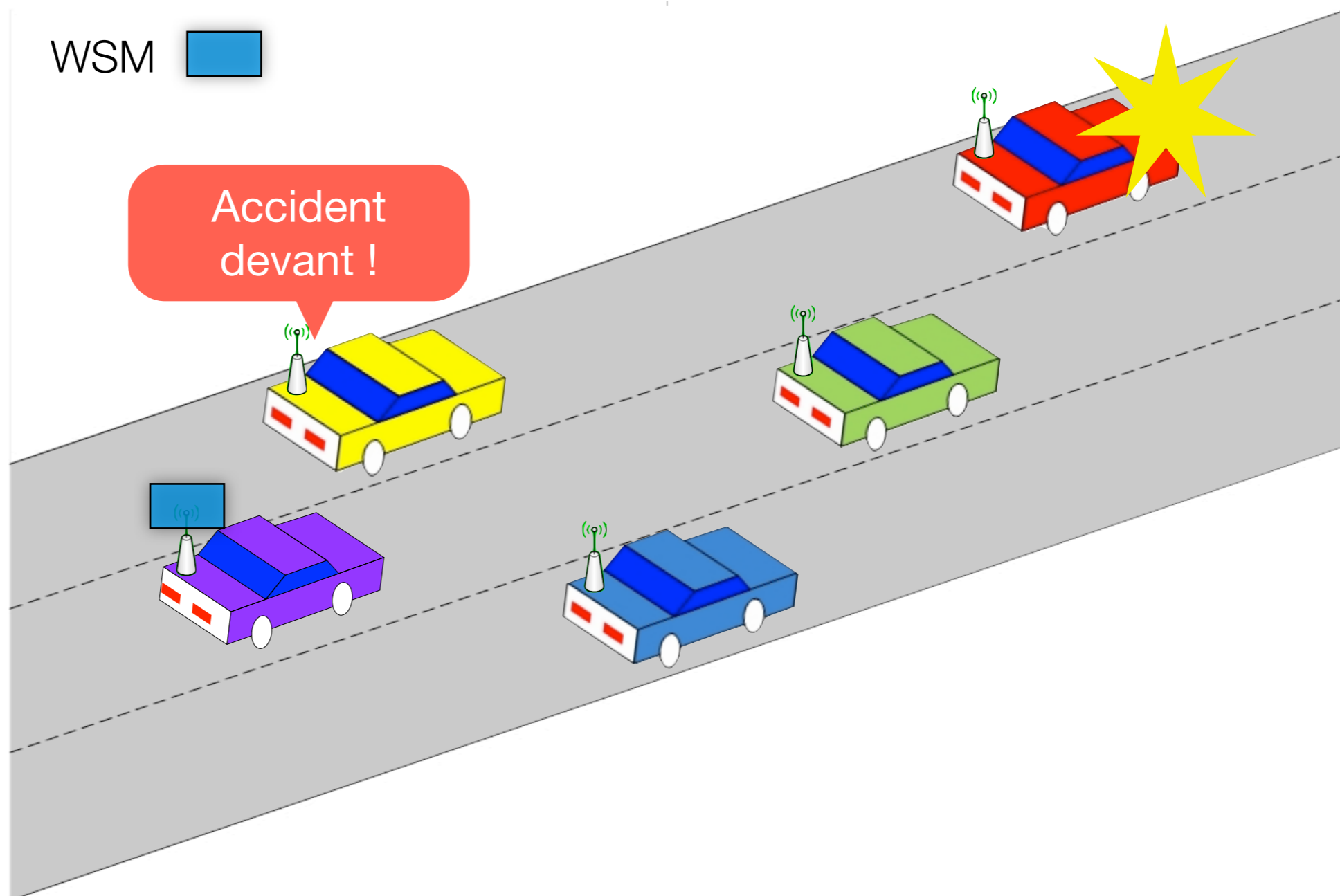
Problématique

But:
Augmenter la
confiance



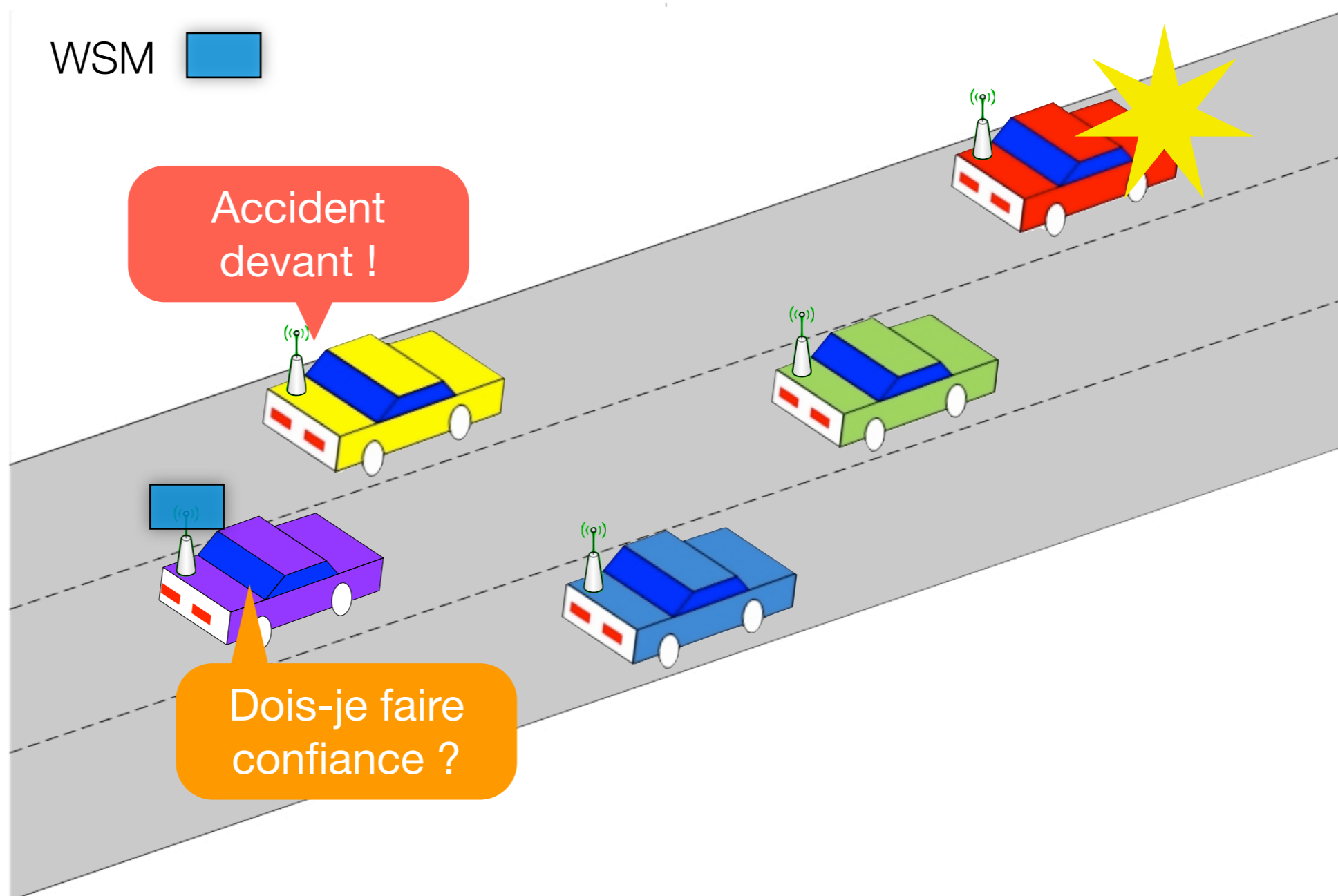
Problématique

But:
Augmenter la
confiance



Problématique

But:
Augmenter la
confiance

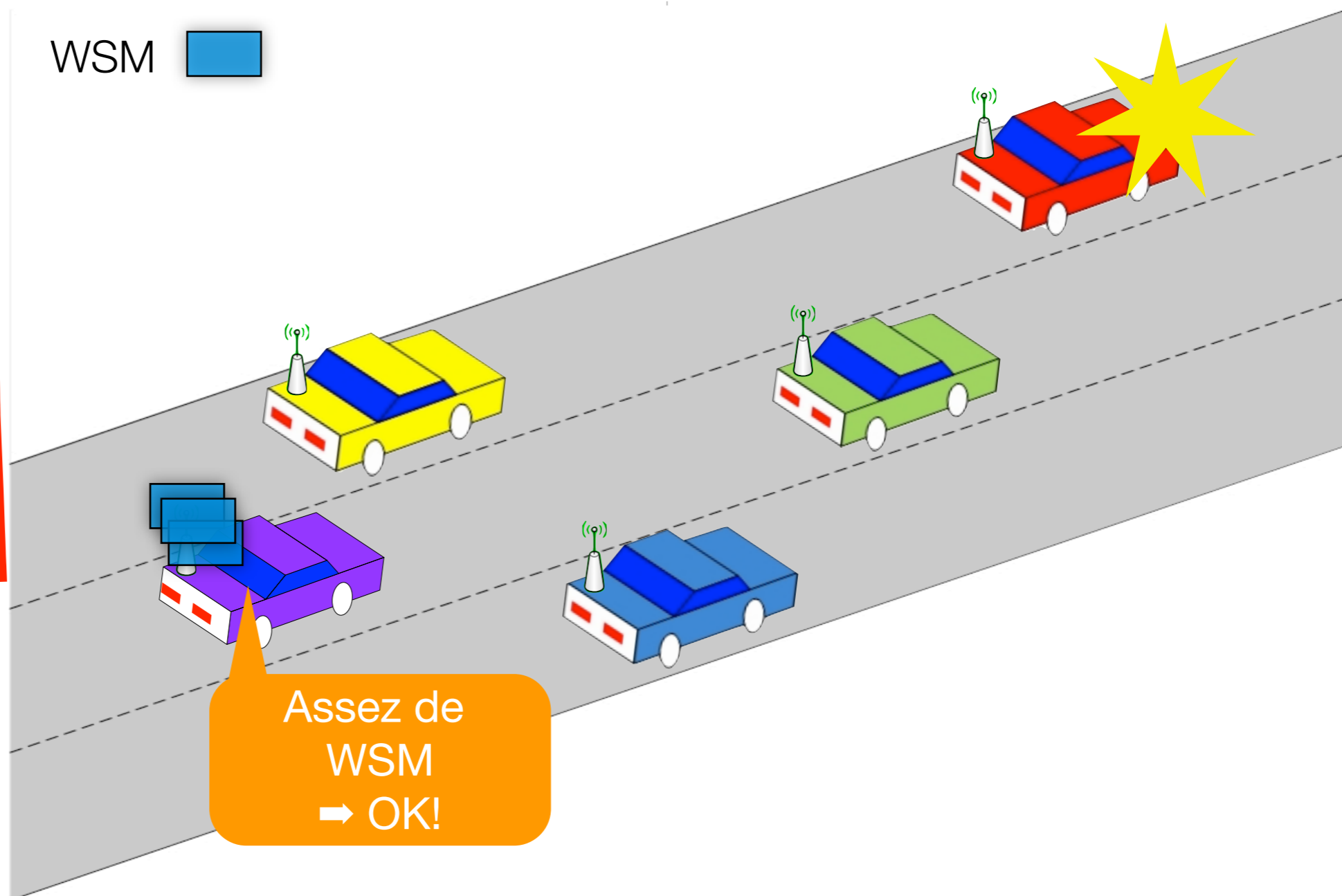


Problématique

But:
Augmenter la
confiance

Problème:
Définir
“assez”

WSM 



Méthodes de décision

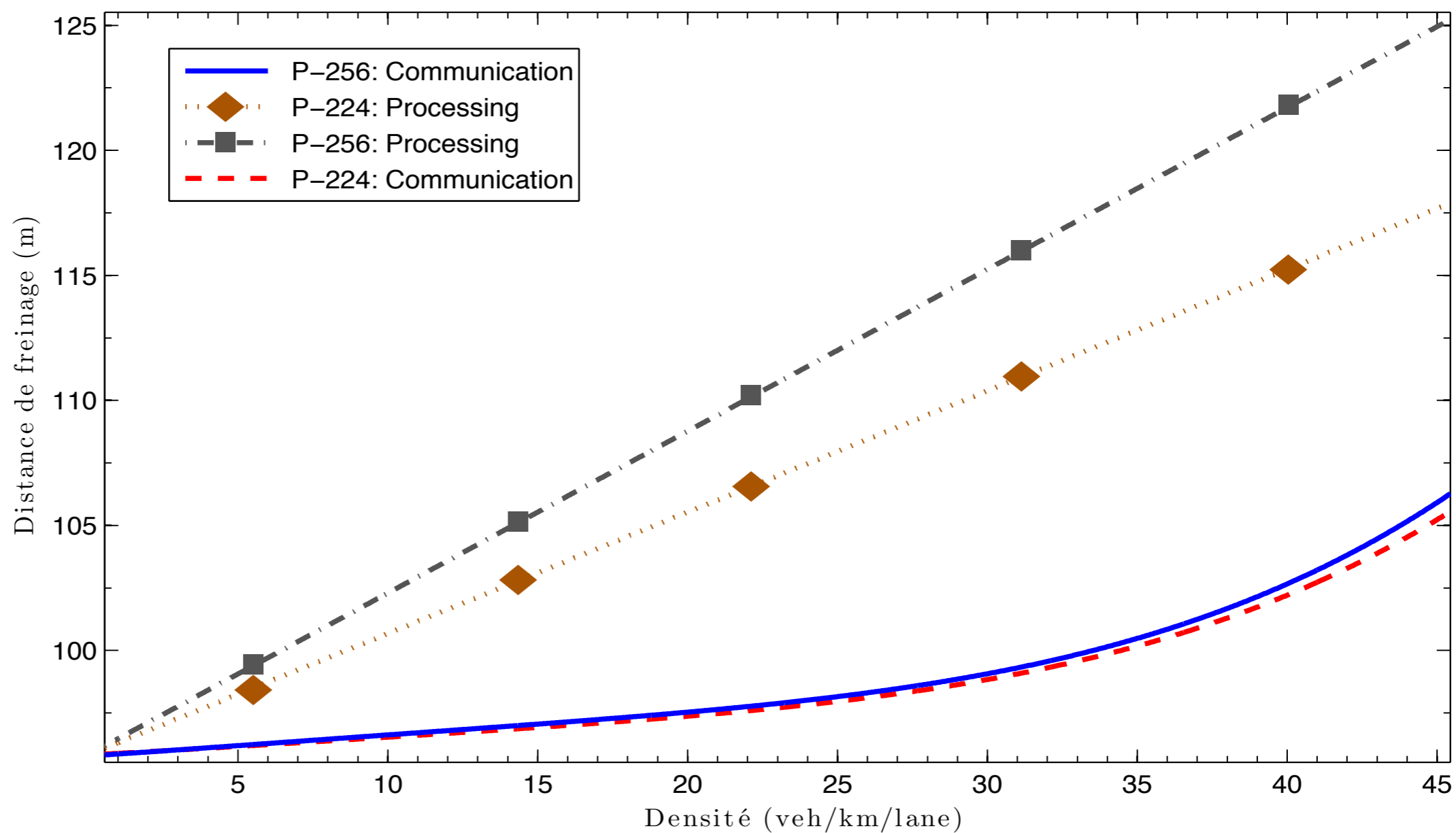
 Naïve



Méthodes de décision

Distance de freinage en fonction de la densité

Naïve



Méthodes de décision

 Naïve

 Majorité

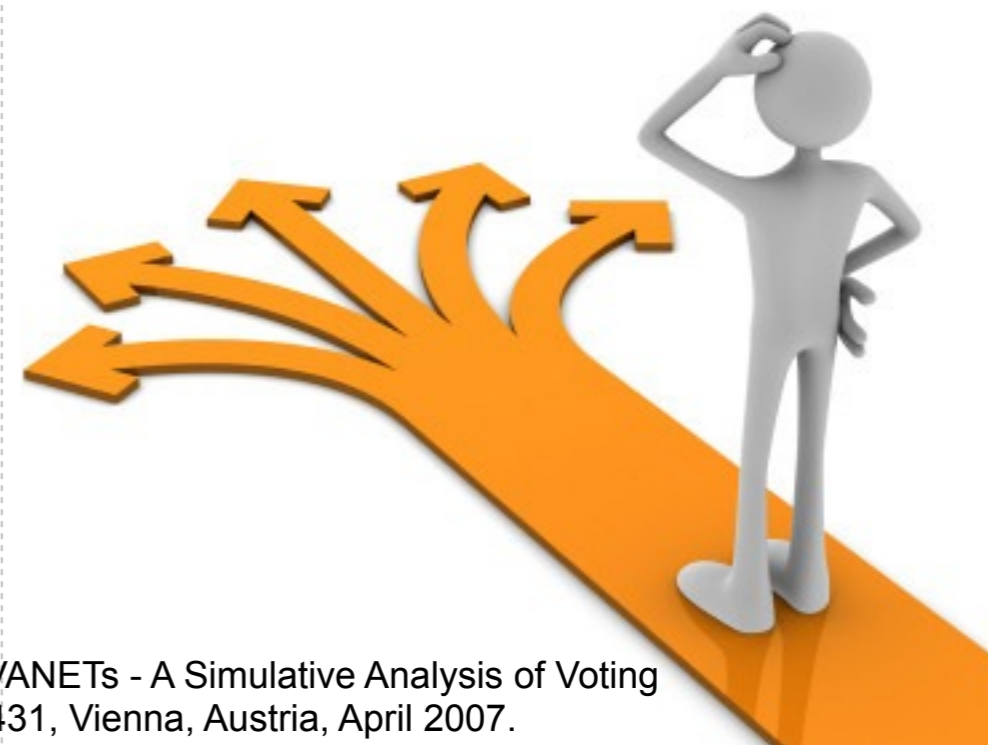


Méthodes de décision

Naïve

Majorité

Majority of freshest **X** with **Threshold**

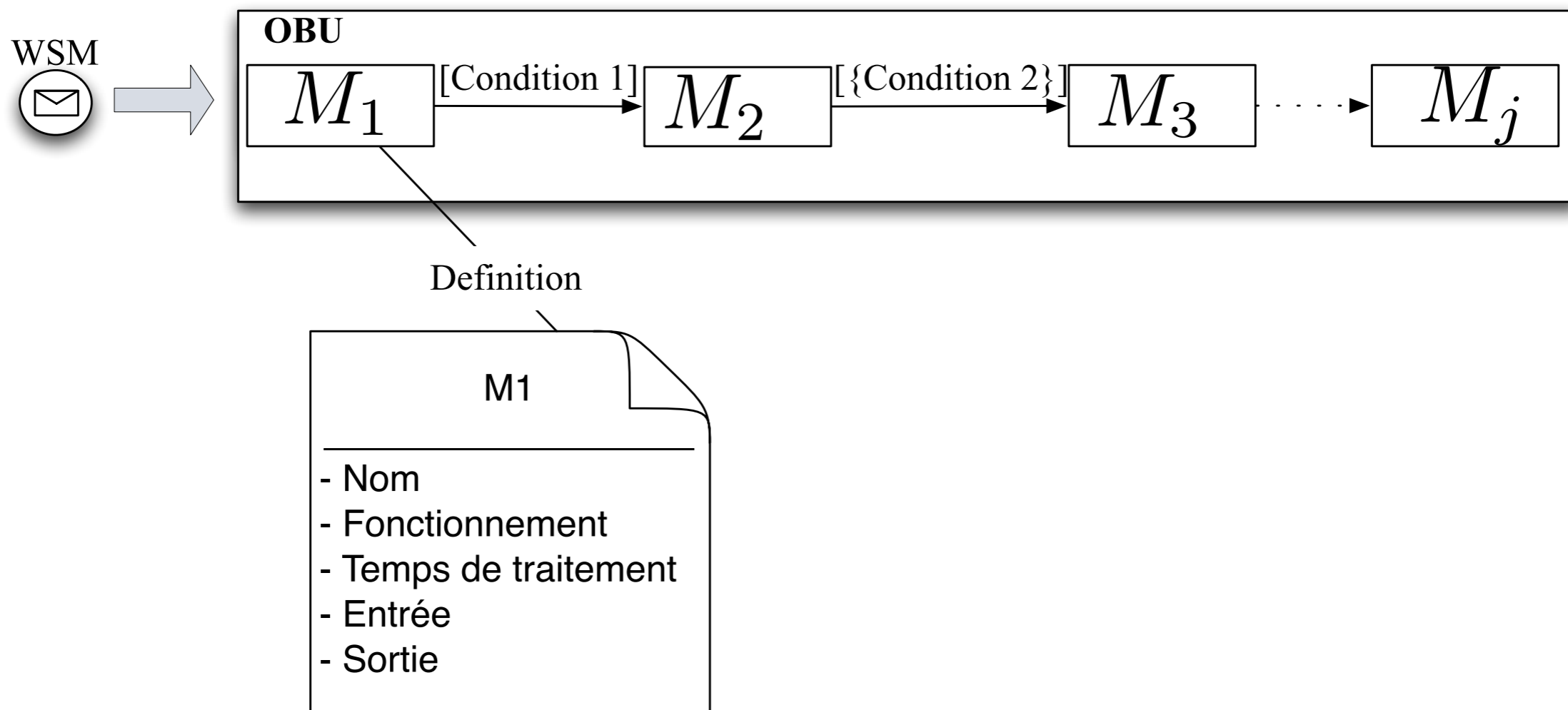


Ostermaier B., Dötzer F., Strassberger M., "Enhancing the Security of Local Danger Warnings in VANETs - A Simulative Analysis of Voting Schemes", *2nd International Conference on Availability, Reliability and Security (ARES)*, pp. 422-431, Vienna, Austria, April 2007.



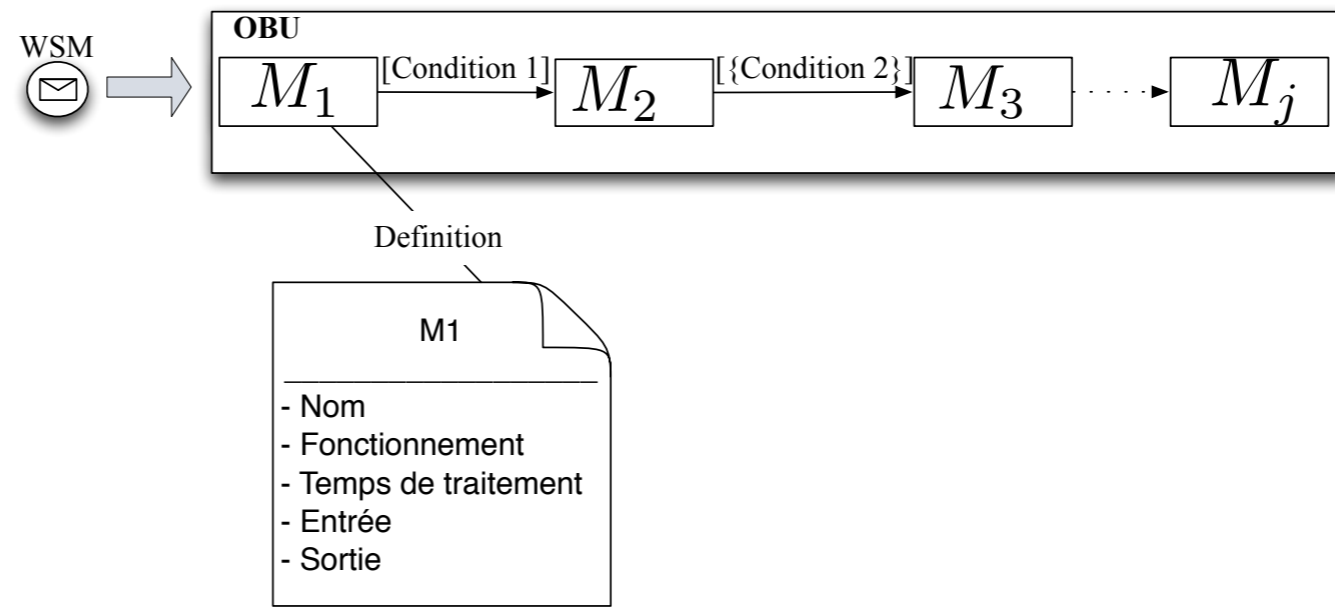
Modélisation

 Conceptuelle



Modélisation

Conceptuelle



Analytique

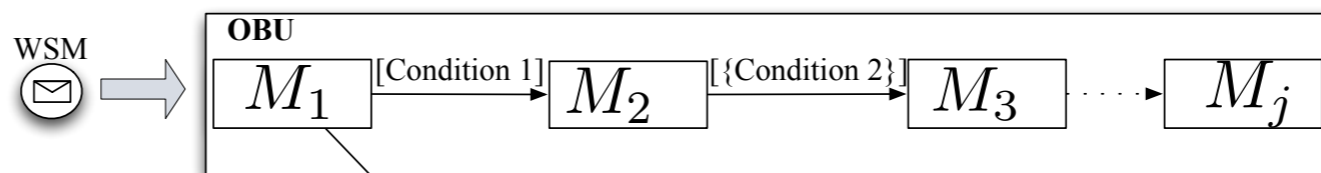
Délai de décision

Niveau de confiance

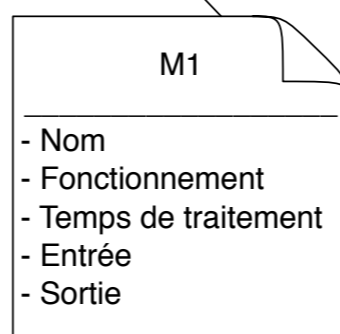


Modélisation

Conceptuelle



Definition



Analytique

Délai de décision

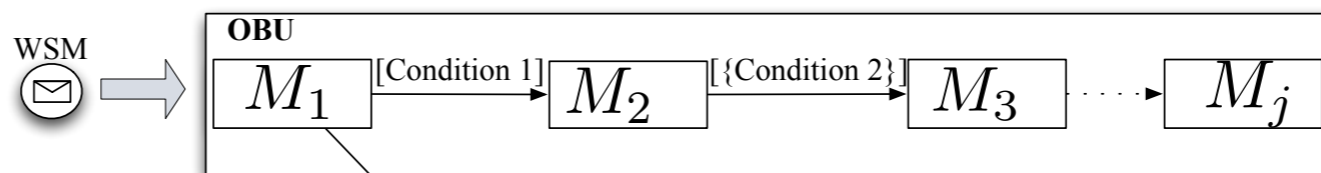
$$Délai_{décision} = \sum_{k=1}^j D_k$$

Niveau de confiance

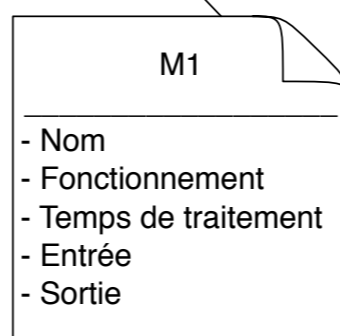


Modélisation

Conceptuelle



Definition



Analytique

Délai de décision

$$Délai_{décision} = \sum_{k=1}^j D_k$$

Niveau de confiance

$$F(e_k^i) = G(s(V_k), f(\tau(V_k), \lambda(i)))$$

révoqué ?

confiance
par défaut

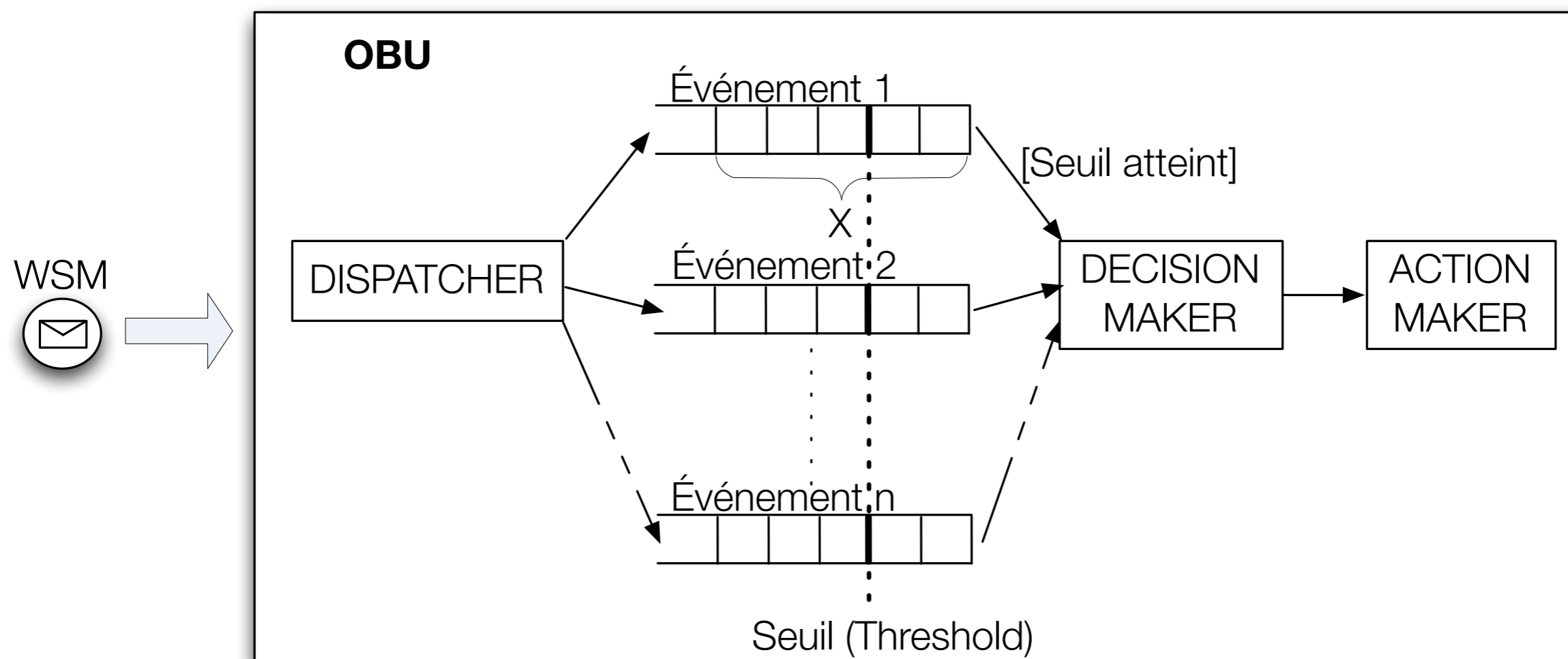
type
d'événement



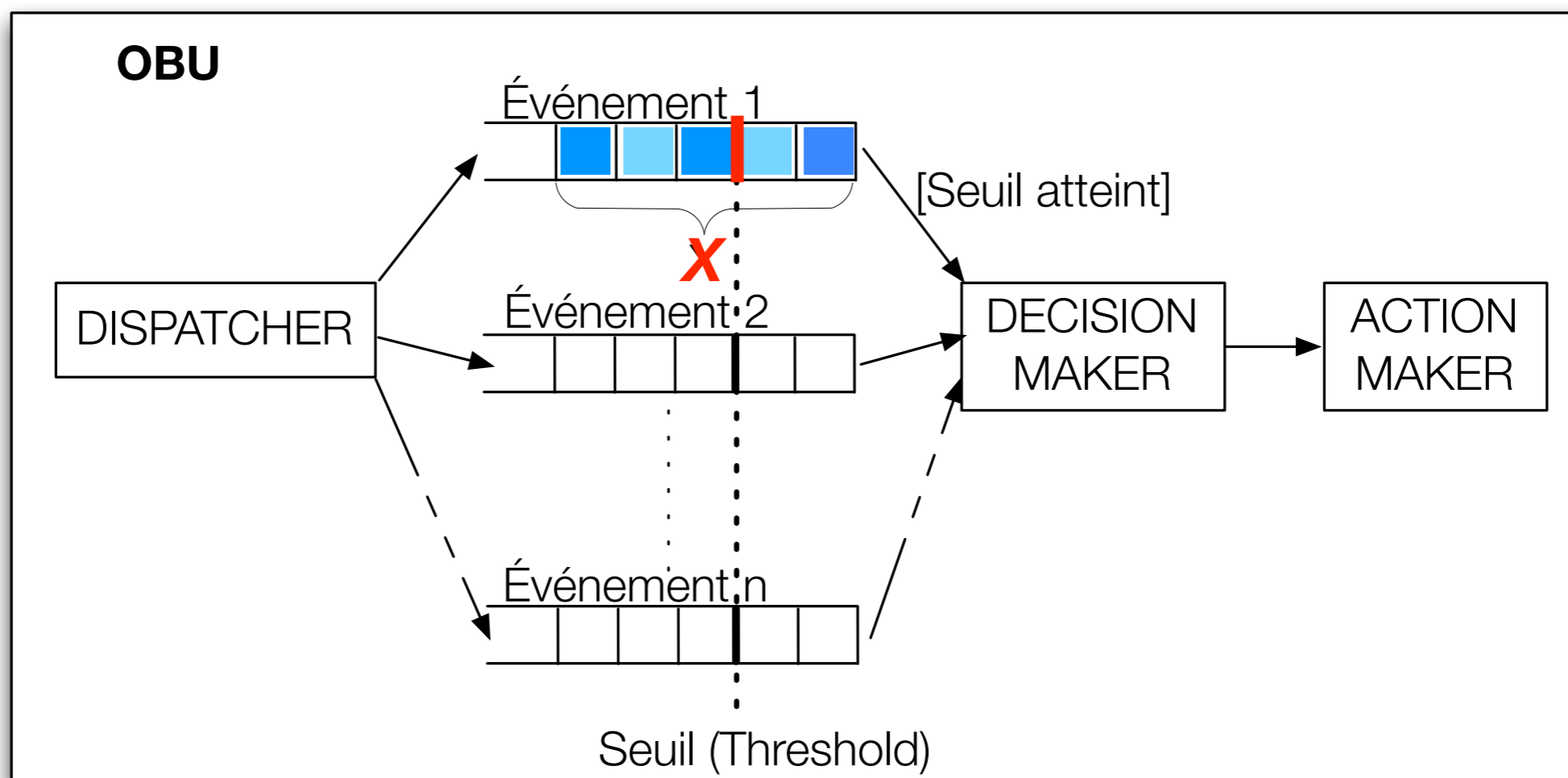
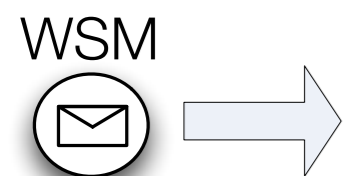
*Majority of freshest **X** with **Threshold***



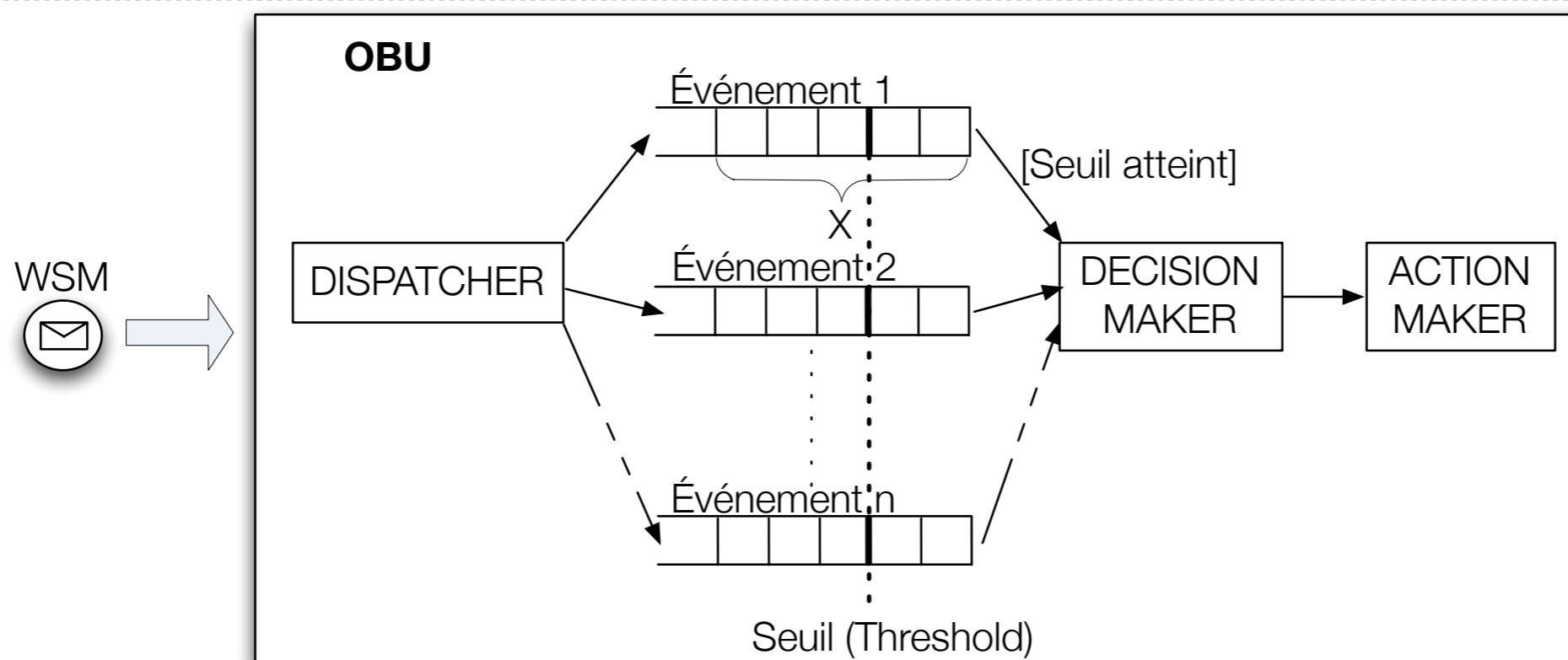
Majority of freshest X with **Threshold**



Majority of freshest **X** with **Threshold**



Majority of freshest X with **Threshold**



🔸 Niveau de confiance (OBU)

$$d_i = \sum_{k=1}^{N_{TX}} F(e_k^i), \text{ si } X > \text{Threshold}$$

🔸 Délai de décision

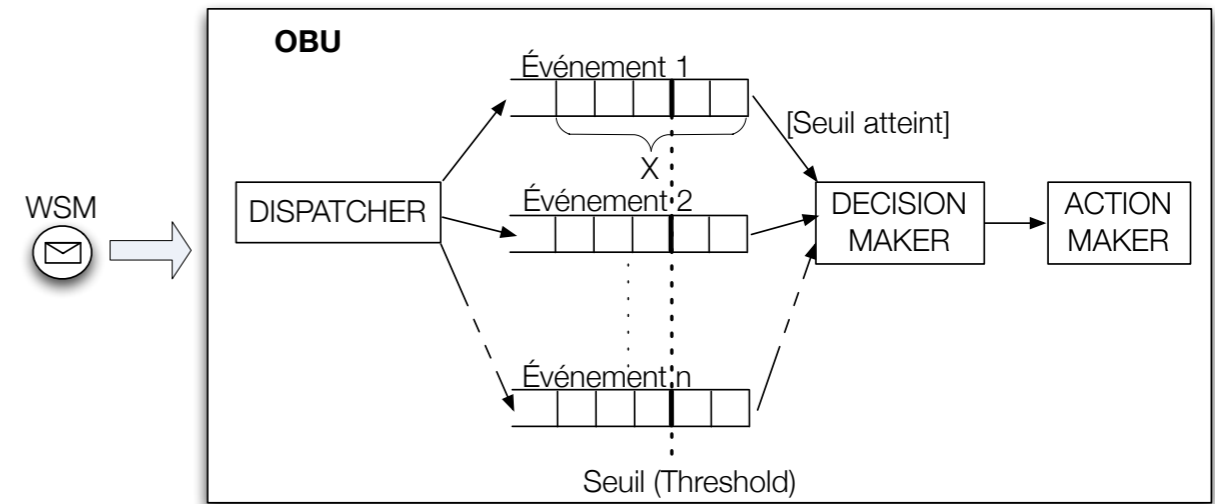
$$\text{Délai}_{\text{décision}} = X \times (T_{tx} + T_{vérif}) \text{ avec } X > \text{Threshold}$$

Majority of freshest **X** with **Threshold**



- Protection contre les attaques d'injection de fausses informations

- Fraîcheur



- Comment définir ces paramètres ?

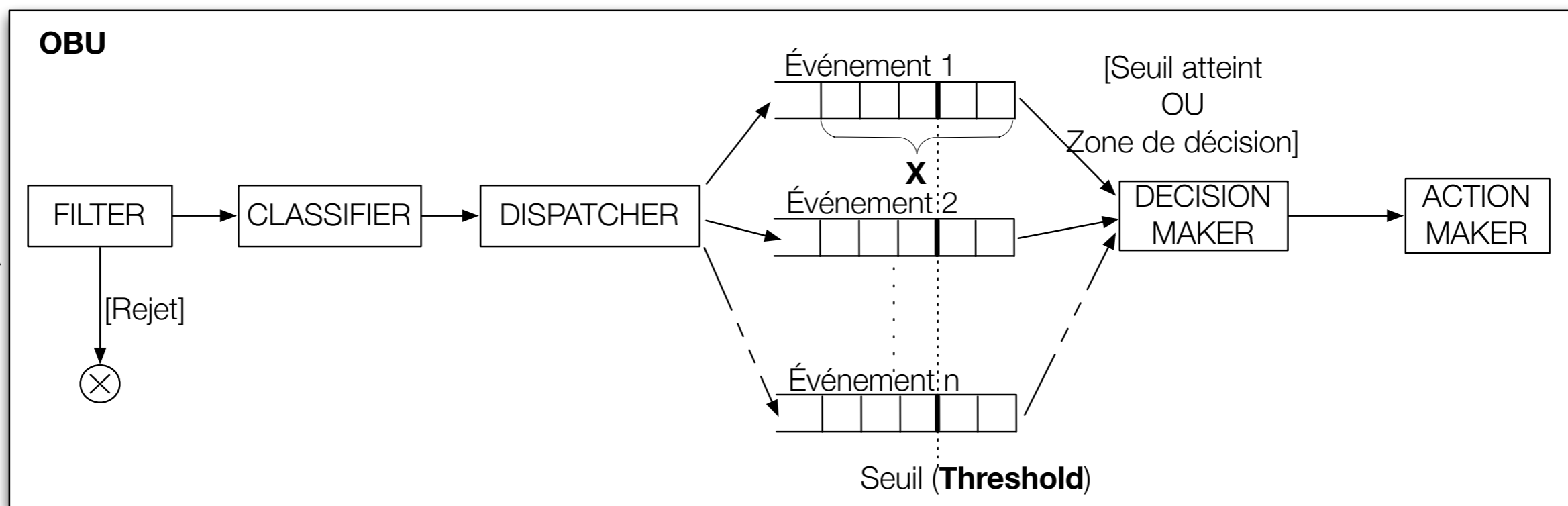
- Non-utilisation du contenu de l'information



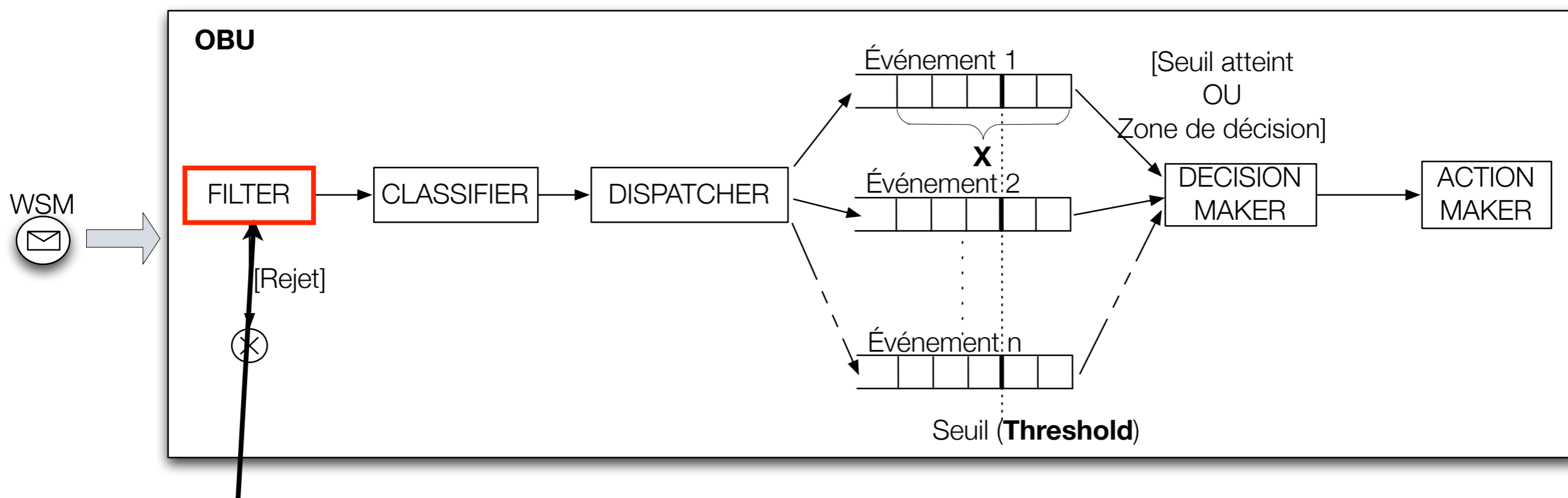
Notre proposition



Notre proposition

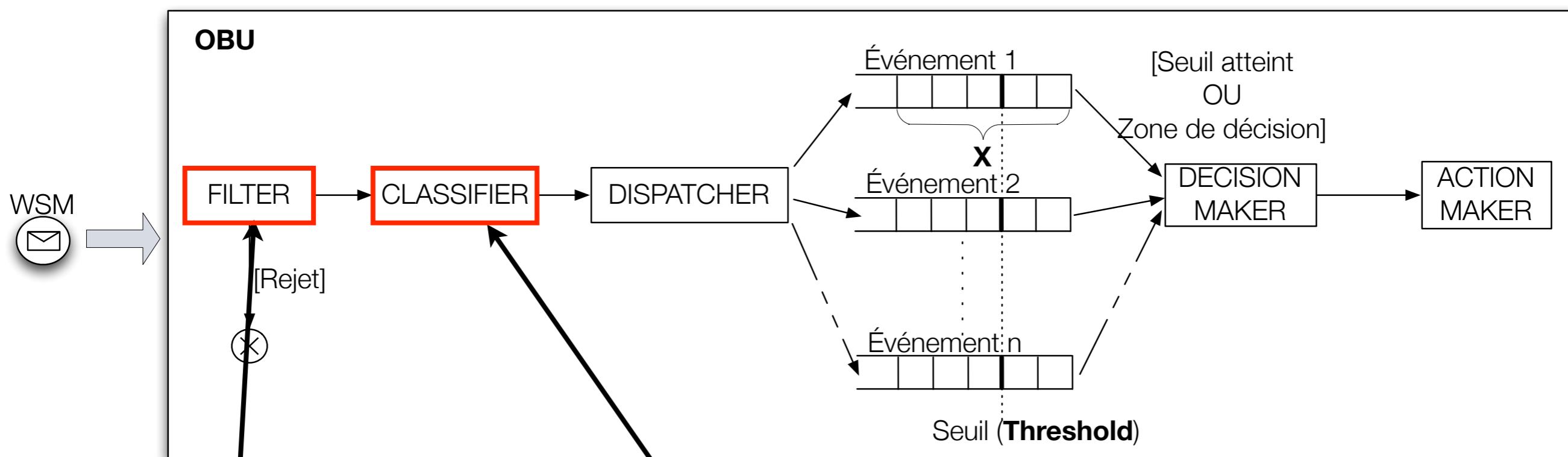


Notre proposition



Pour éliminer les paquets inutiles (distance, voie)

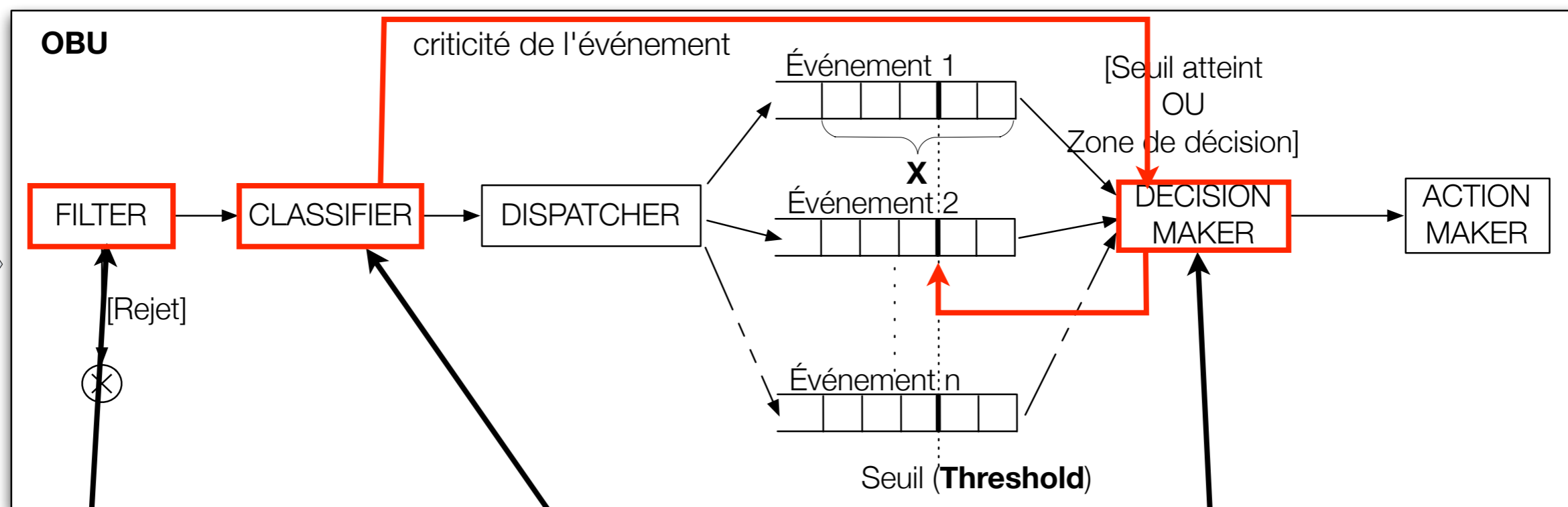
Notre proposition



Pour éliminer les paquets inutiles (distance, voie)

Pour calculer la criticité de l'événement

Notre proposition



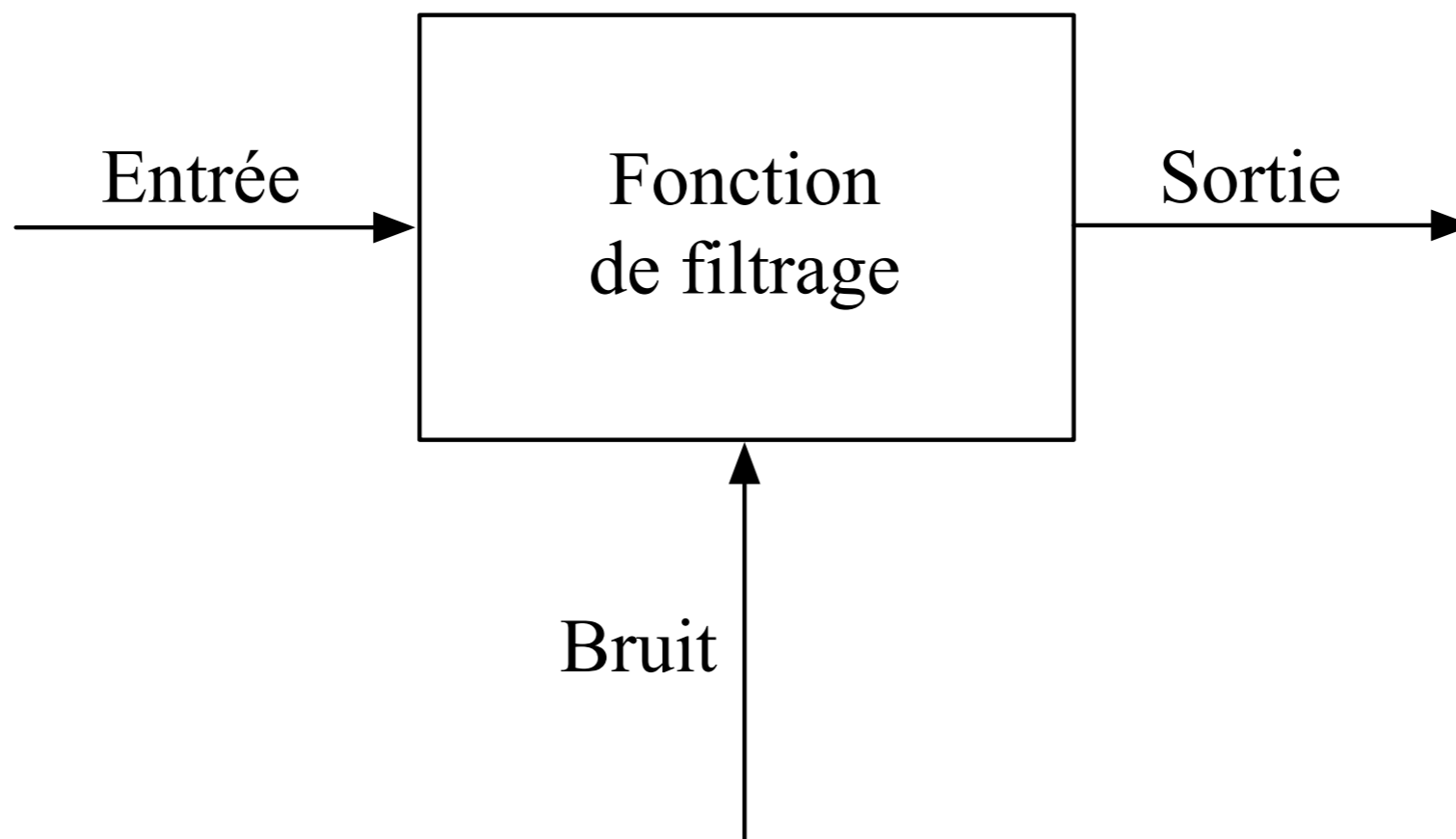
Pour éliminer les paquets inutiles (distance, voie)

Pour calculer la criticité de l'événement

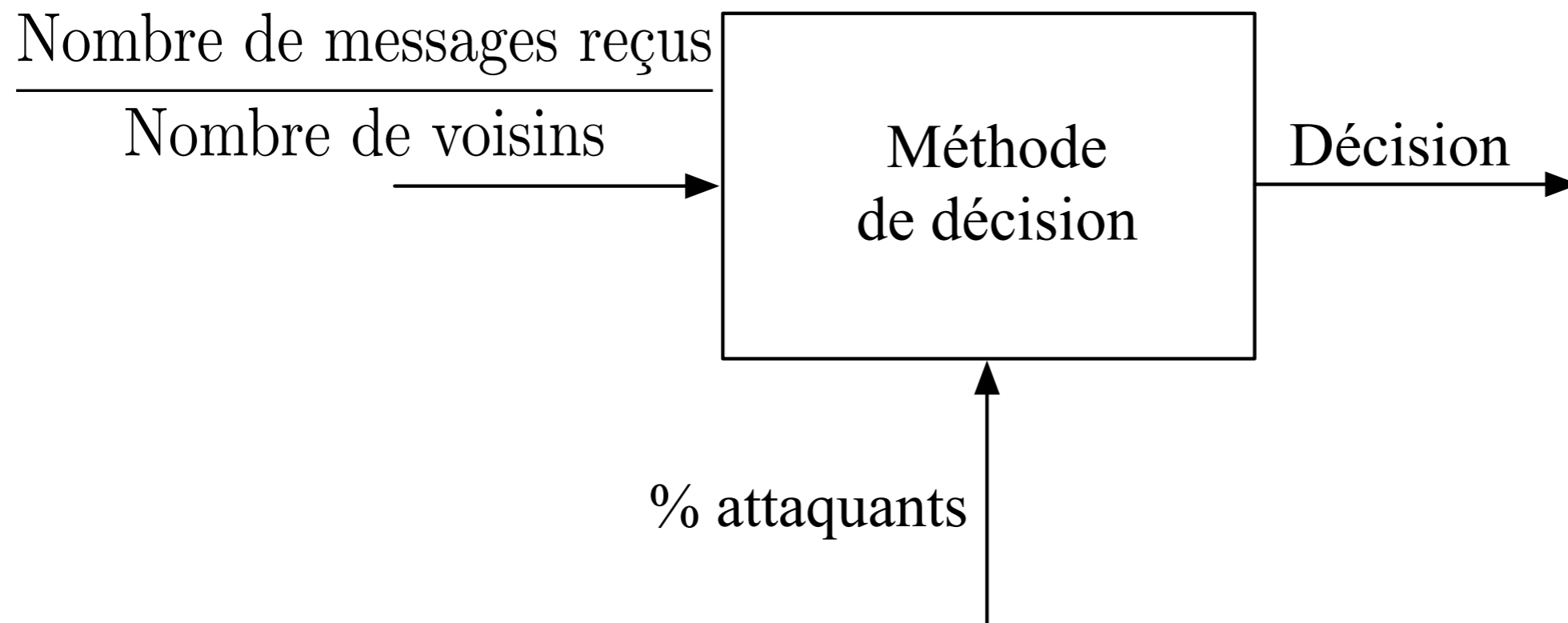
Pour fixer les paramètres de consensus (X , $Threshold$)



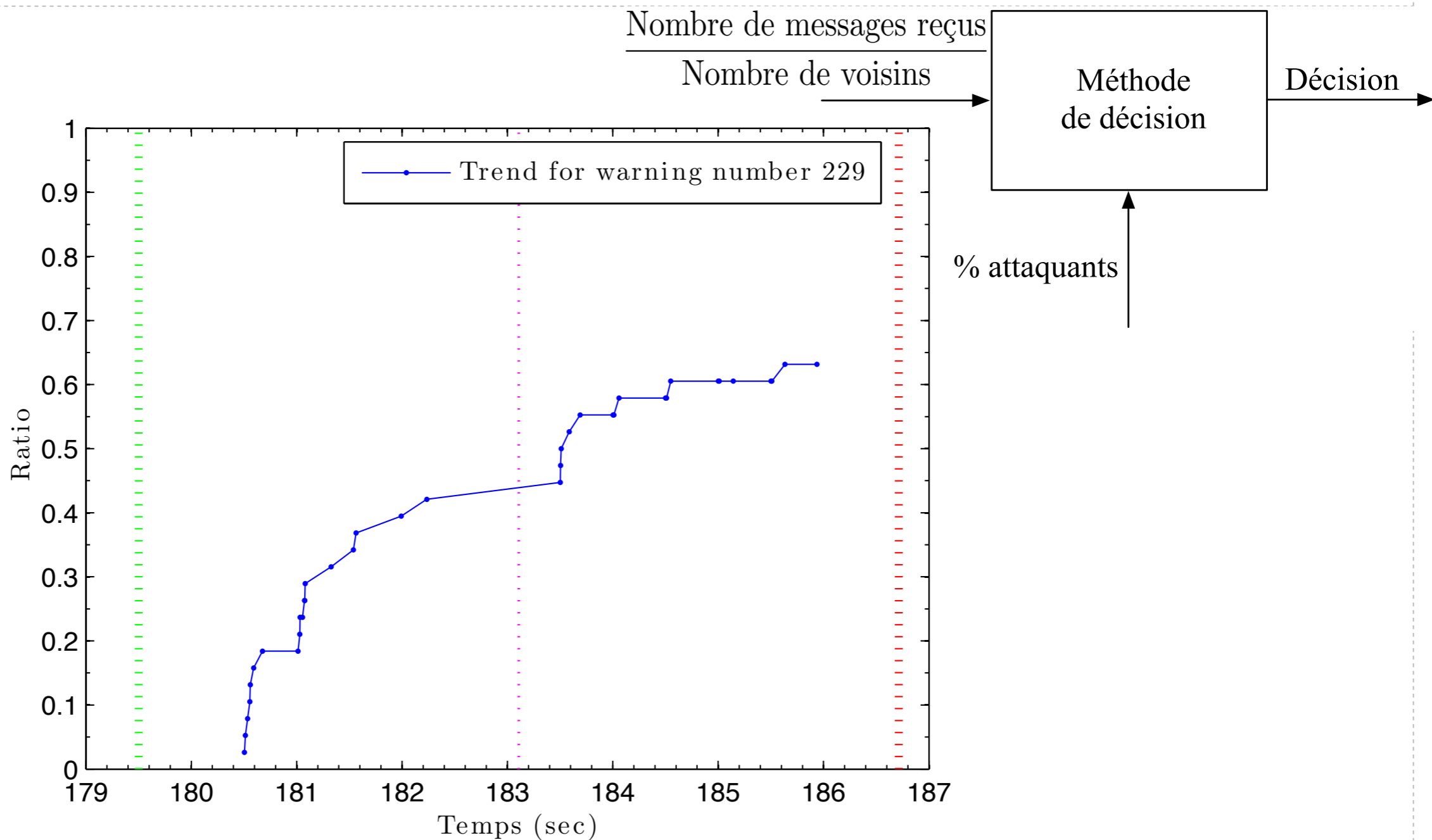
Modélisation du *decision maker*



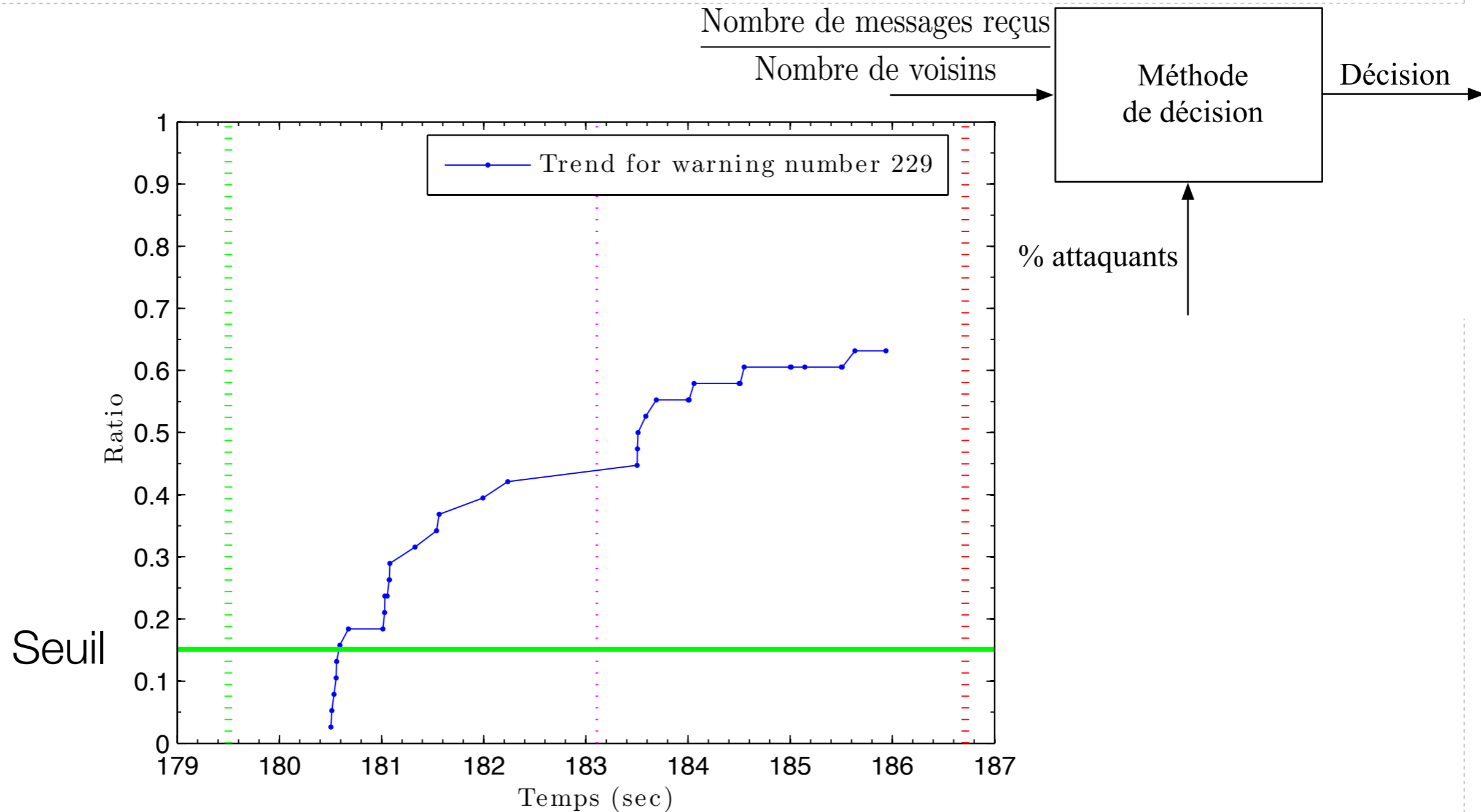
Modélisation du *decision maker*



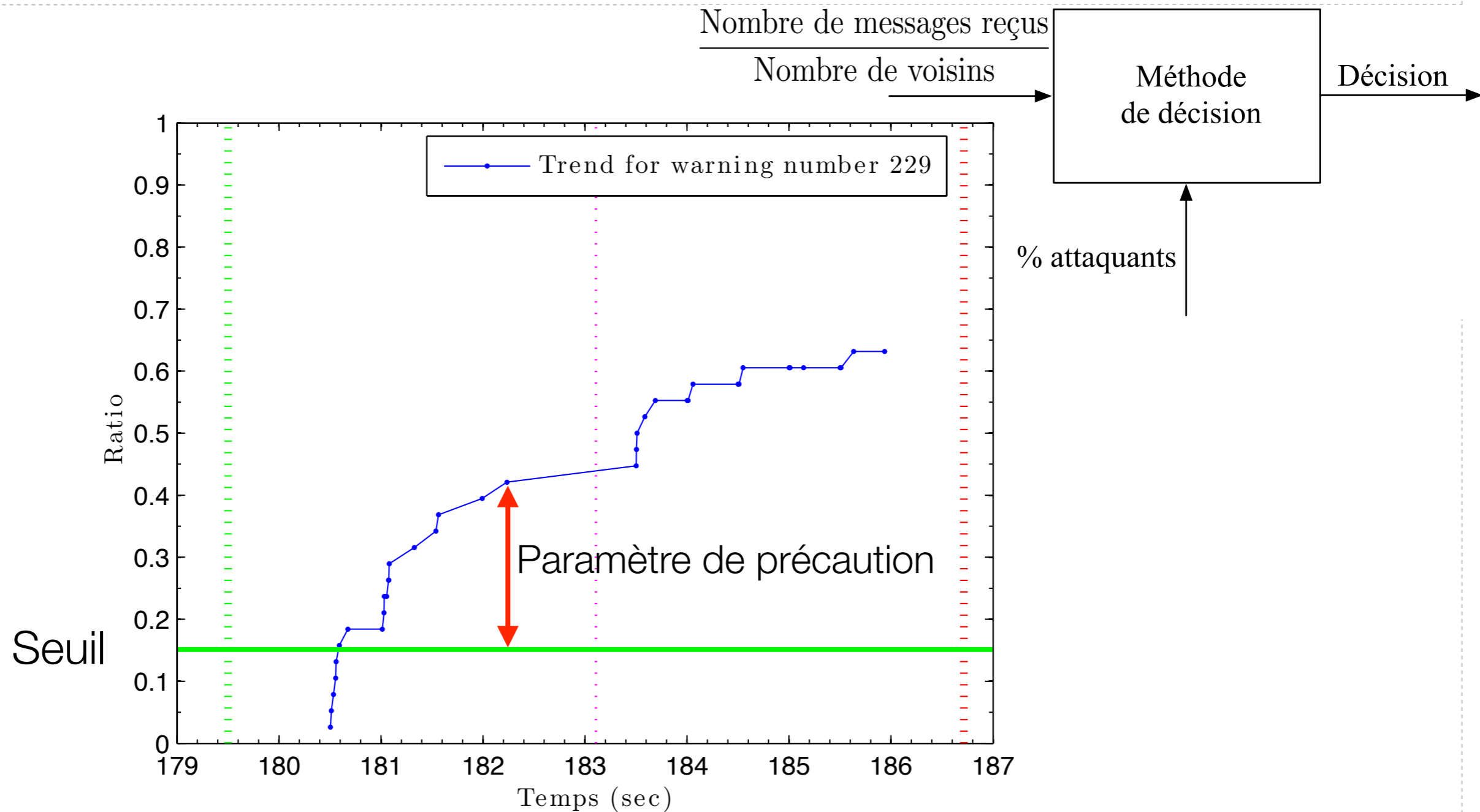
Modélisation du *decision maker*



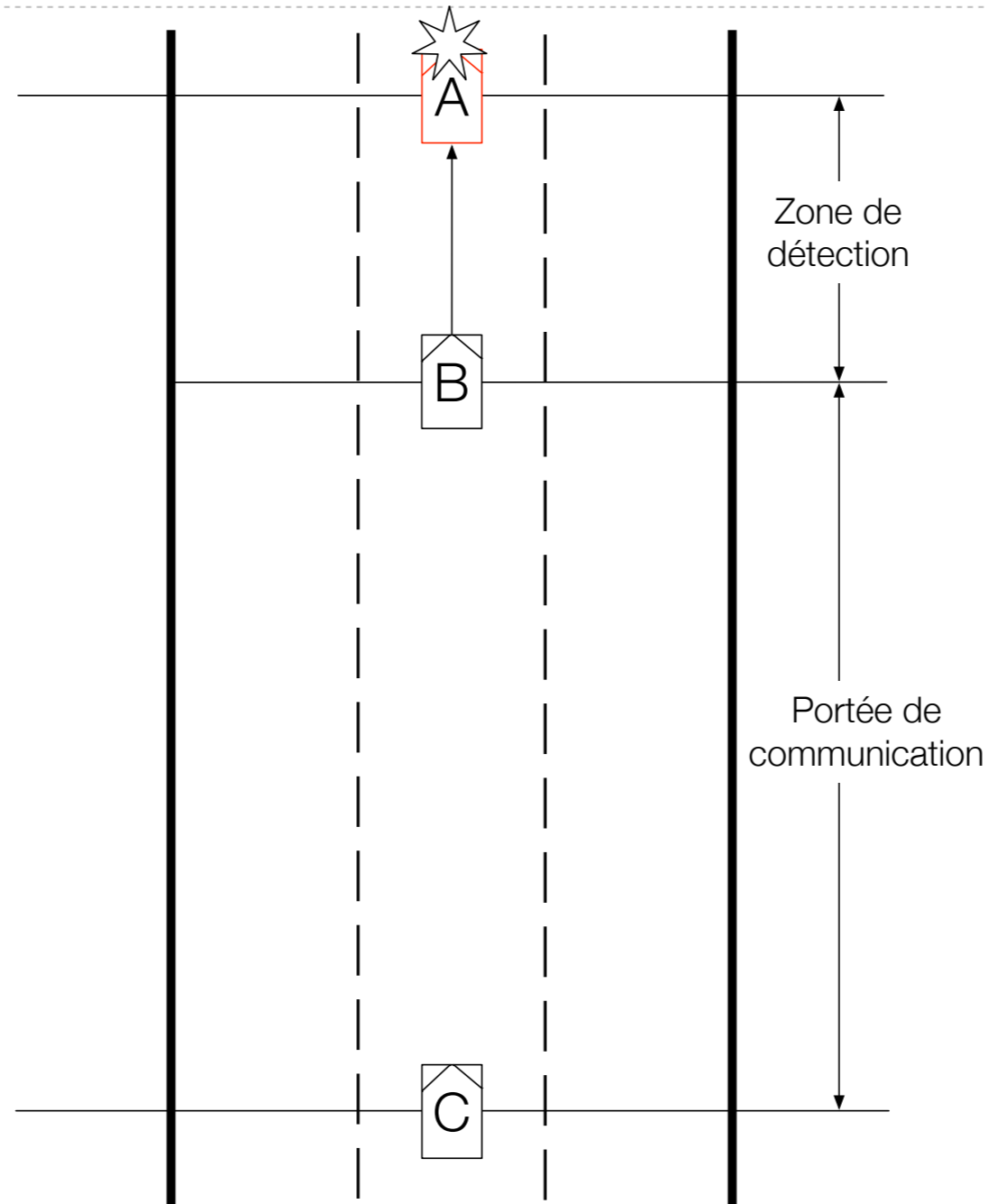
Modélisation du *decision maker*



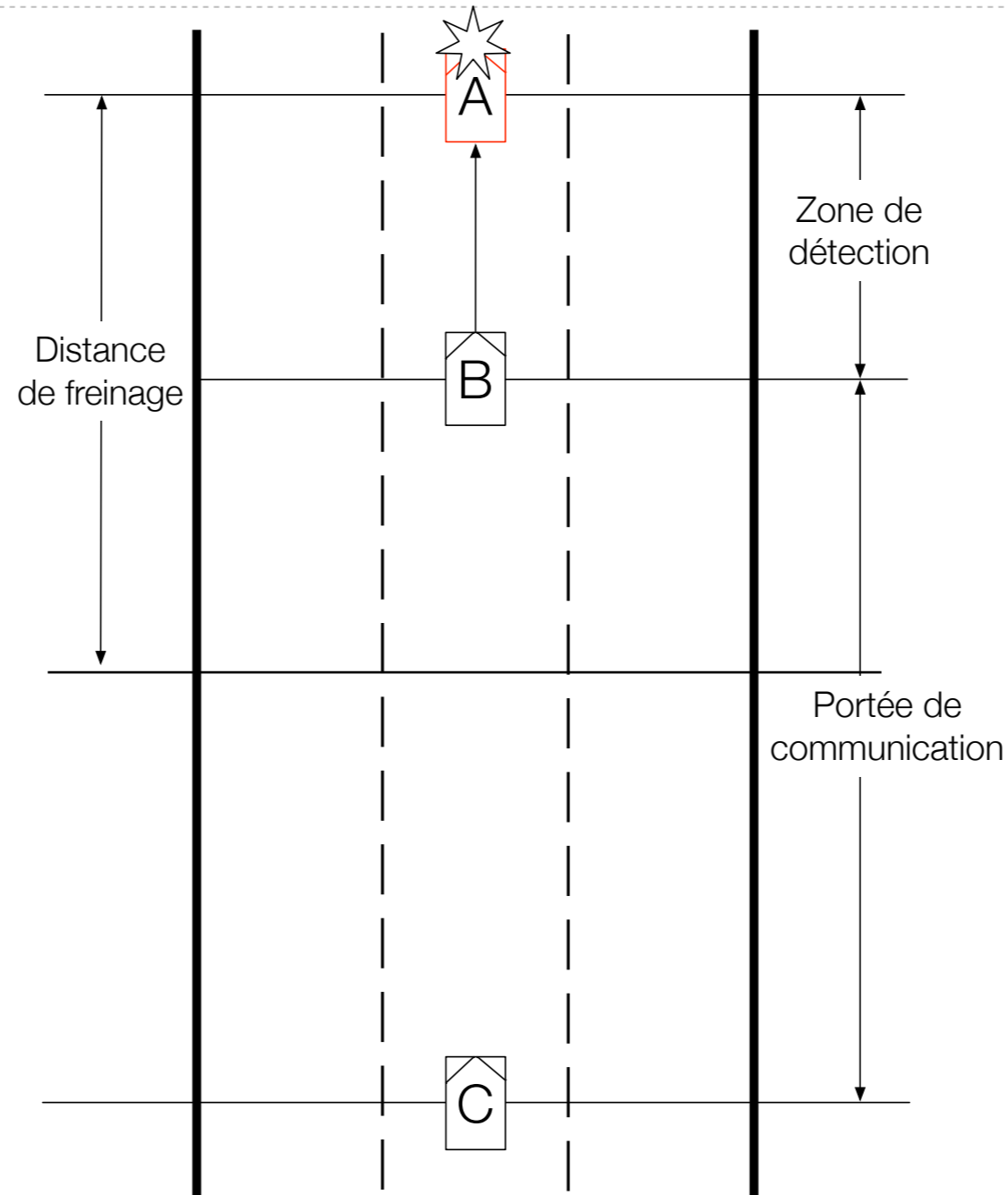
Modélisation du *decision maker*



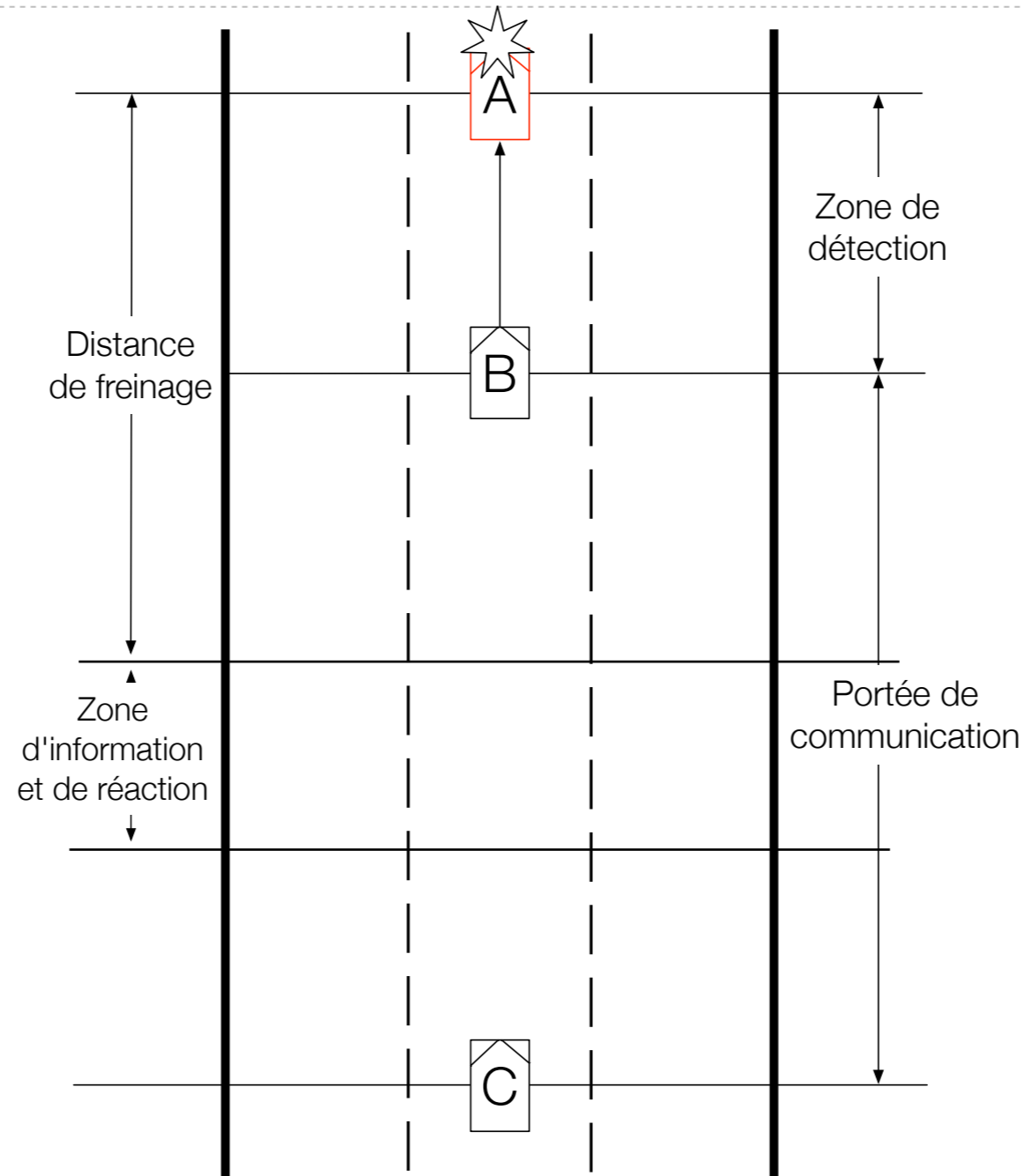
Modèle et criticité



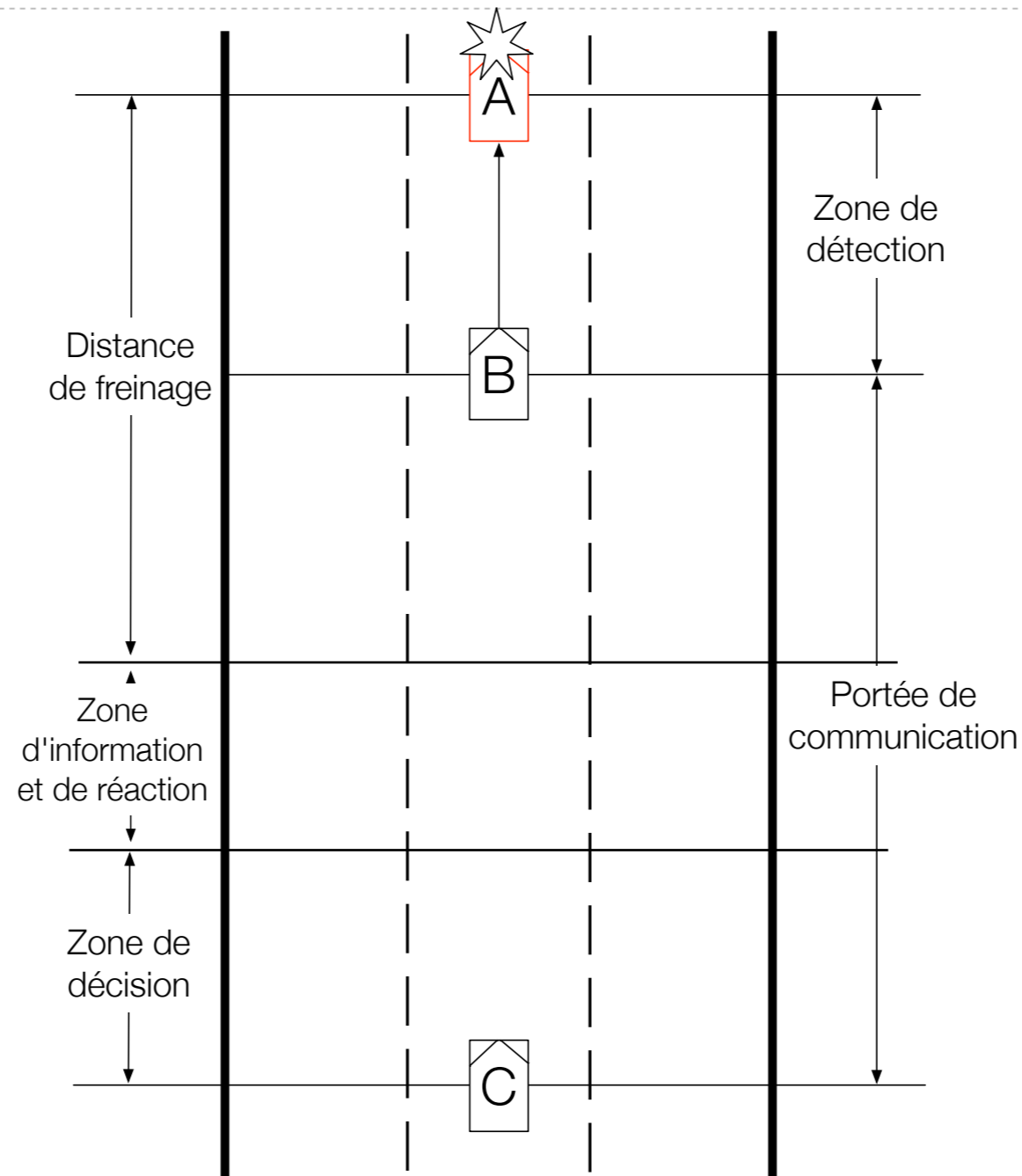
Modèle et criticité



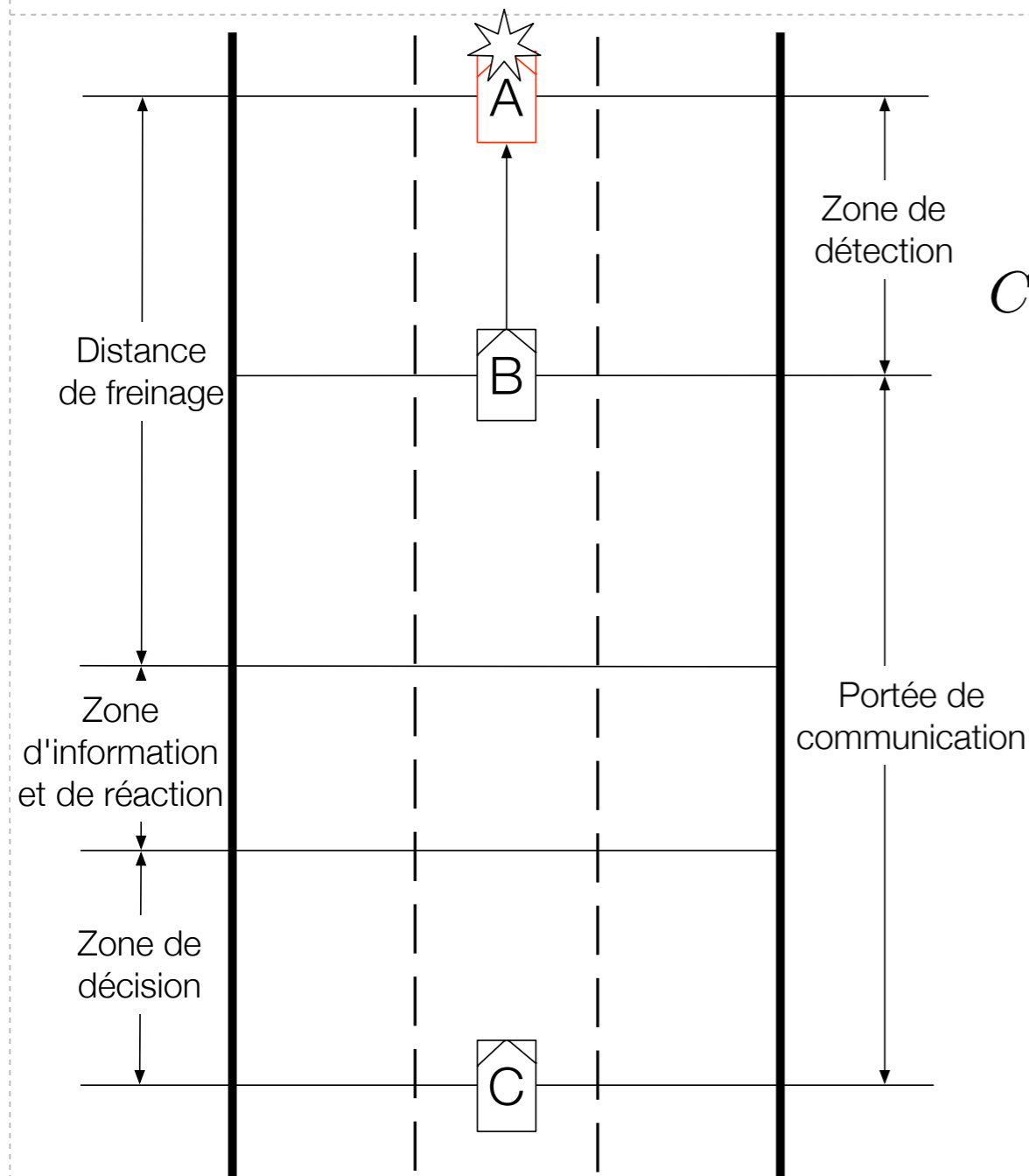
Modèle et criticité



Modèle et criticité

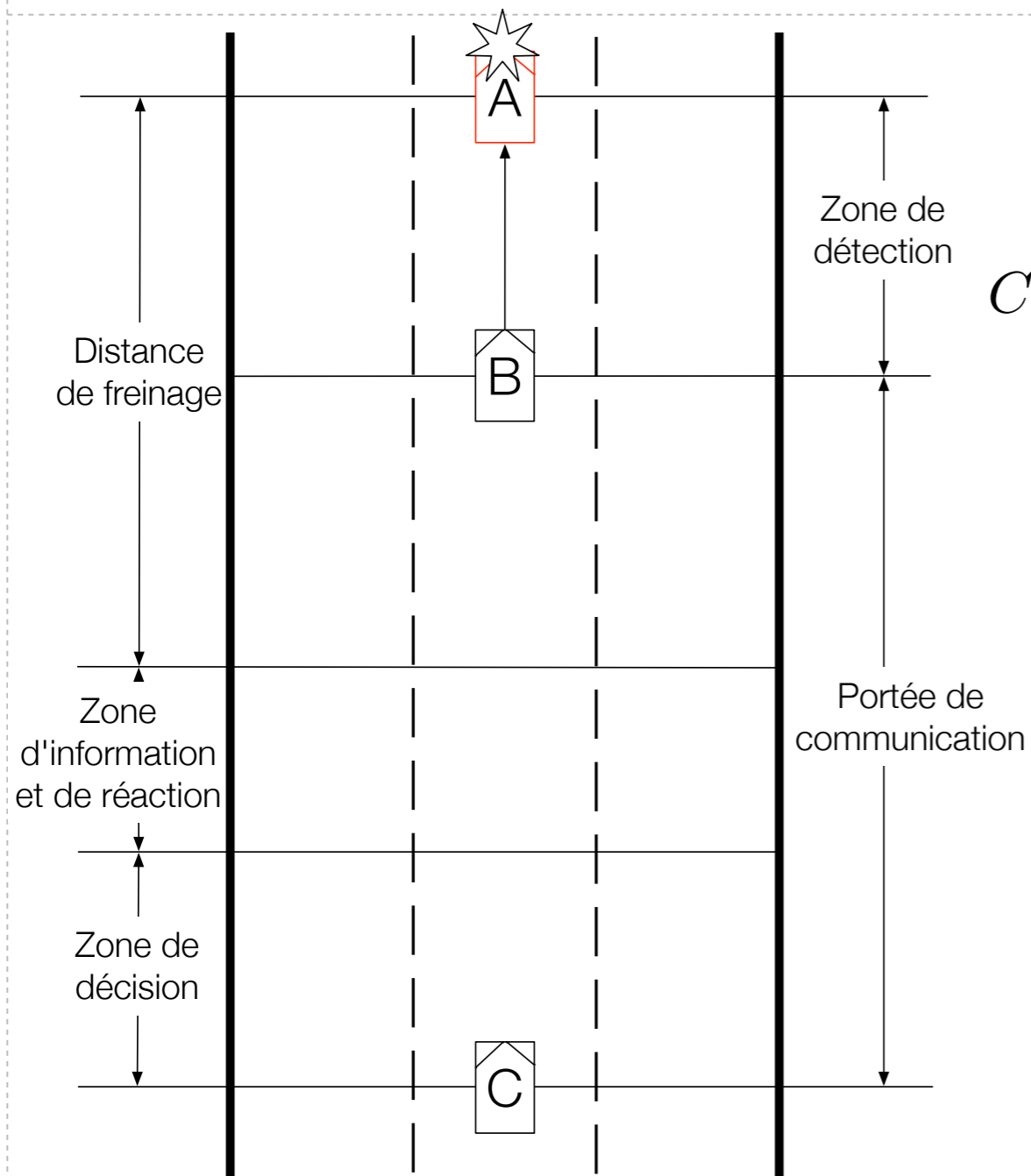


Modèle et criticité

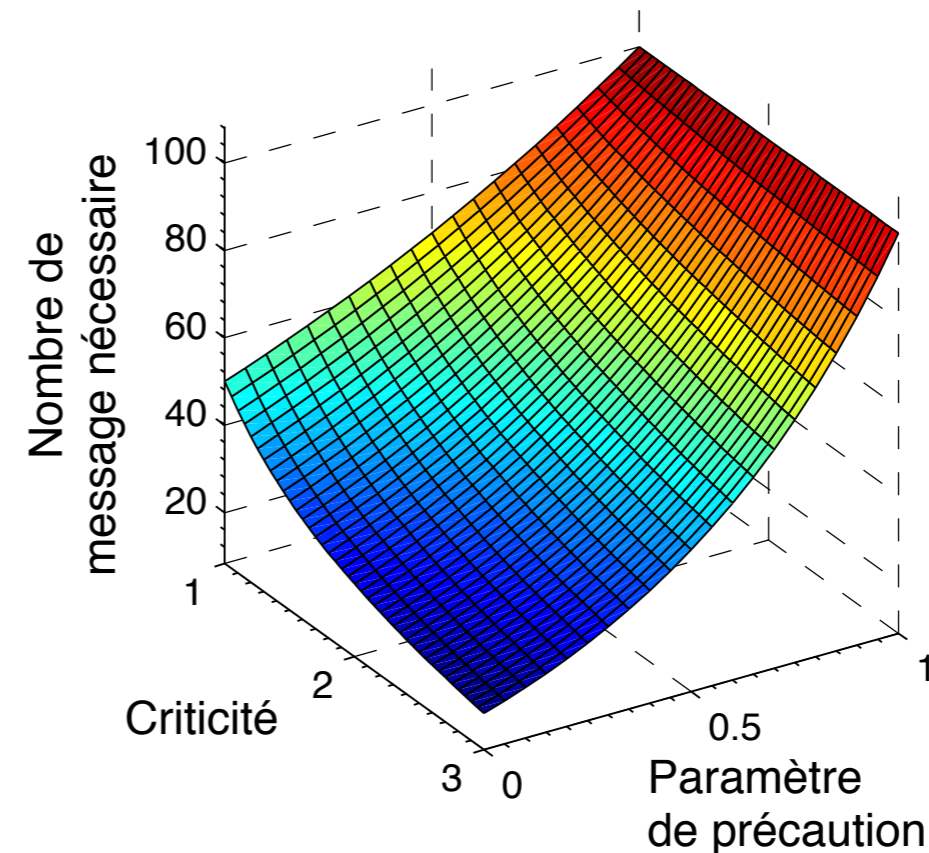


$$C_{\lambda(i)} = \begin{cases} 1, & \text{si } \Delta T_i > T_{dist_sécurité} \\ 1 + \frac{1}{\Delta T_i}, & \text{si } T_{dist_sécurité} > \Delta T_i > T_{collision} \end{cases}$$

Modèle et criticité



$$C_{\lambda(i)} = \begin{cases} 1, & \text{si } \Delta T_i > T_{dist_sécurité} \\ 1 + \frac{1}{\Delta T_i}, & \text{si } T_{dist_sécurité} > \Delta T_i > T_{collision} \end{cases}$$



Rappels : Limites (Ostermaier)

- ❏ Contexte de l'événement inutilisé
- ❏ Non prise en compte de la contrainte temporelle applicative
- ❏ Valeurs X et *Threshold* fixées statiquement



Rappels : Limites (Ostermaier)

☸ Contexte de l'événement inutilisé



$C_{\lambda(i)}$

☸ Non prise en compte de la contrainte temporelle applicative

☸ Valeurs X et *Threshold* fixées statiquement

Rappels : Limites (Ostermaier)

☸ Contexte de l'événement inutilisé



$C_{\lambda(i)}$

☸ Non prise en compte de la contrainte temporelle applicative



T_{MAX}

☸ Valeurs X et *Threshold* fixées statiquement



Rappels : Limites (Ostermaier)

Contexte de l'événement inutilisé



$C_{\lambda(i)}$

Non prise en compte de la contrainte temporelle applicative



T_{MAX}

Valeurs X et *Threshold* fixées statiquement



p



Notre proposition

❏ Changer dynamiquement le seuil

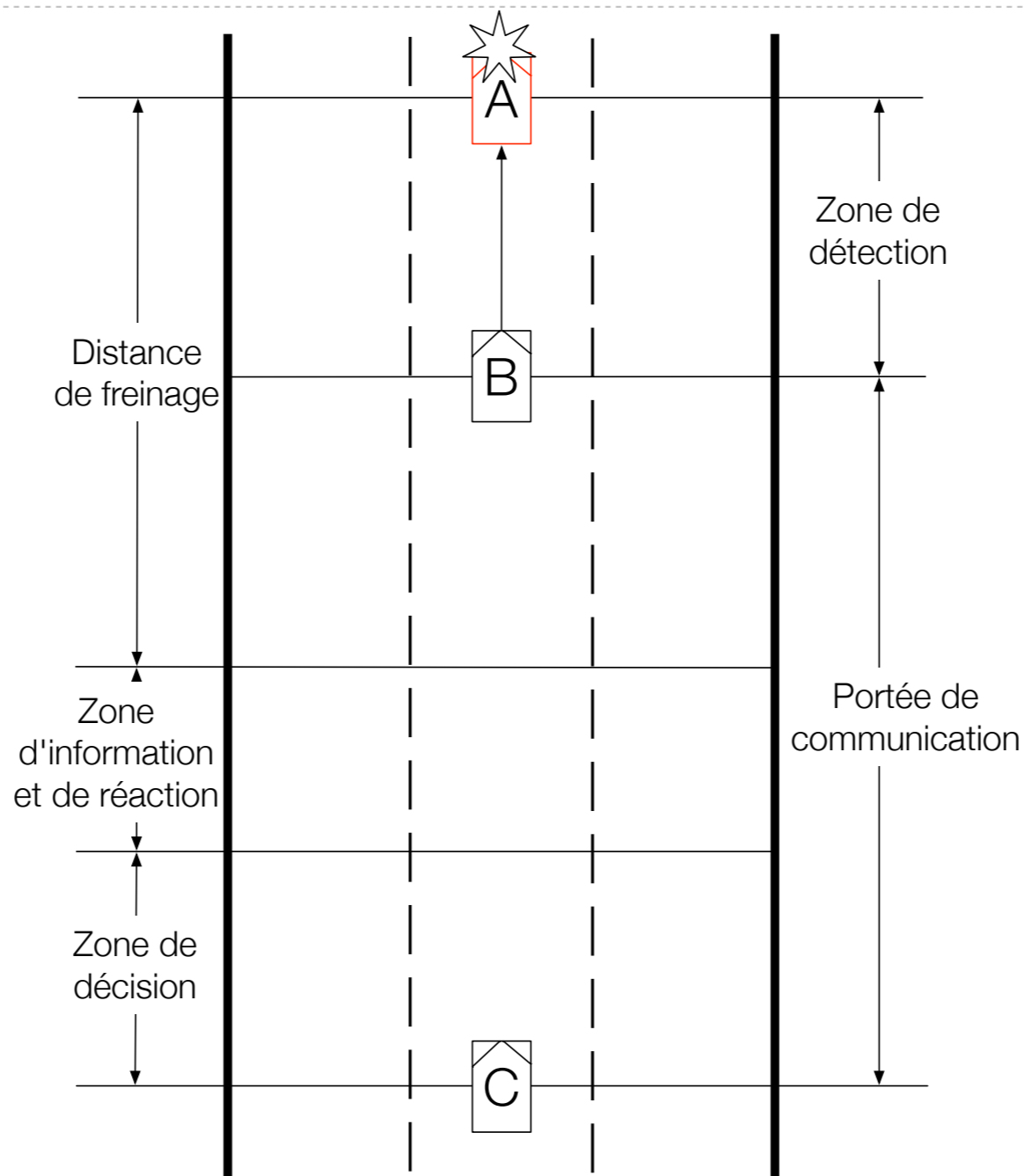
$$Threshold = p \times \frac{Ahead(N_{TX}(t), R)}{2}$$

❏ Changer dynamiquement X

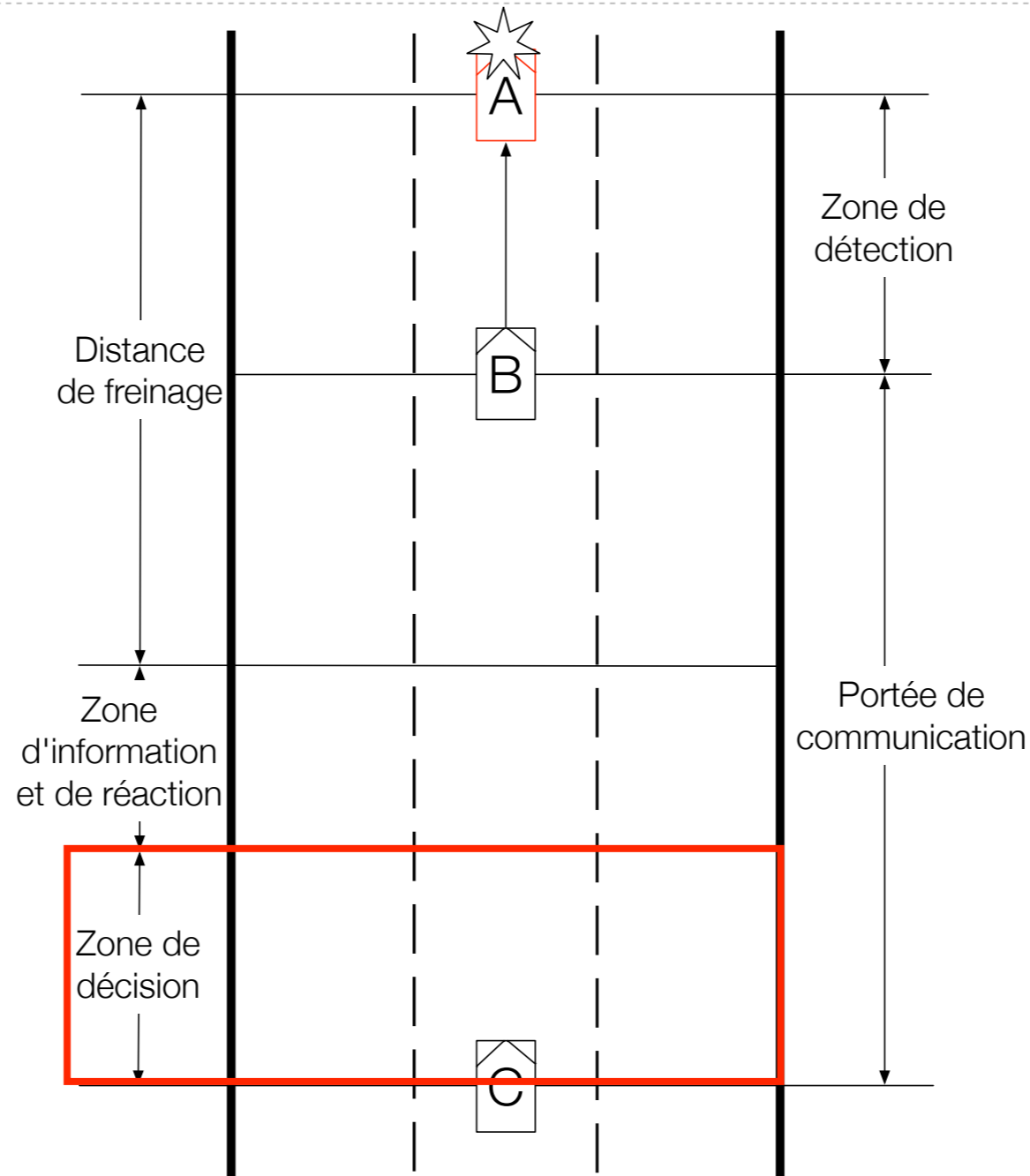
$$X = \min\left(\left(\frac{(2 \times C_{\lambda(i)})^{pc}}{C_{\lambda(i)}}\right) \times \frac{(Ahead(N_{TX}(t), R))}{2}, x_{MAX}\right)$$



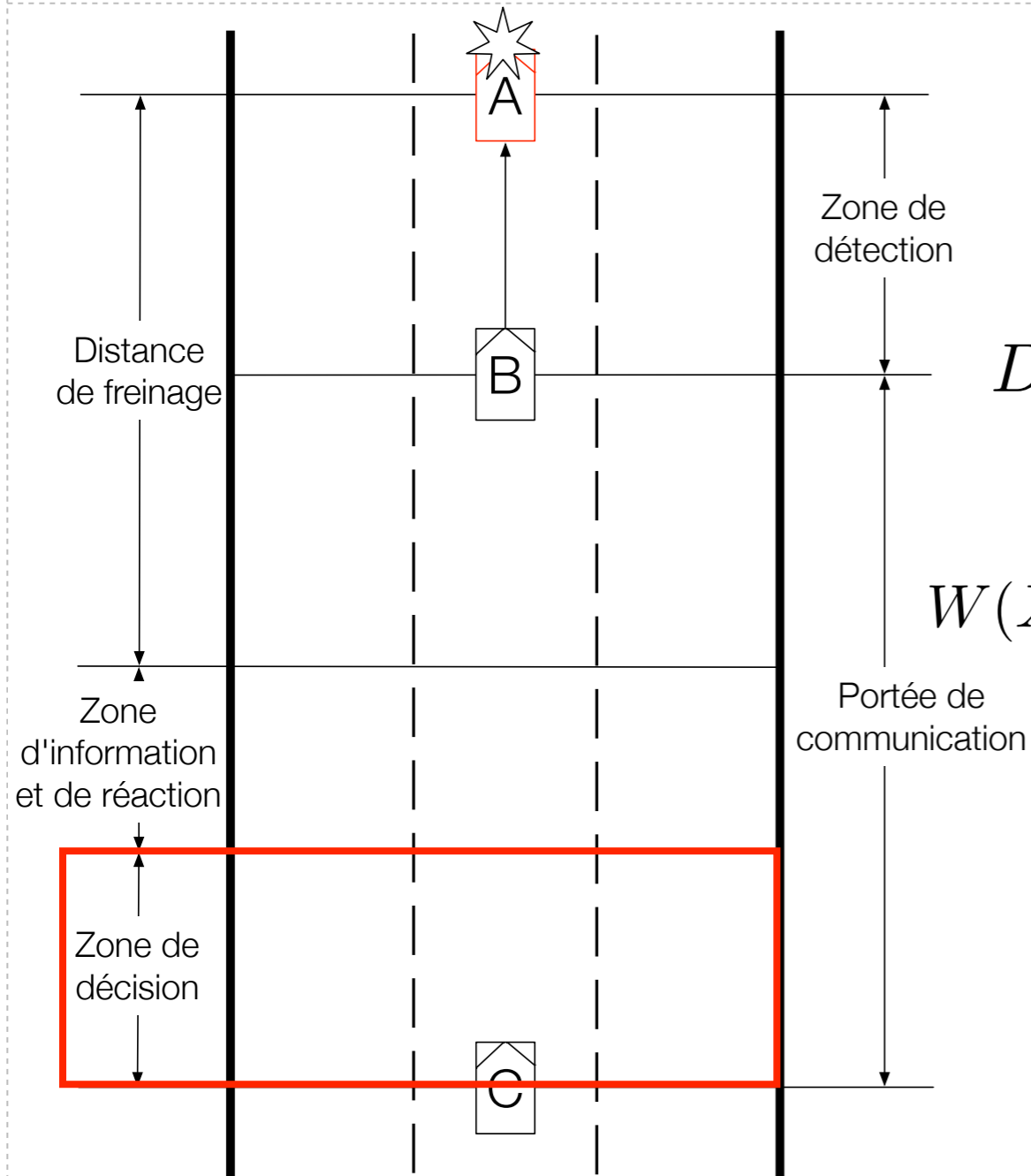
Délai de décision



Délai de décision



Délai de décision

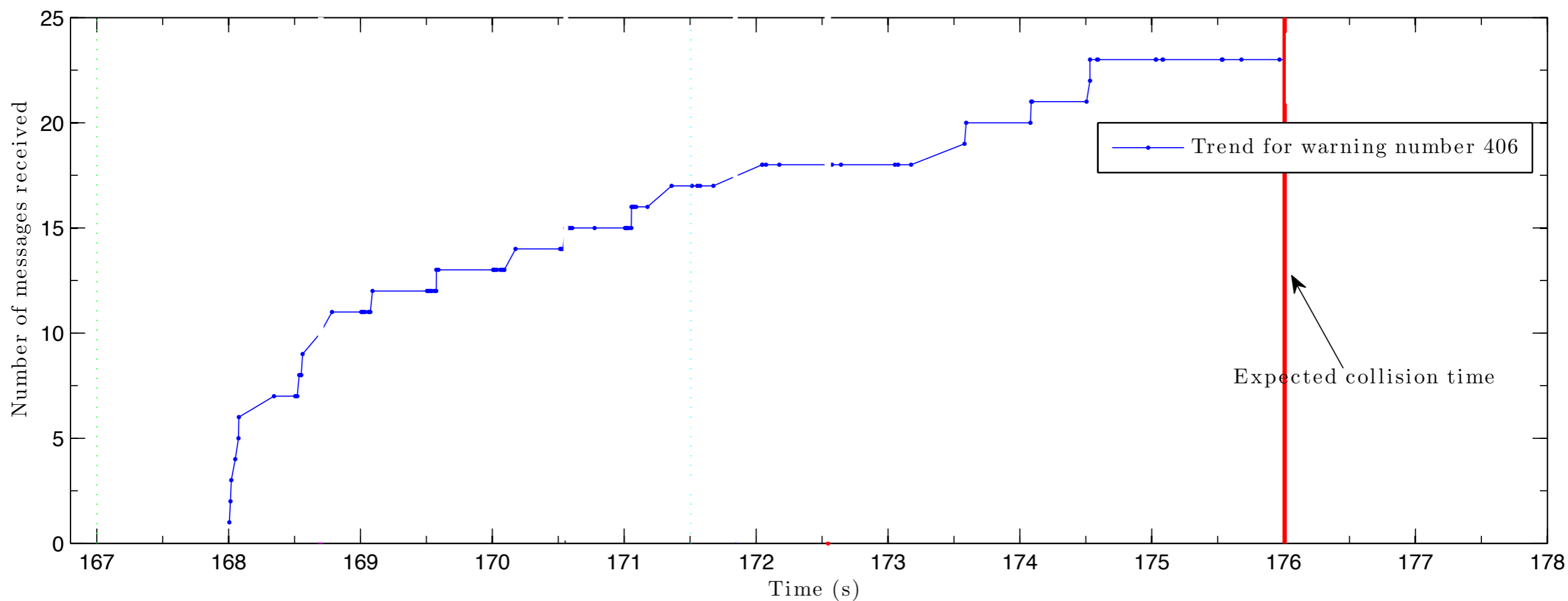


$$Délai_{decision} = (Threshold + W(X)) \times T_{ov}$$

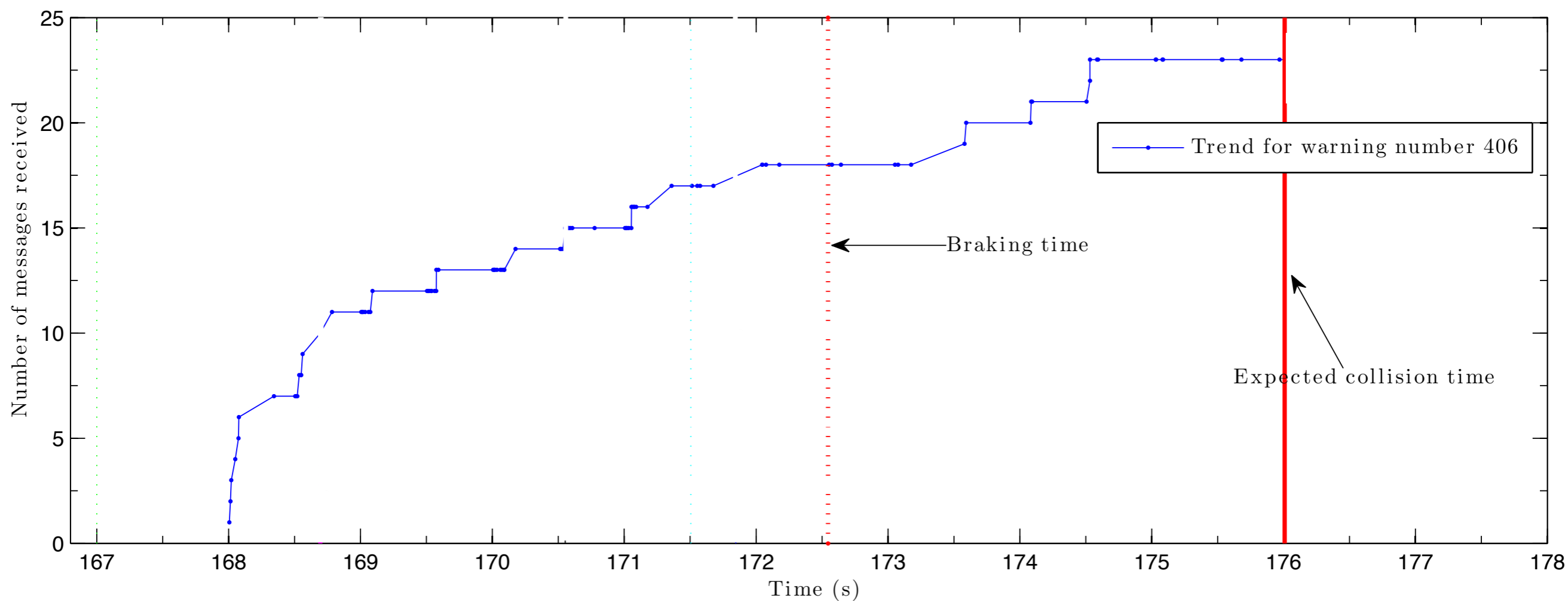
$$W(X) = \begin{cases} X - Threshold, & \text{si } |Q_{e_k^i}| \geq X \text{ avant } T_{MAX} \\ \omega \times (|Q_{e_k^i}| - Threshold), & \text{si } T_{MAX} \text{ écoulé} \end{cases}$$



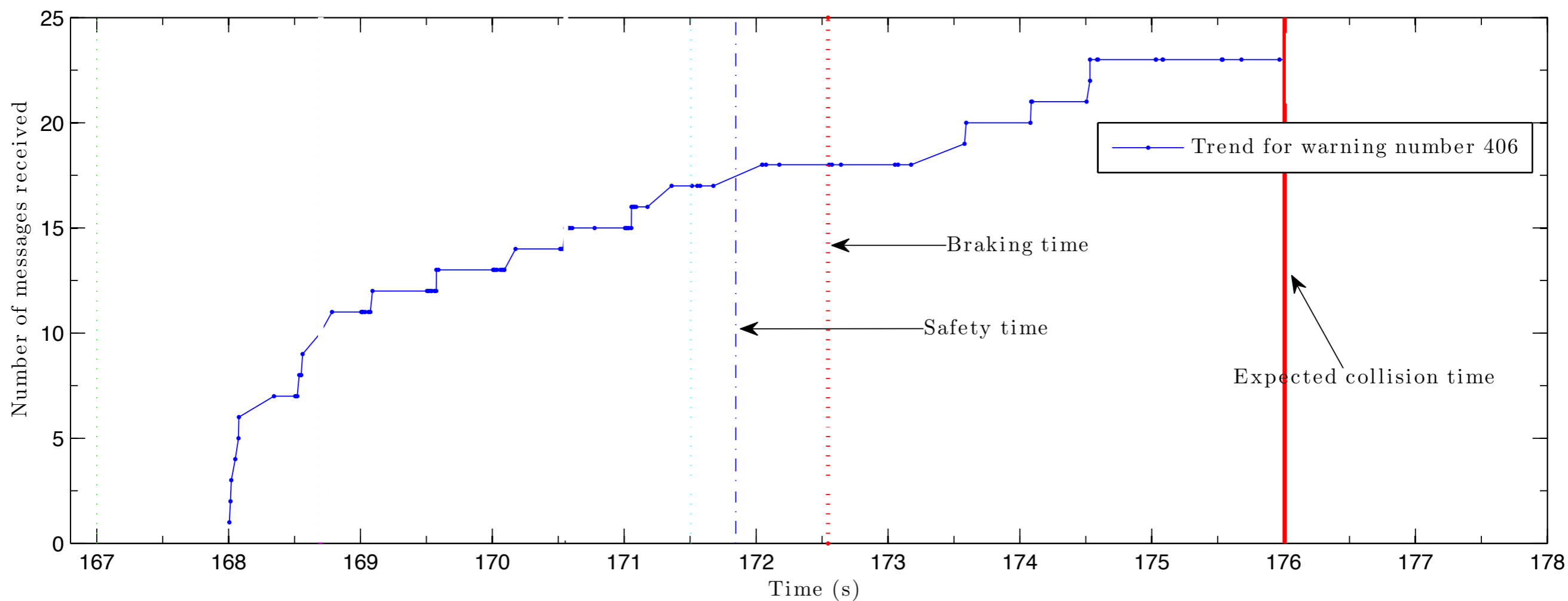
Résultats de simulation (1/2)



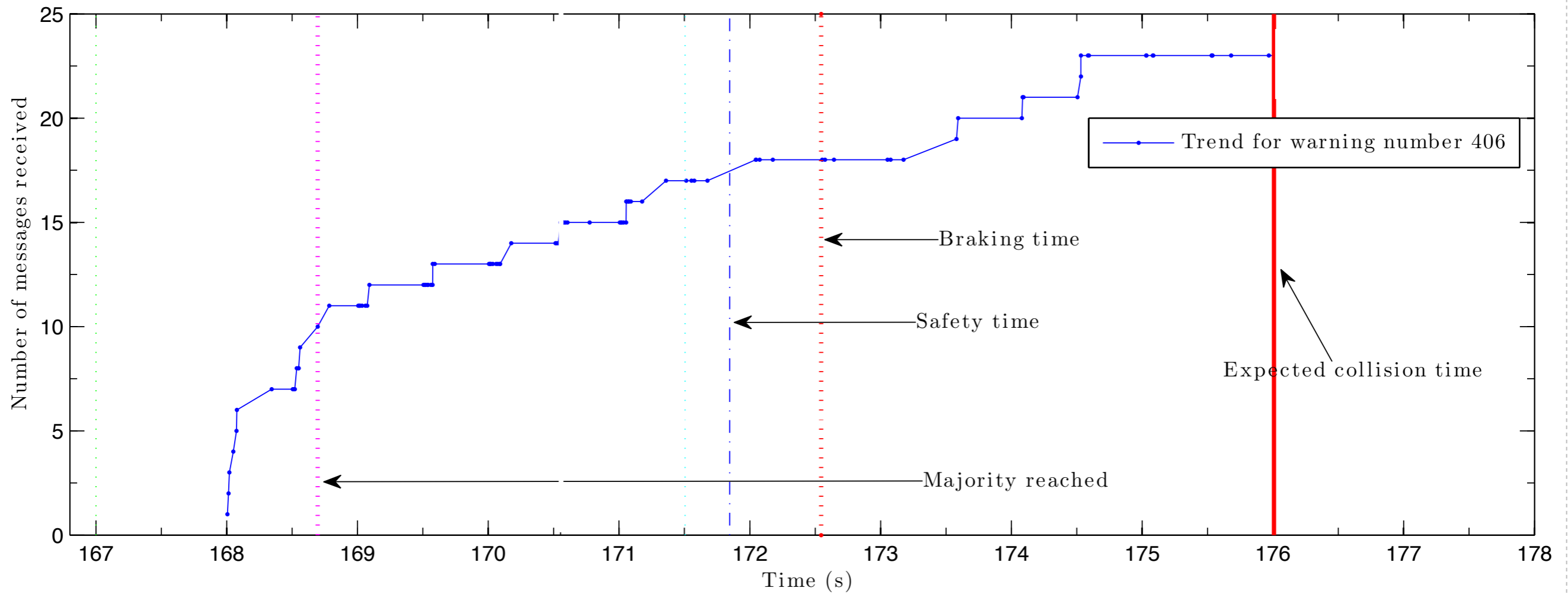
Résultats de simulation (1/2)



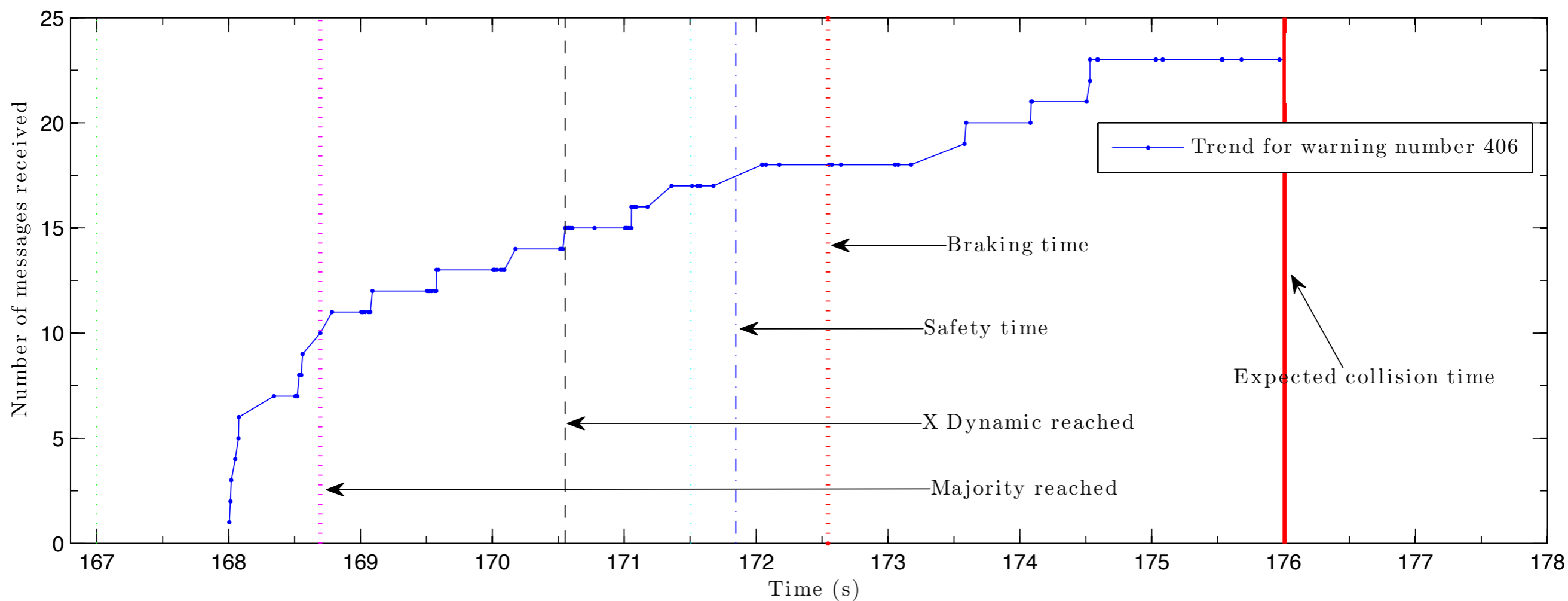
Résultats de simulation (1/2)



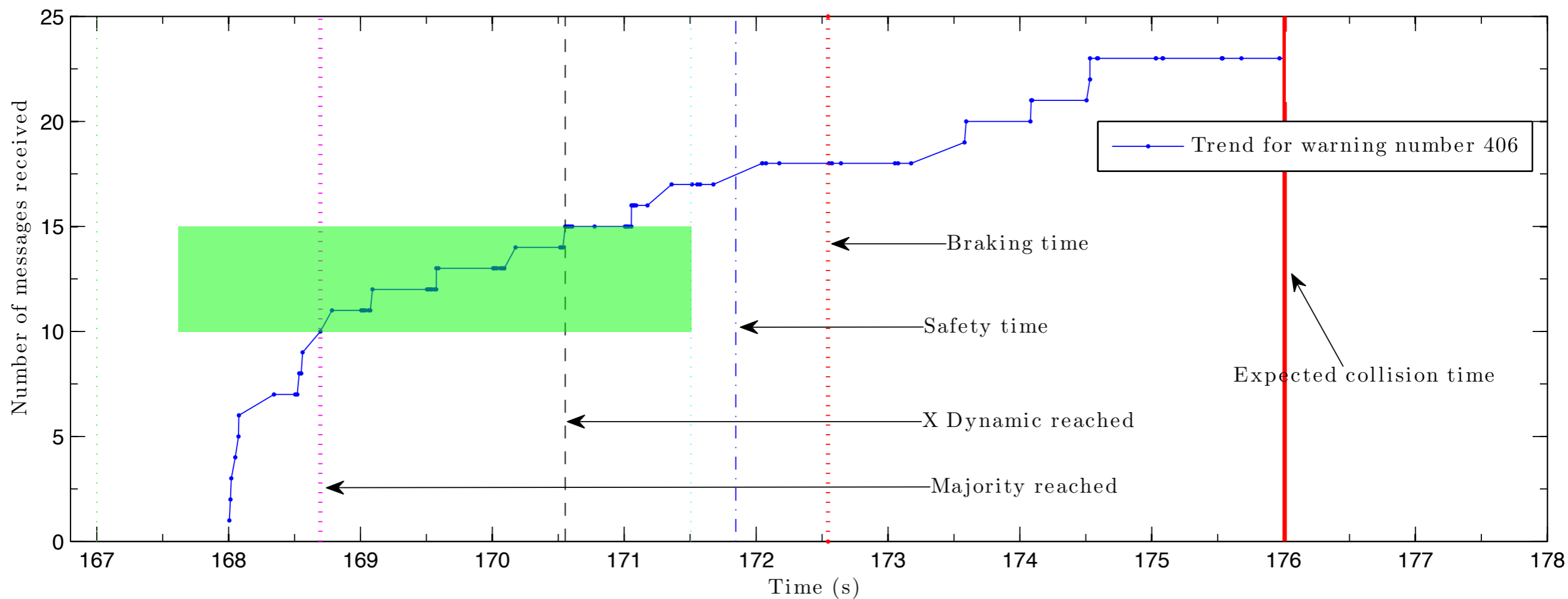
Résultats de simulation (1/2)



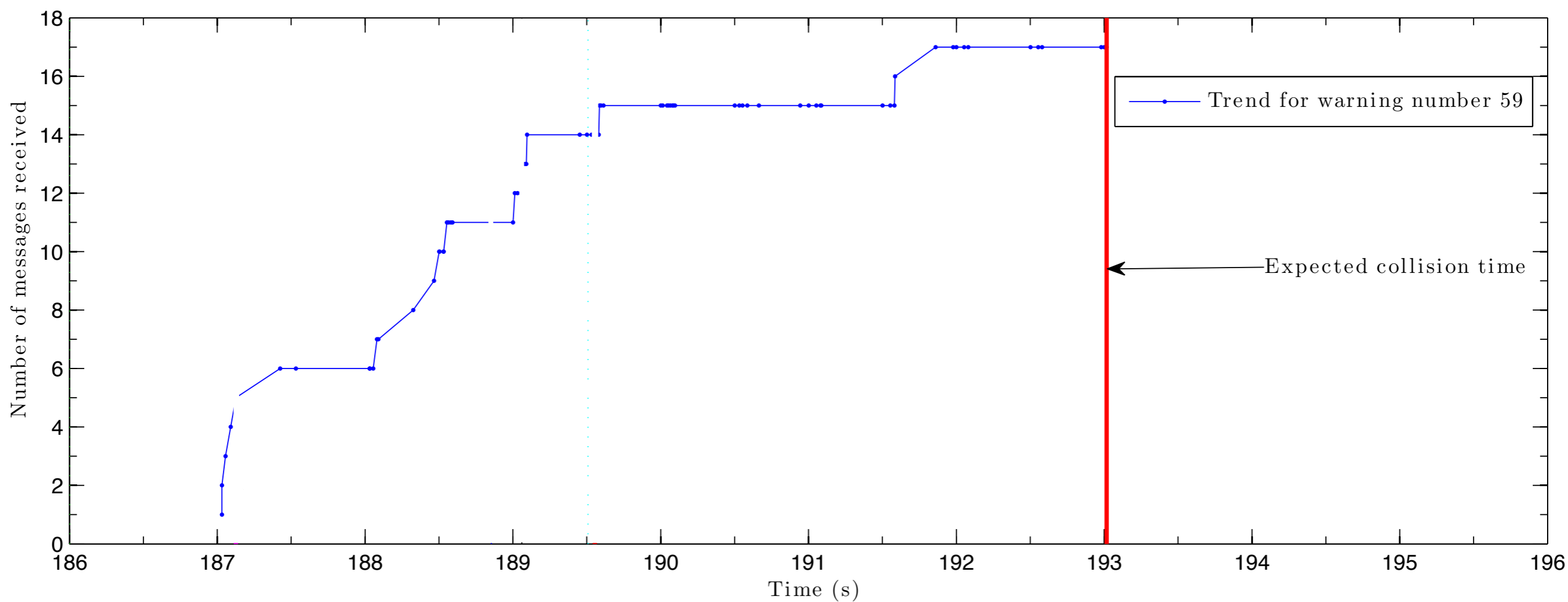
Résultats de simulation (1/2)



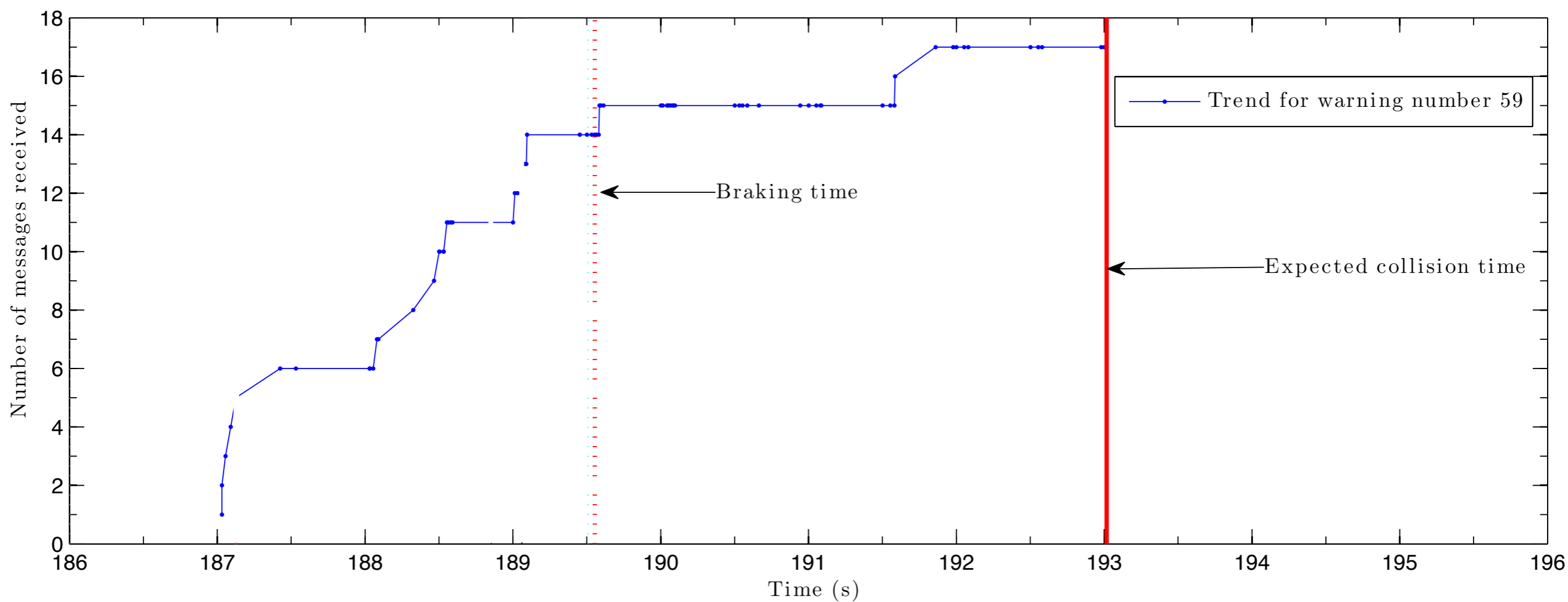
Résultats de simulation (1/2)



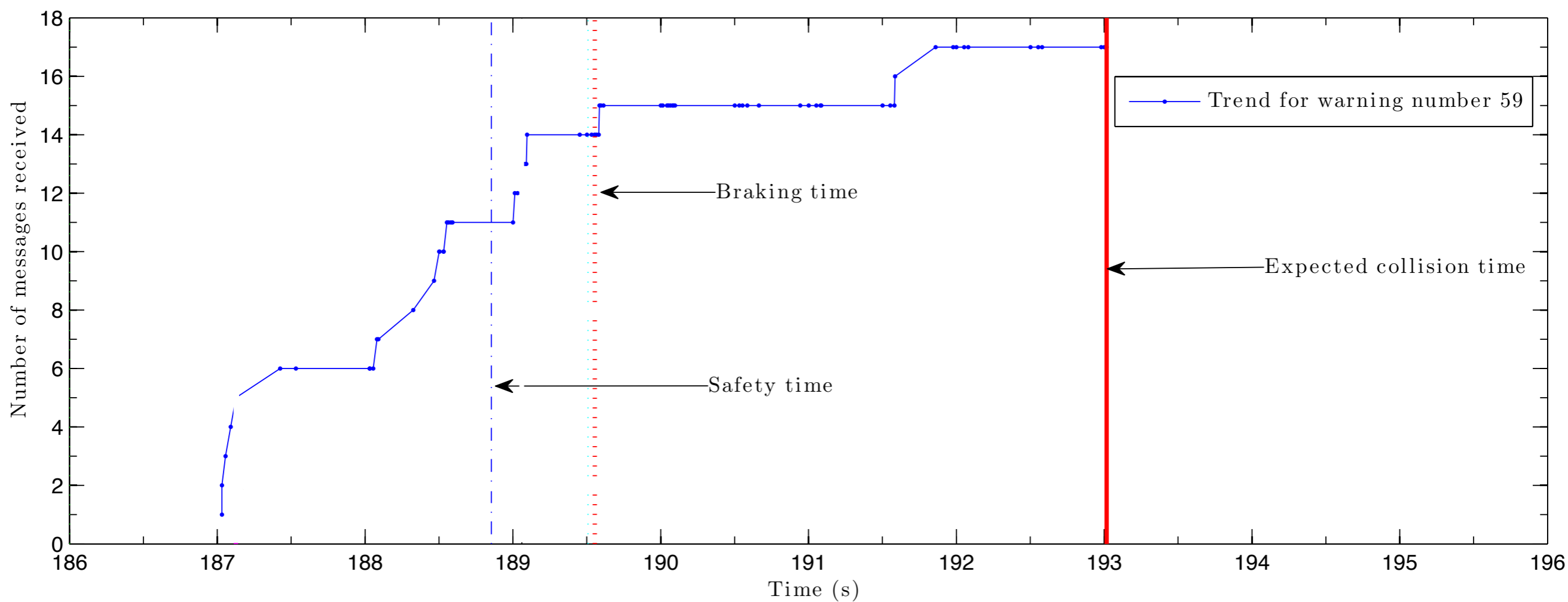
Résultats de simulation (2/2)



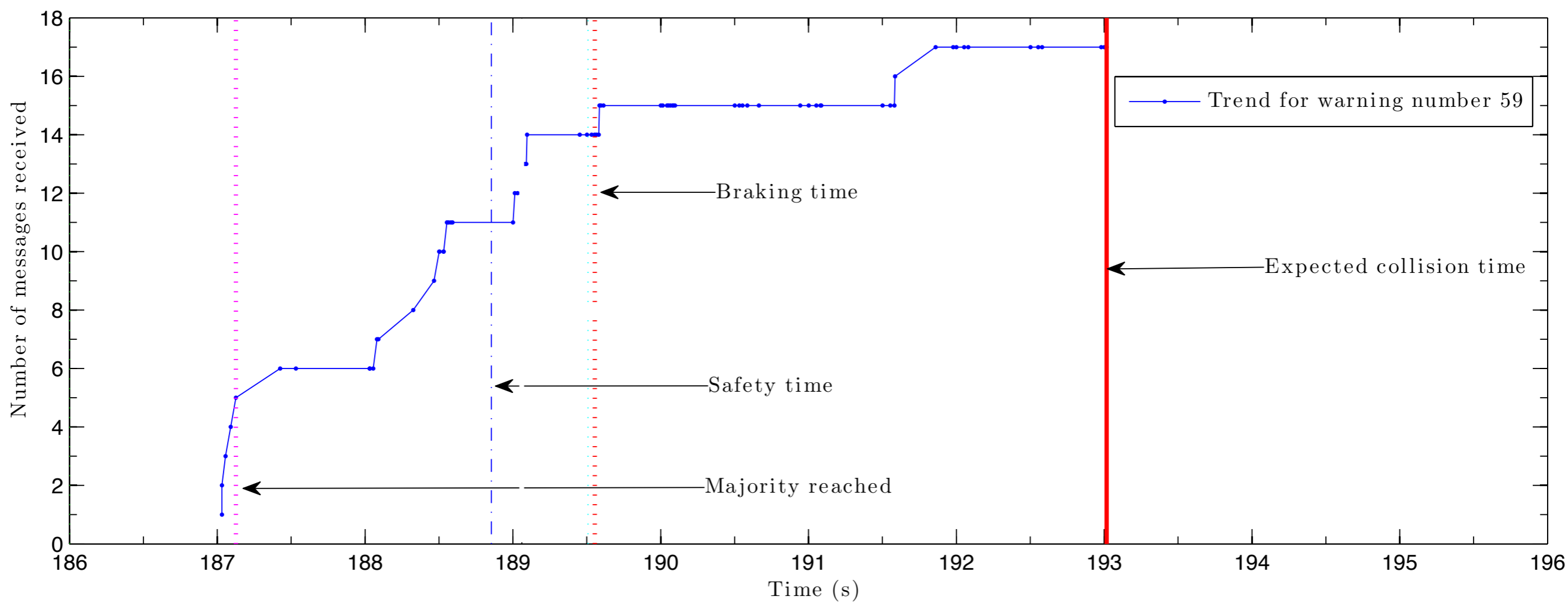
Résultats de simulation (2/2)



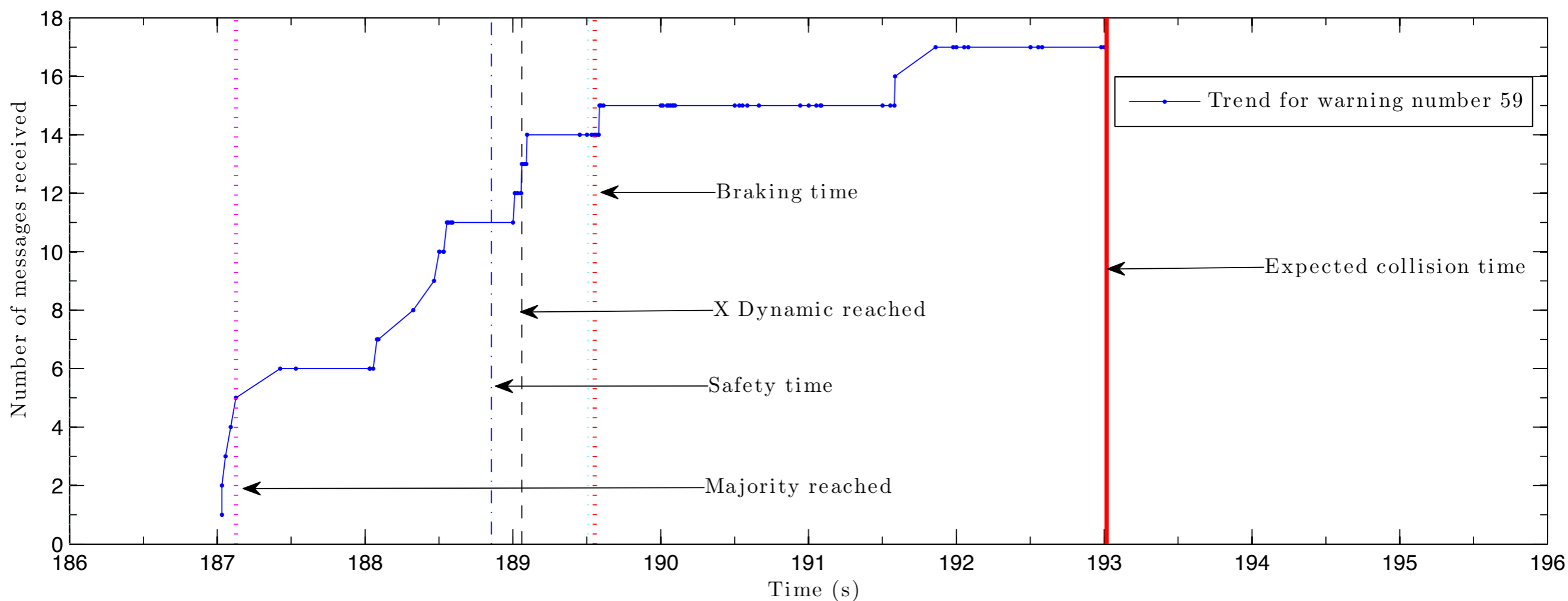
Résultats de simulation (2/2)



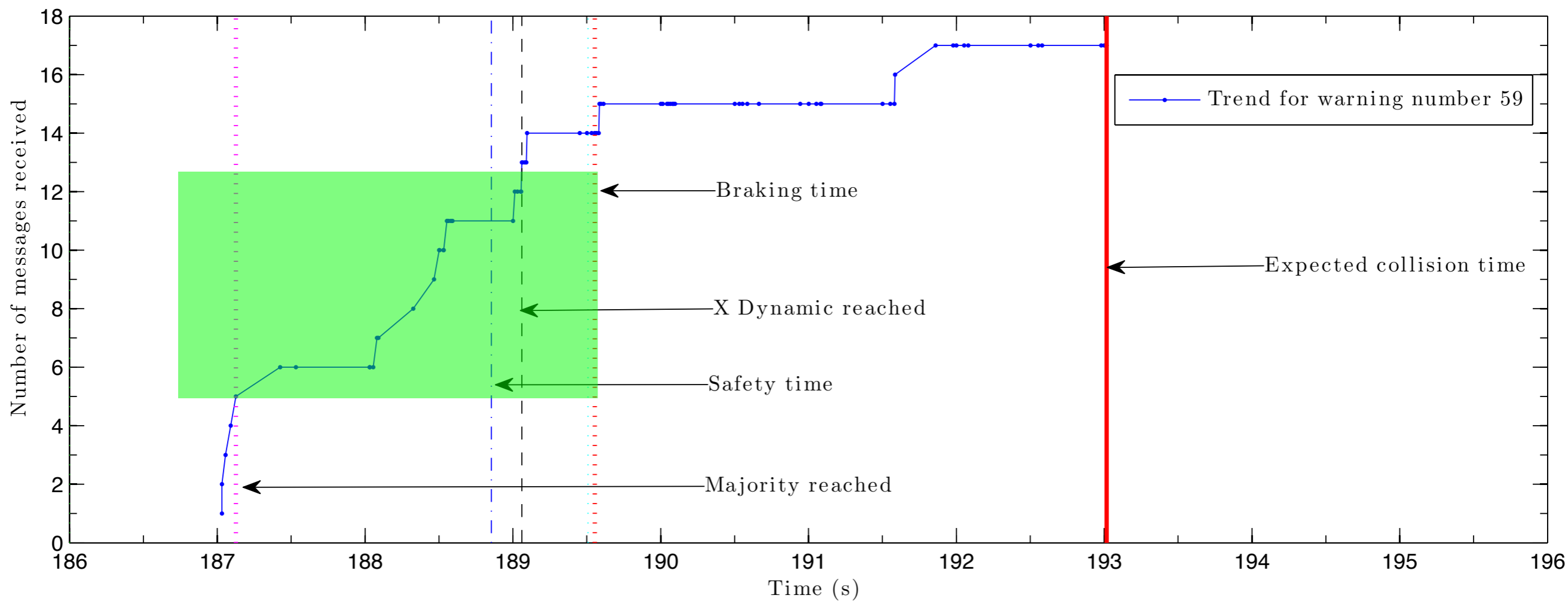
Résultats de simulation (2/2)



Résultats de simulation (2/2)



Résultats de simulation (2/2)



Avantages

- ✦ Flexibilité
- ✦ Sensibilité au contexte (vitesse, position)
- ✦ Limitation du surcoût

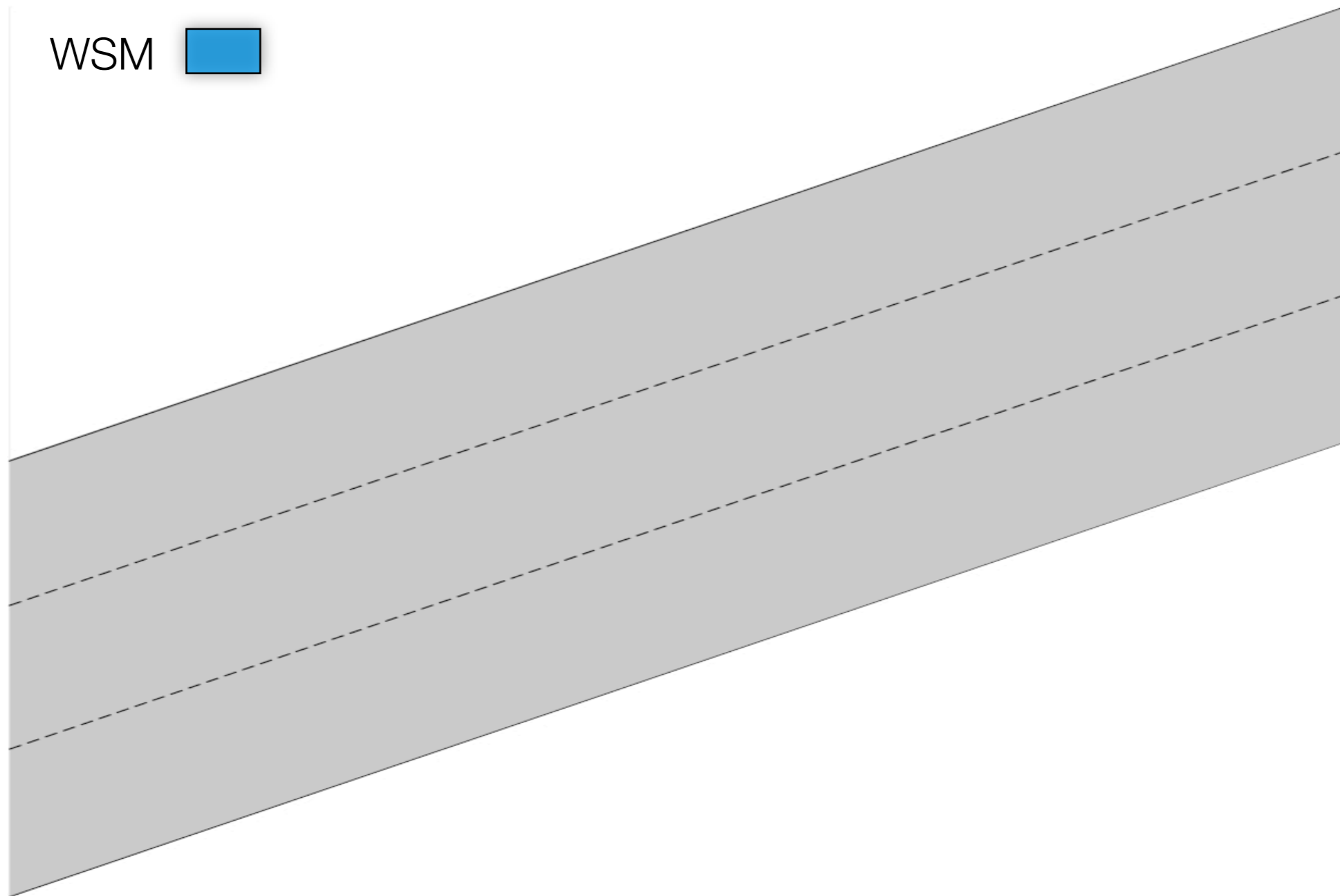




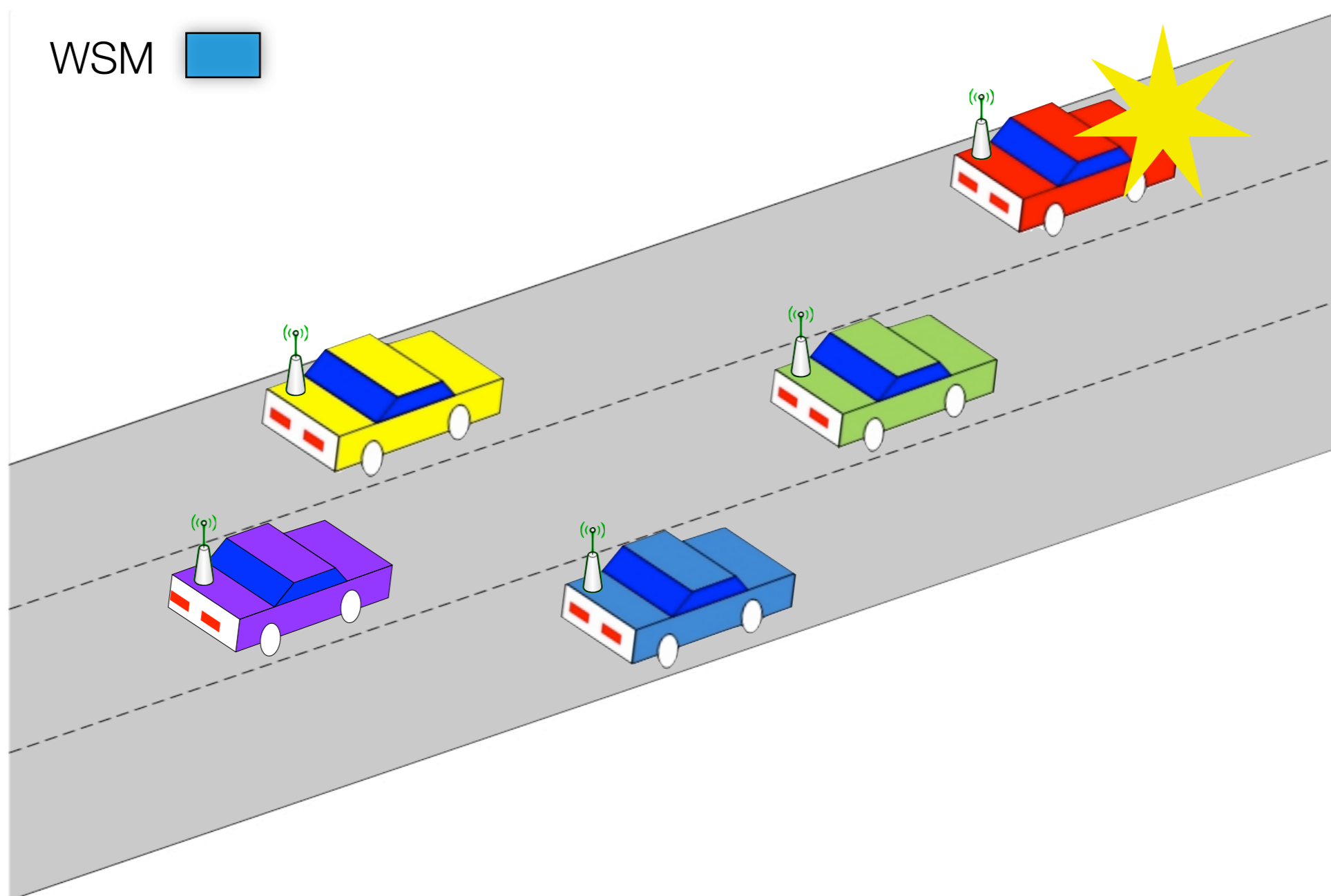
Authentication + Consensus



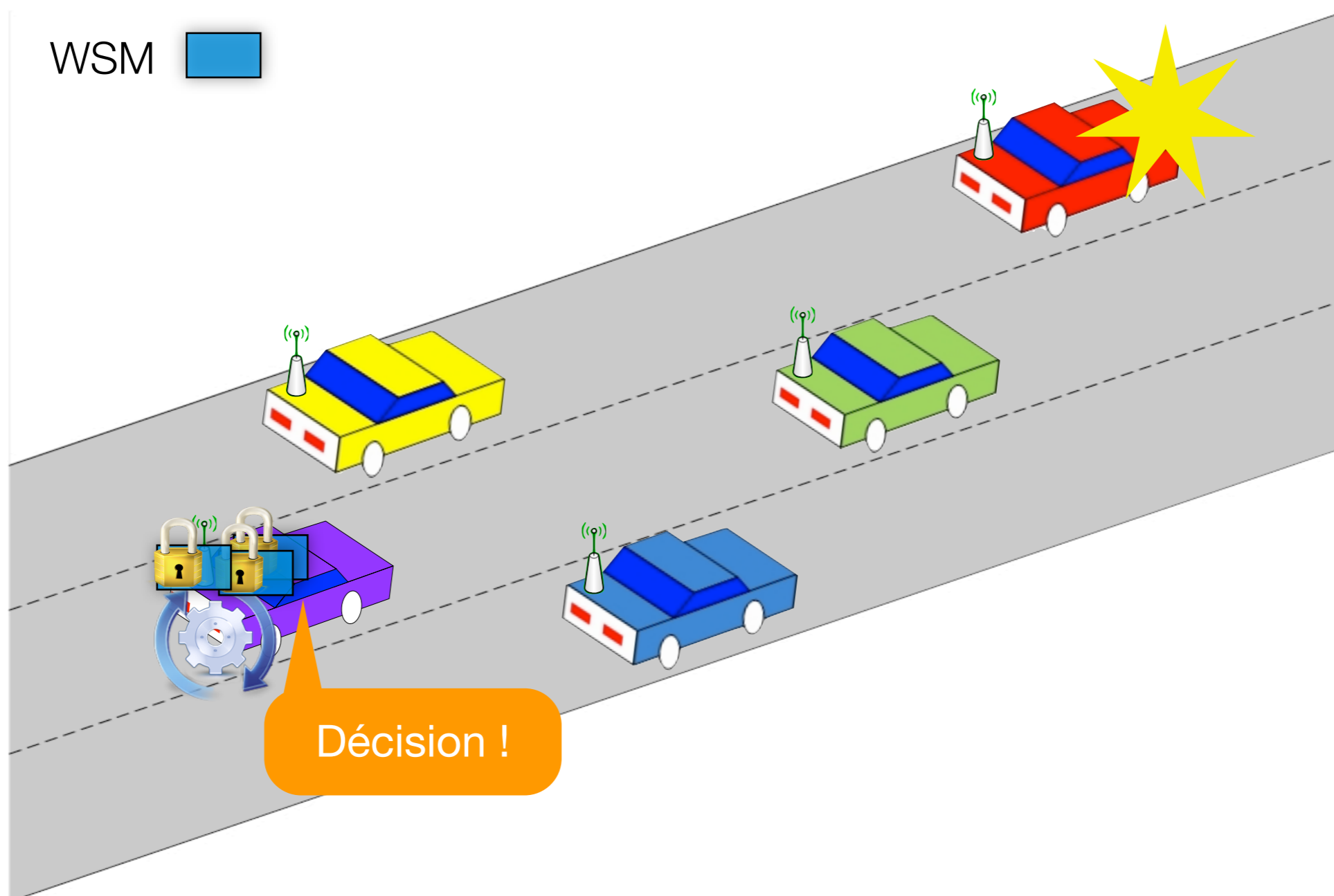
Authentication + Consensus



Authentication + Consensus



Authentication + Consensus



Authentication + Consensus

$$D_{\text{sécurité}} = D_{\text{authentication}} + D_{\text{consensus}} + D_{\text{disponibilité}} + \dots$$



Authentication + Consensus

$$D_{\text{sécurité}} = D_{\text{authentication}} + D_{\text{consensus}} + D_{\text{disponibilité}} + \dots$$

$$D_{\text{Sécurité}} = X_i \times$$



Authentication + Consensus

$$D_{\text{sécurité}} = D_{\text{authentication}} + D_{\text{consensus}} + D_{\text{disponibilité}} + \dots$$

$$D_{\text{Sécurité}} = X_i \times (D_{\text{authentication}}$$



Authentication + Consensus

$$D_{\text{sécurité}} = D_{\text{authentication}} + D_{\text{consensus}} + D_{\text{disponibilité}} + \dots$$

$$D_{\text{Sécurité}} = X_i \times (D_{\text{authentication}} + D_{\text{filter}} + D_{\text{classifier}}) + D_{\text{decision_maker}} + \dots$$



Authentication + Consensus

$$D_{\text{sécurité}} = D_{\text{authentication}} + D_{\text{consensus}} + D_{\text{disponibilité}} + \dots$$

$$D_{\text{Sécurité}} = \sum_{i=1}^{N_E} X_i \times (D_{\text{authentication}} + D_{\text{filter}} + D_{\text{classifier}}) + D_{\text{decision_maker}} + \dots$$



Conclusion

Problématique

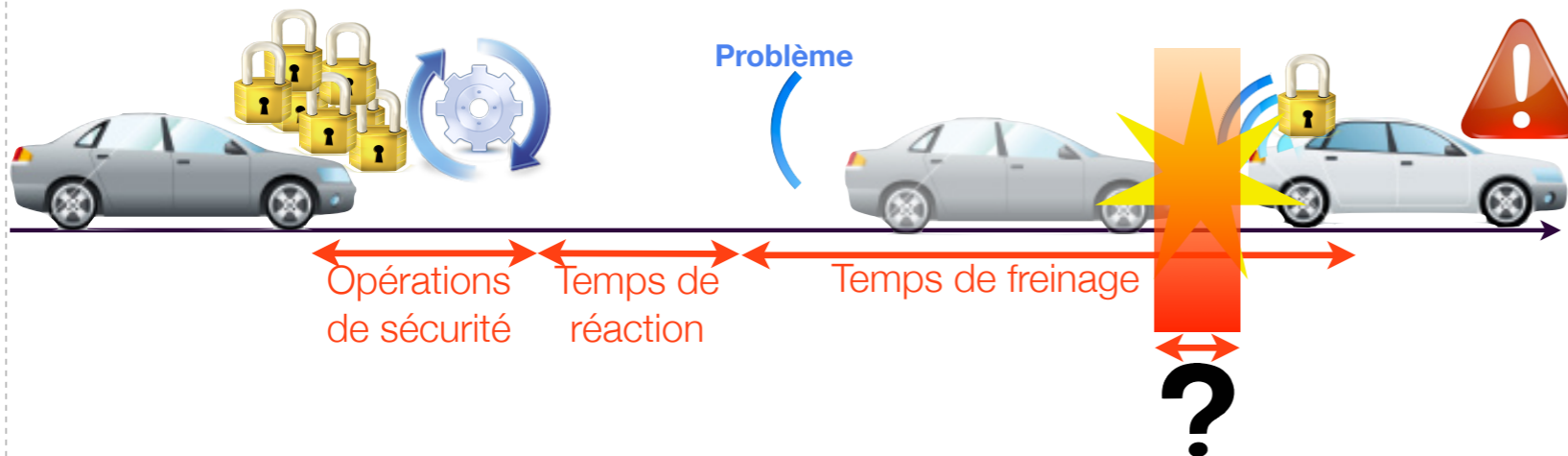


Problème



Conclusion

Problématique



Conclusion

- ❏ Problématique
- ❏ Estimation du surcoût de l'authentification
- ❏ Estimation du surcoût du consensus
 - ❏ Méthode de décision dynamique
 - ❏ Définition des paramètres
- ❏ Combinaison des 2 services



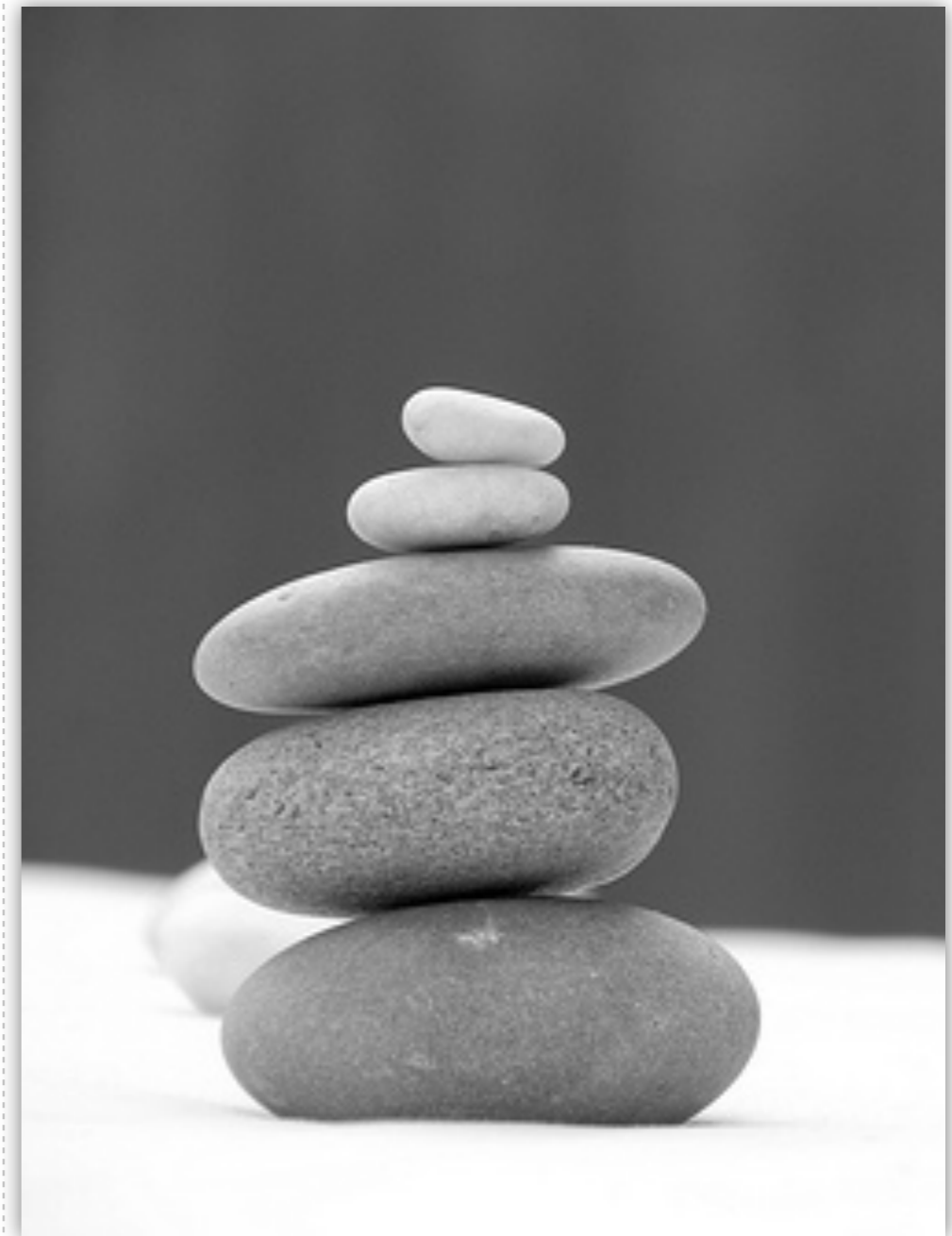
Perspectives

🔸 À court et moyen terme

- 🔸 Surcoût de l'authentification : Certificat
- 🔸 Optimisation de la gestion des certificats
- 🔸 Consensus basé sur le délai de transfert
- 🔸 Méta-heuristiques pour améliorer les décisions

🔸 À long terme

- 🔸 Modèle global du surcoût de la sécurité (respect de la vie privée, non-répudiation,...)





Merci de votre attention





Merci de votre attention

13 Juillet 2011

